



Mesures de bruit vis-à-vis d'une infrastructure de transport terrestre

Rapport N° 21084714-1-1-1

Villars, le 12 mars 2024

**APRR
DIRECTION INFRASTRUCTURE PATRIMOINE
ENVIRONNEMENT
ZAC DE VALENTIN
25048 BESANÇON CEDEX**

A l'attention de M. François FARGES

**BUREAU VERITAS EXPLOITATION
Service Acoustique / Vibrations / Drone / Eclairage
Racing Park, 4 chemin du tronchon,
69410 Champagne au Mont d'Or**

Affaire : Autoroute A36
Commune de Chatenois (39)

Période de mesures : du 17/01 6h au 15/02/2024 6h

Opérateur : Sébastien SABY ☎ : 06 30 55 45 72

Rédigé par : Sébastien SABY

La reproduction de ce rapport n'est autorisée que sous sa forme intégrale

Ce rapport contient **50 pages**



Sommaire

1. Objet de l'intervention et présentation des résultats.....	3
2. Réglementation	6
2.1. Textes de référence.....	6
2.2. Prescriptions réglementaires	7
3. Description des mesures.....	7
3.1. Matériel de mesure	7
3.2. Méthode de mesure.....	8
3.3. Conditions météorologiques	8
3.4. Caractéristiques de la voie de circulation considérée	9
4. Résultats des mesures	9
4.1. Incidents éventuels ou circonstances particulières	9
4.2. Validation des résultats.....	9
4.3. Conditions de trafics lors des mesures	10
4.4. Détails des mesures	10
4.5. Mesures recalées sur le TMJA 2018	10
4.6. Synthèse des résultats de mesure.....	11
5. Conclusion.....	12
Annexe A – Résultats des mesures	13
Annexe B – Trafics lors des mesures.....	18
Annexe C – Validation des résultats	20
Annexe D – Relevés météorologiques	37
Annexe E – Liste du matériel utilisé	49



1. Objet de l'intervention et présentation des résultats

A la demande d'APRR, Bureau Veritas Exploitation a procédé à des mesures de bruit à proximité de l'autoroute A36 sur la commune de Chatenois (39) dans le sens 1.

Le but de ces mesures est de vérifier les niveaux de bruit existants en façade de deux logements d'habitation.

Ces mesures sont réalisées sur environ 1 mois afin de prendre en compte différentes occurrences météorologique et plusieurs conditions de trafic.

Les fiches récapitulatives pages suivantes présentent :

- ◆ les informations sur l'emplacement du point de mesure et la période d'analyse
- ◆ une vue aérienne avec l'emplacement du point de mesure
- ◆ des photographies du point de mesure
- ◆ les niveaux sonores Lden, LAeq Jour et LAeq Nuit mesurés sur l'ensemble de la période de mesure
- ◆ les niveaux sonores Lden, LAeq Jour et LAeq Nuit mesurés et recalés avec le TMJA2018
- ◆ les trafics horaires sur l'ensemble des mesures sur les périodes 6h-18h, 18h-22h et 22h-6h
- ◆ les trafics horaires de référence (TMJA2018) sur les périodes 6h-18h, 18h-22h et 22h-6h
- ◆ les niveaux sonores Lden, LAeq Jour et LAeq Nuit issus de la modélisation acoustique et calculés à l'emplacement du point de mesure.

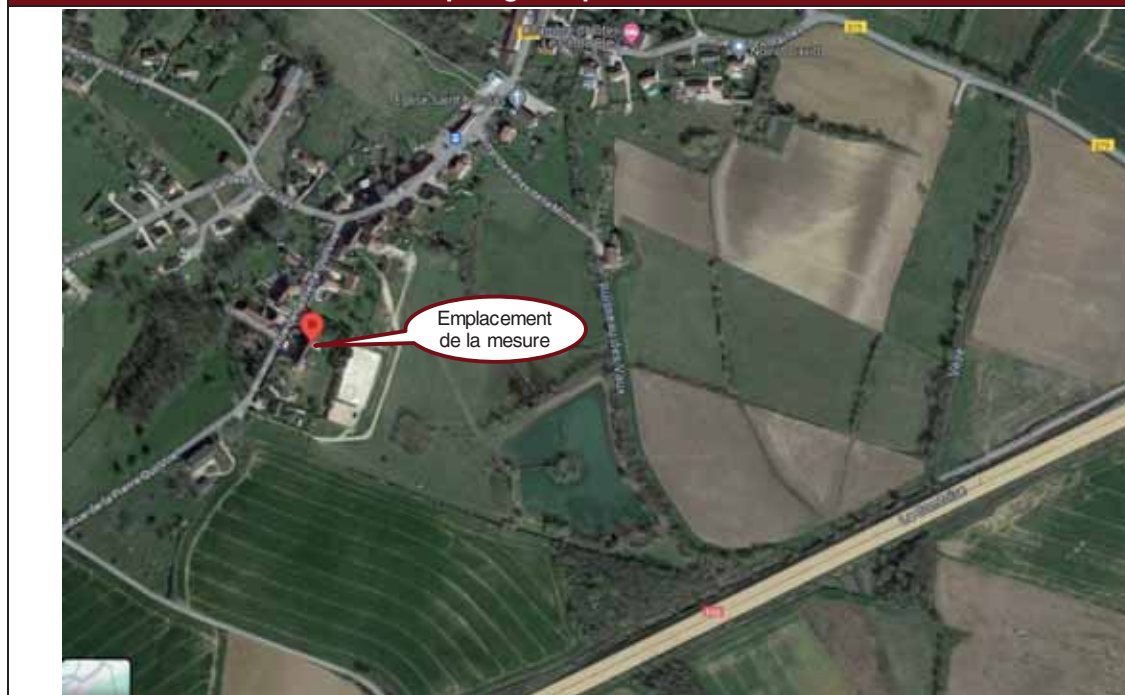


Point N°1

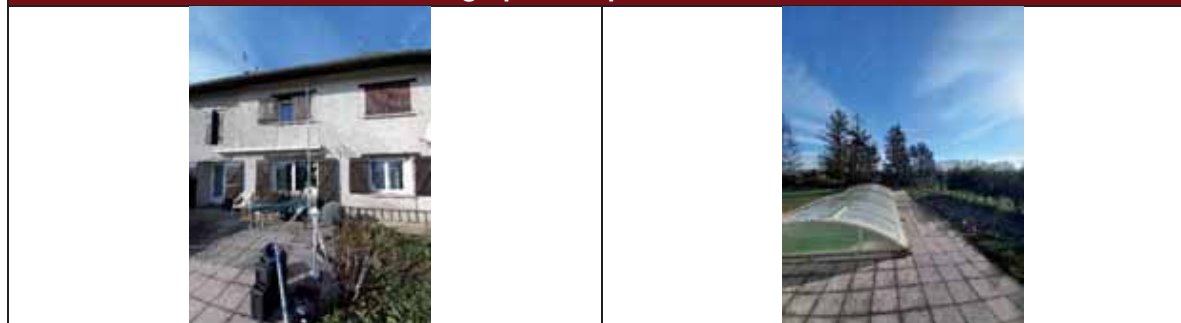
Autoroute A36	
Coordonnées GPS du point de mesures	47°08'37.9"N 5°32'57.6"E
du 17/01 6h au 15/02/2024 6h	

Nom :	Blanchet Philippe
Adresse :	9 rue de la pierre qui vire 39700 Chatenois
Téléphone :	06.82.28.99.85

Repérage du point de mesure



Photographie du point de mesure



Ensemble de la période de mesure	JDM (1) en dB(A)	TMJA (2) en dB(A)	Trafic horaire Ensemble mesures			Trafic horaire à terme - Période de référence 2018				
			Périodes	VL	PL	QEQ	Périodes	VL	PL	QEQ
LAeq Nuit (22h-6h)	51.3	51.5	6h - 18h	969	440	2731	6h - 18h	1328	381	2853
LAeq Jour (6h-22h)	53.4	53.4	18h - 22h	720	266	1784	18h - 22h	757	200	1555
Lden	55.2	55.3	22h - 6h	125	214	981	22h - 6h	281	186	1024

(1) : Jour Des Mesures = Niveau sonore mesuré pendant l'ensemble de la période de mesure

(2) : Niveau sonore mesuré recalé avec le TMJA 2018



Point N°2

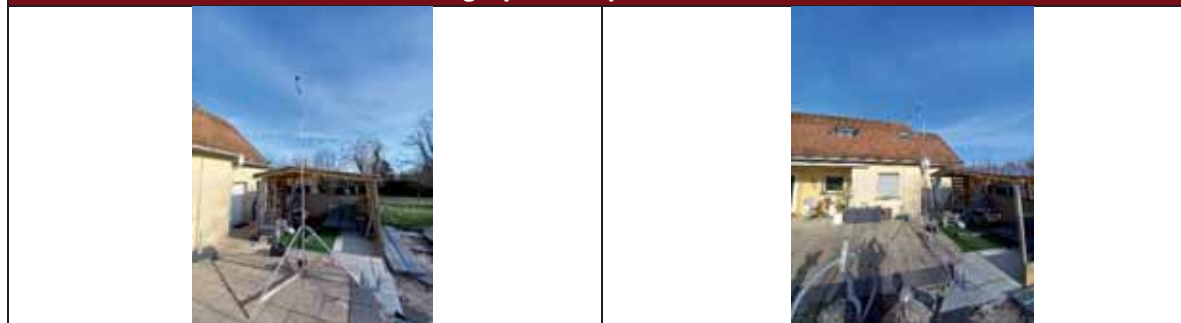
Autoroute A36	
Coordonnées GPS du point de mesures	47°08'47.7"N
	5°33'19.8"E
du 17/01 6h au 15/02/2024 6h	

Nom :	Stefanutti David
Adresse :	1 rue des fontaines 39700 Chatenois
Téléphone :	07.50.49.11.27

Repérage du point de mesure



Photographie du point de mesure



Ensemble de la période de mesure	JDM (1) en dB(A)	TMJA (2) en dB(A)	Trafic horaire Ensemble mesures			Trafic horaire à terme - Période de référence 2018				
			Périodes	VL	PL	QEQ	Périodes	VL	PL	QEQ
LAeq Nuit (22h-6h)	51.1	51.3	6h - 18h	969	440	2731	6h - 18h	1328	381	2853
LAeq Jour (6h-22h)	53.3	53.3	18h - 22h	720	266	1784	18h - 22h	757	200	1555
Lden	55.1	55.1	22h - 6h	125	214	981	22h - 6h	281	186	1024

(1) : Jour Des Mesures = Niveau sonore mesuré pendant l'ensemble de la période de mesure

(2) : Niveau sonore mesuré recalé avec le TMJA 2018



2. Réglementation

2.1. Textes de référence

Loi n°92-1444 du 31 décembre 1992 relative à la lutte contre le bruit.

Décret n°95-22 du 9 janvier 1995 relatif à la limitation du bruit des aménagements et infrastructures de transports terrestres.

Arrêté du 5 mai 1995 relatif au bruit des infrastructures routières.

Circulaire du 12 décembre 1997 relative à la prise en compte du bruit dans la construction de routes nouvelles ou l'aménagement de routes existantes du réseau national.

Directive 2002/49/CE du parlement européen et du conseil du 25 juin 2002 relative à l'évaluation et à la gestion du bruit dans l'environnement.

Circulaire du 25 mai 2004 relative au plan national d'actions contre le bruit du 6 octobre 2003.

Arrêté du 4 avril 2006 relatif à l'établissement des cartes de bruit et des plans de prévention du bruit dans l'environnement.

Norme 31 085 de novembre 2002 : « Caractérisation et mesure du bruit dû au trafic routier ».

Norme 31 120 de décembre 2018 : « Caractérisation et mesurage des bruits de l'environnement - Influence du sol et des conditions météorologiques ».



2.2. Prescriptions réglementaires

Les Points Noirs Bruit sont définis comme l'ensemble des bâtiments antérieurs à l'infrastructure concernée (ou les bâtiments construits avant 1978) exposés en façade à plus de :

- ◆ Période jour : LAeq 6h – 22h 70 dB(A)
- ◆ Période nuit : LAeq 22h – 6h 65 dB(A)
- ◆ Période jour-soir-nuit : Lden 68 dB(A)

L'objectif est de ramener ces valeurs en façade des bâtiments à moins de 65 dB(A) jour et 60 dB(A) nuit, par un traitement du bruit à la source (protection en bordure de voirie) ou à son équivalent à l'intérieur du logement par un renforcement de l'isolement des façades.

Actuellement, il n'y a pas d'objectif sur le Lden. Les PNB Lden sont donc traités de la même manière que les PNB LAeq, c'est-à-dire que l'on ramène les niveaux sonores en façade à moins de 65 dB(A) jour et 60 dB(A) nuit.

3. Description des mesures

3.1. Matériel de mesure

La liste du matériel utilisé est jointe en Annexe E.

Les sonomètres ainsi que les sources étalons font l'objet de contrôles périodiques au laboratoire national d'essais conformément aux dispositions de l'arrêté du 30 mai 2008 modifiant celui du 27/10/1989, relatif à la construction et au contrôle des sonomètres.

Notre matériel fait également l'objet d'une autovérification, conformément aux dispositions décrites dans la norme NF S 31-010 de décembre 1996.

Un calibrage des appareils a été effectué avant et après les mesures. Aucune dérive n'a été constatée.



3.2. Méthode de mesure

Les relevés ont été effectués conformément à la norme NFS 31 085 "Caractérisation et mesurage du bruit dû au trafic routier", de novembre 2002.

La période d'analyse et l'emplacement des points de mesure sont précisés sur les fiches récapitulatives présentées en pages 4 et 5.

Les points de mesures ont été positionnés sur la façade la plus exposée par rapport à l'autoroute et au niveau de l'étage le plus élevé.

3.3. Conditions météorologiques

Les conditions météorologiques ont été mesurées pendant l'ensemble des mesures sur la commune de Chatenois, à l'emplacement suivant :



Les données observées ainsi que l'estimation qualitative de l'influence des conditions météorologiques heure par heure et pour chaque point de mesure sont jointes en Annexe D. Les coordonnées, le repérage et des photographies de la station météo sont également précisés.



3.4. Caractéristiques de la voie de circulation considérée

Autoroute A36 à 2x2 voies.

Trafic fluide.

Vitesse limitée à 130km/h.

4. Résultats des mesures

4.1. Incidents éventuels ou circonstances particulières

Quelques périodes de pluie ont eu lieu pendant les mesures. Les périodes de pluies importantes ont été supprimées de l'analyse afin de ne pas prendre en compte le bruit de la pluie. Certaines périodes n'ont pas été supprimées de l'analyse étant donné que nous n'avons pas constaté de perturbation importante de l'environnement sonore. Le niveau sonore tend à être plus élevé pendant les périodes de pluie ou lorsque la chaussée est mouillée. Le fait de ne pas supprimer les périodes de pluie tend à augmenter le niveau sonore.

Tous les bruits ne provenant pas de l'autoroute ont été supprimés des résultats (activité des riverains, desserte locale, chant des grillons...).

4.2. Validation des résultats

La vérification de la répartition gaussienne du bruit du au trafic routier et la cohérence entre le niveau LAeq et le trafic pour chaque intervalle de base, le jour des mesures, permettent de valider les mesures aux points fixes (voir Annexe E).

Tests statistiques « Répartition gaussienne » du trafic du au bruit routier

Les résultats du test statistique sont corrects, ils permettent de valider les mesures.

Cohérence entre LAeq et trafic pour chaque intervalle de base

La cohérence entre le LAeq et le trafic est correcte. Les mesures sont validées.

Quelques valeurs sont supérieures à 3 dB(A). Cela signifie que le niveau mesuré est supérieur au niveau théorique qui est fonction du trafic.

Ces dépassements ont lieu lorsque les conditions météorologiques liées à la propagation sonore sont très favorables, notamment lors du lever ou du coucher de soleil.



4.3. Conditions de trafics lors des mesures

Les comptages VL et PL réalisés pendant les mesures nous ont été communiqués par la société APRR/AREA.

Les comptages de chaque heure de mesure sont joints en Annexe B.

Les trafics horaires moyens sur l'ensemble des mesures, calculés sur les périodes 6h-18h, 18h-22h et 22h-6h sont indiqués ci-dessous :

Trafic horaire Ensemble mesures		
Périodes	VL	PL
6h - 18h	969	440
18h - 22h	720	266
22h - 6h	125	214

4.4. Détails des mesures

Pour chacun des points, une fiche jointe en Annexe A présente pour chaque jour de mesure :

- ◆ la courbe d'évolution temporelle du signal
- ◆ le niveau sonore LAeq pour les périodes Day, Evening, Nuit et Jour.

4.5. Mesures recalées sur le TMJA 2018

Les niveaux sonores mesurés ont été recalés avec le trafic 2018 utilisé dans le cadre de la cartographie européenne.

Les TMJA 2018 utilisés ainsi que l'ensemble des niveaux sonores recalés sont indiqués sur les fiches pages 4 et 5 et sur les fiches présentant l'ensemble des résultats en Annexe A.

Les trafics horaires moyens, calculés sur les périodes 6h-18h, 18h-22h et 22h-6h sont indiqués ci-après :

Trafic horaire à terme Période de référence 2018		
Périodes	VL	PL
6h - 18h	1328	381
18h - 22h	757	200
22h - 6h	281	186



4.6. Synthèse des résultats de mesure

Le tableau suivant reprend pour les 2 points de mesures et pour chaque période réglementaire, les niveaux sonores minimaux et maximaux ainsi que les niveaux moyens mesurés sur l'ensemble de la période. Les niveaux sonores présentés sont les niveaux recalés avec le TMJA 2018 :

Point de mesures	Point N°1			Point N°2		
	Période la plus calme	Ensemble de la période	Période la plus bruyante	Période la plus calme	Ensemble de la période	Période la plus bruyante
LAeq Nuit (22h-6h)	46.9	51.5	55.2	46.9	51.3	55.2
LAeq Jour (6h-22h)	50.8	53.4	55.9	50.8	53.3	55.9
Lden	51.7	55.3	58.8	51.7	55.1	58.8



5. Conclusion

A la demande d'APRR, Bureau Veritas Exploitation a procédé à des mesures de bruit en façade de deux habitations situées à proximité de l'autoroute A36 sur la commune de Chatenois (39).

Les mesures ont été réalisées pendant plus d'un mois afin de prendre en compte différentes occurrences météorologiques.

Les niveaux sonores mesurés sur l'ensemble de la période de mesures et recalés avec le TMJA 2018 sont indiqués ci-dessous :

Niveaux sonores - LAeq en dB(A)		
Périodes	Ensemble de la période	
Point de mesures	Point N°1	Point N°2
LAeq Nuit (22h-6h)	51.5	51.3
LAeq Jour (6h-22h)	53.4	53.3
Lden	55.3	55.1

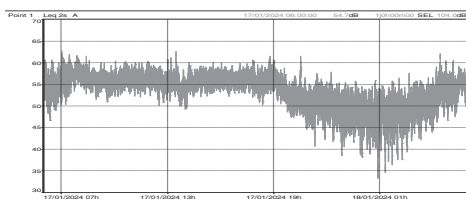
Les niveaux sonores mesurés sont inférieurs aux seuils de déclenchement du traitement des Point Noirs Bruit :

- **$L_{Aeq} \leq$ à 65 dB(A) en période NUIT ou**
- **$L_{Aeq} \leq$ à 70 dB(A) en période JOUR ou**
- **$L_{den} \leq$ à 68 dB(A).**

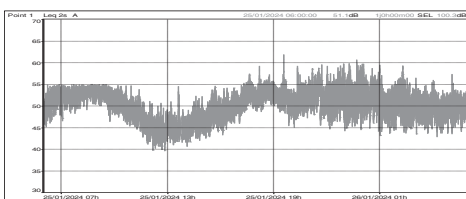


Annexe A – Résultats des mesures

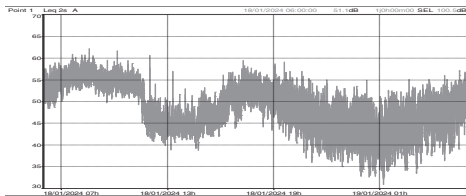




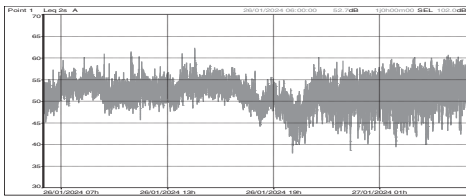
du 17/01 au 18/01	
Jour 1	Leq
LAeq Day (6h-18h)	56.2
LAeq Evening (18h-22h)	53.8
LAeq Nuit (22h-6h)	51.4
LAeq Jour (6h-22h)	55.7



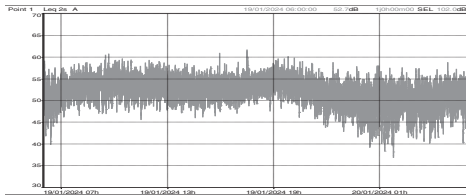
du 25/01 au 26/01	
Jour 9	Leq
LAeq Day (6h-18h)	50.7
LAeq Evening (18h-22h)	52.6
LAeq Nuit (22h-6h)	51.3
LAeq Jour (6h-22h)	51.2



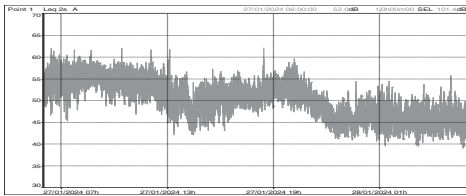
du 18/01 au 19/01	
Jour 2	Leq
LAeq Day (6h-18h)	52.9
LAeq Evening (18h-22h)	50.0
LAeq Nuit (22h-6h)	46.8
LAeq Jour (6h-22h)	52.3



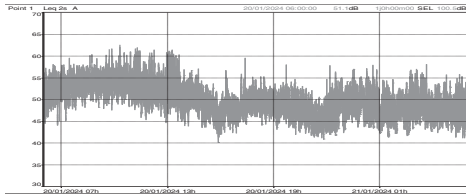
du 26/01 au 27/01	
Jour 10	Leq
LAeq Day (6h-18h)	53.2
LAeq Evening (18h-22h)	50.3
LAeq Nuit (22h-6h)	52.9
LAeq Jour (6h-22h)	52.6



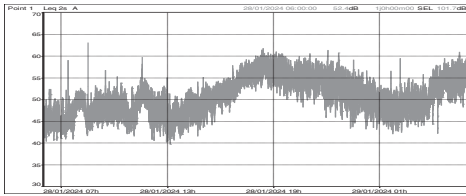
du 19/01 au 20/01	
Jour 3	Leq
LAeq Day (6h-18h)	53.4
LAeq Evening (18h-22h)	53.7
LAeq Nuit (22h-6h)	50.5
LAeq Jour (6h-22h)	53.5



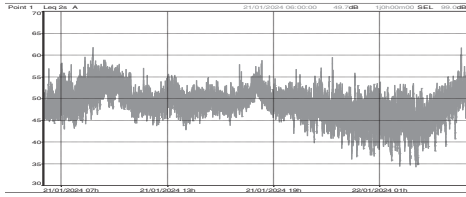
du 27/01 au 28/01	
Jour 11	Leq
LAeq Day (6h-18h)	53.7
LAeq Evening (18h-22h)	52.1
LAeq Nuit (22h-6h)	46.1
LAeq Jour (6h-22h)	53.4



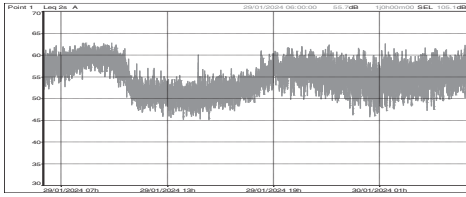
du 20/01 au 21/01	
Jour 4	Leq
LAeq Day (6h-18h)	52.7
LAeq Evening (18h-22h)	48.6
LAeq Nuit (22h-6h)	48.9
LAeq Jour (6h-22h)	52.0



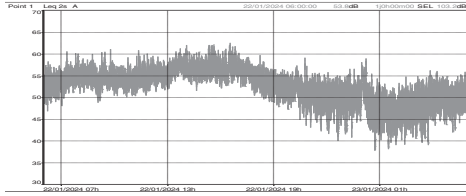
du 28/01 au 29/01	
Jour 12	Leq
LAeq Day (6h-18h)	50.0
LAeq Evening (18h-22h)	55.9
LAeq Nuit (22h-6h)	52.4
LAeq Jour (6h-22h)	52.4



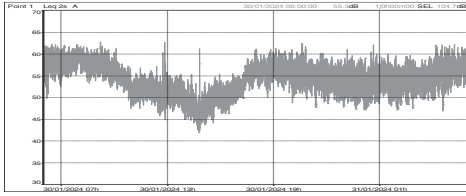
du 21/01 au 22/01	
Jour 5	Leq
LAeq Day (6h-18h)	50.6
LAeq Evening (18h-22h)	49.8
LAeq Nuit (22h-6h)	47.7
LAeq Jour (6h-22h)	50.4



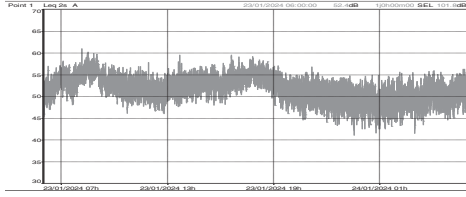
du 29/01 au 30/01	
Jour 13	Leq
LAeq Day (6h-18h)	55.8
LAeq Evening (18h-22h)	56.4
LAeq Nuit (22h-6h)	55.3
LAeq Jour (6h-22h)	56.0



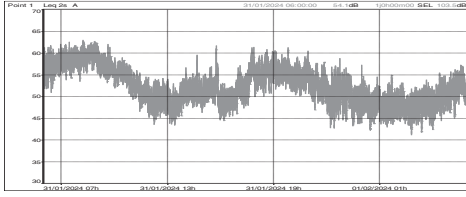
du 22/01 au 23/01	
Jour 6	Leq
LAeq Day (6h-18h)	55.6
LAeq Evening (18h-22h)	52.4
LAeq Nuit (22h-6h)	49.6
LAeq Jour (6h-22h)	55.0



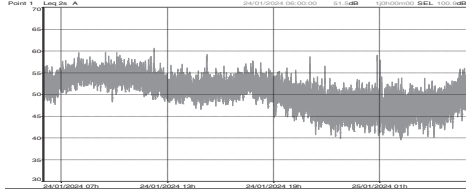
du 30/01 au 31/01	
Jour 14	Leq
LAeq Day (6h-18h)	55.8
LAeq Evening (18h-22h)	56.3
LAeq Nuit (22h-6h)	54.9
LAeq Jour (6h-22h)	55.9



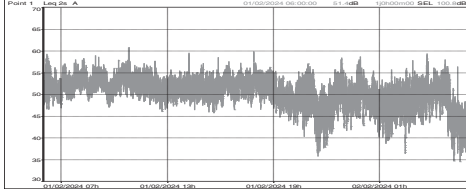
du 23/01 au 24/01	
Jour 7	Leq
LAeq Day (6h-18h)	53.5
LAeq Evening (18h-22h)	52.5
LAeq Nuit (22h-6h)	50.0
LAeq Jour (6h-22h)	53.3



du 31/01 au 01/02	
Jour 15	Leq
LAeq Day (6h-18h)	57.8
LAeq Evening (18h-22h)	55.1
LAeq Nuit (22h-6h)	50.0
LAeq Jour (6h-22h)	57.2

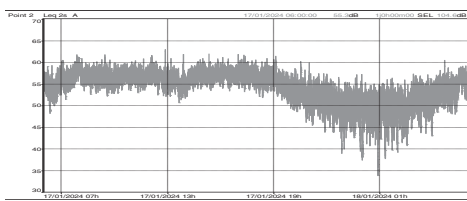


du 24/01 au 25/01	
Jour 8	Leq
LAeq Day (6h-18h)	53.2
LAeq Evening (18h-22h)	50.2
LAeq Nuit (22h-6h)	47.7
LAeq Jour (6h-22h)	52.6



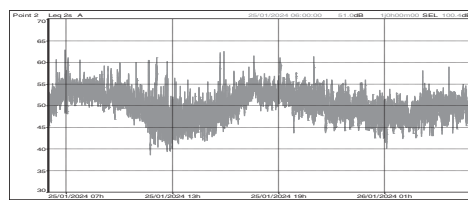
du 01/02 au 02/02	
Jour 16	Leq
LAeq Day (6h-18h)	52.5
LAeq Evening (18h-22h)	50.6
LAeq Nuit (22h-6h)	49.6
LAeq Jour (6h-22h)	52.1





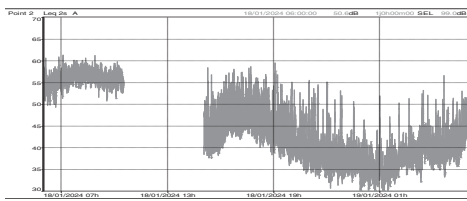
du 17/01 au 18/01

Jour 1	Leq
LAeq Day (6h-18h)	56.2
LAeq Evening (18h-22h)	53.8
LAeq Nuit (22h-6h)	51.4
LAeq Jour (6h-22h)	55.7



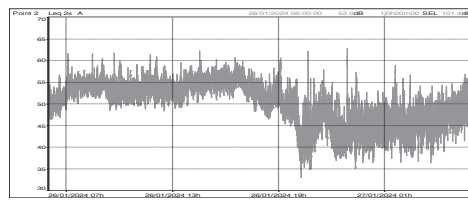
du 25/01 au 26/01

Jour 9	Leq
LAeq Day (6h-18h)	50.2
LAeq Evening (18h-22h)	52.6
LAeq Nuit (22h-6h)	51.3
LAeq Jour (6h-22h)	51.0



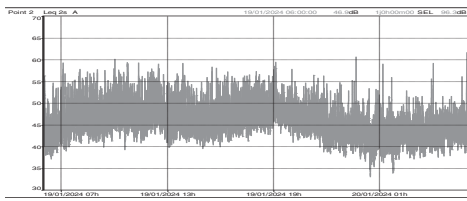
du 18/01 au 19/01

Jour 2	Leq
LAeq Day (6h-18h)	52.9
LAeq Evening (18h-22h)	50.0
LAeq Nuit (22h-6h)	46.8
LAeq Jour (6h-22h)	52.3



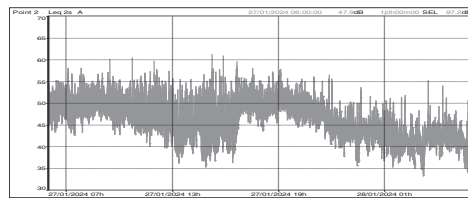
du 26/01 au 27/01

Jour 10	Leq
LAeq Day (6h-18h)	53.1
LAeq Evening (18h-22h)	50.3
LAeq Nuit (22h-6h)	52.9
LAeq Jour (6h-22h)	52.6



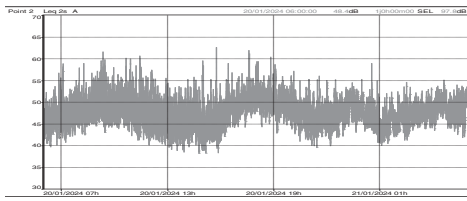
du 19/01 au 20/01

Jour 3	Leq
LAeq Day (6h-18h)	53.3
LAeq Evening (18h-22h)	53.7
LAeq Nuit (22h-6h)	50.5
LAeq Jour (6h-22h)	53.4



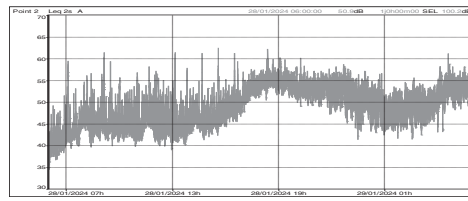
du 27/01 au 28/01

Jour 11	Leq
LAeq Day (6h-18h)	53.7
LAeq Evening (18h-22h)	52.0
LAeq Nuit (22h-6h)	46.1
LAeq Jour (6h-22h)	53.4



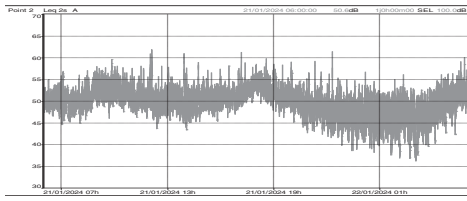
du 20/01 au 21/01

Jour 4	Leq
LAeq Day (6h-18h)	52.6
LAeq Evening (18h-22h)	48.6
LAeq Nuit (22h-6h)	48.9
LAeq Jour (6h-22h)	51.9



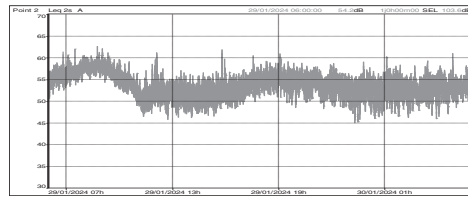
du 28/01 au 29/01

Jour 12	Leq
LAeq Day (6h-18h)	50.0
LAeq Evening (18h-22h)	55.9
LAeq Nuit (22h-6h)	52.4
LAeq Jour (6h-22h)	52.4



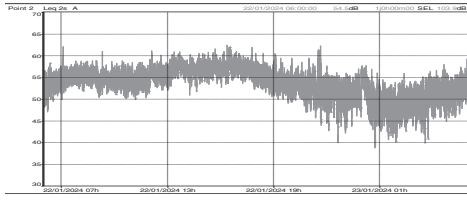
du 21/01 au 22/01

Jour 5	Leq
LAeq Day (6h-18h)	50.6
LAeq Evening (18h-22h)	49.8
LAeq Nuit (22h-6h)	47.7
LAeq Jour (6h-22h)	50.4



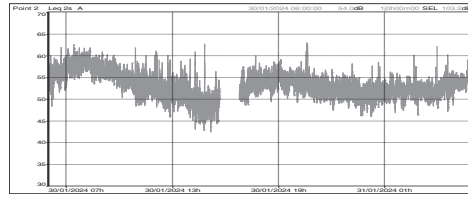
du 29/01 au 30/01

Jour 13	Leq
LAeq Day (6h-18h)	55.8
LAeq Evening (18h-22h)	56.4
LAeq Nuit (22h-6h)	55.3
LAeq Jour (6h-22h)	56.0



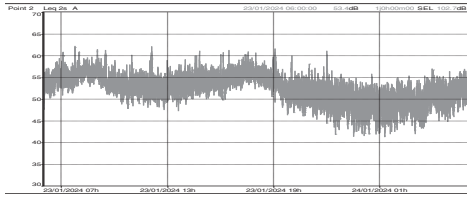
du 22/01 au 23/01

Jour 6	Leq
LAeq Day (6h-18h)	55.6
LAeq Evening (18h-22h)	52.4
LAeq Nuit (22h-6h)	49.6
LAeq Jour (6h-22h)	55.0



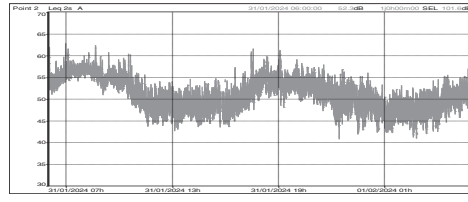
du 30/01 au 31/01

Jour 14	Leq
LAeq Day (6h-18h)	55.2
LAeq Evening (18h-22h)	56.2
LAeq Nuit (22h-6h)	54.9
LAeq Jour (6h-22h)	55.5



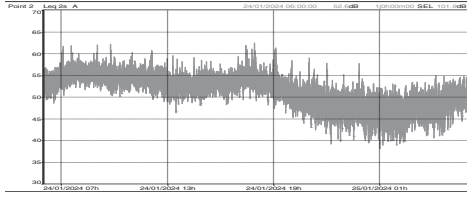
du 23/01 au 24/01

Jour 7	Leq
LAeq Day (6h-18h)	53.5
LAeq Evening (18h-22h)	52.5
LAeq Nuit (22h-6h)	50.0
LAeq Jour (6h-22h)	53.3



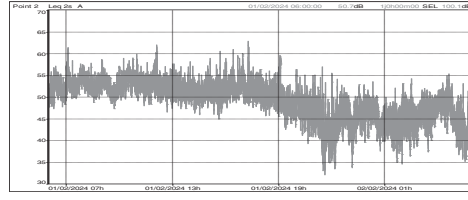
du 31/01 au 01/02

Jour 15	Leq
LAeq Day (6h-18h)	55.3
LAeq Evening (18h-22h)	55.1
LAeq Nuit (22h-6h)	50.0
LAeq Jour (6h-22h)	55.3



du 24/01 au 25/01

Jour 8	Leq
LAeq Day (6h-18h)	53.2
LAeq Evening (18h-22h)	50.2
LAeq Nuit (22h-6h)	47.7
LAeq Jour (6h-22h)	52.6



du 01/02 au 02/02

Jour 16	Leq
LAeq Day (6h-18h)	52.5
LAeq Evening (18h-22h)	50.6
LAeq Nuit (22h-6h)	49.6
LAeq Jour (6h-22h)	52.1



Niveau sonore en dB(A)			Trafic horaire Jour des mesures - 2 sens			
Jour 1	JDM(1)	TMJA(2)	Période	VL	PL	QEQ
LAeq Nuit (22h-6h)	51.4	51.1	6h - 18h	854	634	3389
LAeq Jour (6h-22h)	55.7	54.9	18h - 22h	568	384	2102
Lden	56.0	55.5	22h - 6h	90	250	1091
Jour 2			Trafic horaire Jour des mesures - 2 sens			
LAeq Nuit (22h-6h)	46.8	46.9	6h - 18h	1019	560	3257
LAeq Jour (6h-22h)	52.3	51.7	18h - 22h	659	299	1854
Lden	51.9	51.7	22h - 6h	109	223	1002
Jour 3			Trafic horaire Jour des mesures - 2 sens			
LAeq Nuit (22h-6h)	50.5	50.2	6h - 18h	1158	478	3070
LAeq Jour (6h-22h)	53.4	52.8	18h - 22h	1039	301	2243
Lden	54.8	54.3	22h - 6h	158	237	1106
Jour 4			Trafic horaire Jour des mesures - 2 sens			
LAeq Nuit (22h-6h)	48.9	52.7	6h - 18h	837	349	2234
LAeq Jour (6h-22h)	51.9	53.0	18h - 22h	588	134	1123
Lden	52.9	56.0	22h - 6h	163	66	427
Jour 5			Trafic horaire Jour des mesures - 2 sens			
LAeq Nuit (22h-6h)	47.7	48.6	6h - 18h	835	86	1180
LAeq Jour (6h-22h)	50.4	53.8	18h - 22h	963	64	1219
Lden	51.8	53.5	22h - 6h	125	178	838
Jour 6			Trafic horaire Jour des mesures - 2 sens			
LAeq Nuit (22h-6h)	49.6	49.8	6h - 18h	1059	447	2846
LAeq Jour (6h-22h)	55.0	54.9	18h - 22h	529	316	1794
Lden	54.6	54.6	22h - 6h	89	221	973
Jour 7			Trafic horaire Jour des mesures - 2 sens			
LAeq Nuit (22h-6h)	50.0	49.6	6h - 18h	988	543	3159
LAeq Jour (6h-22h)	53.3	52.7	18h - 22h	614	340	1976
Lden	54.3	53.8	22h - 6h	94	258	1124
Jour 8			Trafic horaire Jour des mesures - 2 sens			
LAeq Nuit (22h-6h)	47.7	47.7	6h - 18h	940	556	3165
LAeq Jour (6h-22h)	52.6	52.1	18h - 22h	636	344	2013
Lden	52.5	52.2	22h - 6h	110	229	1026
Niveau sonore en dB(A)			Trafic horaire Jour des mesures - 2 sens			
Jour 9	JDM(1)	TMJA(2)	Période	VL	PL	QEQ
LAeq Nuit (22h-6h)	51.3	50.7	6h - 18h	895	442	2662
LAeq Jour (6h-22h)	51.0	50.8	18h - 22h	701	328	2013
Lden	54.8	54.2	22h - 6h	140	256	1163
Jour 10			Trafic horaire Jour des mesures - 2 sens			
LAeq Nuit (22h-6h)	52.9	52.5	6h - 18h	999	425	2699
LAeq Jour (6h-22h)	52.6	52.6	18h - 22h	982	267	2051
Lden	56.1	55.7	22h - 6h	177	233	1111
Jour 11			Trafic horaire Jour des mesures - 2 sens			
LAeq Nuit (22h-6h)	46.1	49.8	6h - 18h	853	306	2078
LAeq Jour (6h-22h)	53.4	54.8	18h - 22h	557	108	990
Lden	52.3	54.8	22h - 6h	136	76	438
Jour 12			Trafic horaire Jour des mesures - 2 sens			
LAeq Nuit (22h-6h)	52.4	52.5	6h - 18h	833	127	1340
LAeq Jour (6h-22h)	52.4	54.3	18h - 22h	931	117	1401
Lden	56.2	56.7	22h - 6h	122	218	994
Jour 13			Trafic horaire Jour des mesures - 2 sens			
LAeq Nuit (22h-6h)	55.3	55.2	6h - 18h	955	439	2710
LAeq Jour (6h-22h)	56.0	55.9	18h - 22h	525	327	1832
Lden	58.9	58.8	22h - 6h	87	240	1048
Jour 14			Trafic horaire Jour des mesures - 2 sens			
LAeq Nuit (22h-6h)	54.9	54.4	6h - 18h	879	529	2995
LAeq Jour (6h-22h)	55.5	55.2	18h - 22h	557	306	1783
Lden	58.5	58.0	22h - 6h	98	261	1143
Jour 15			Trafic horaire Jour des mesures - 2 sens			
LAeq Nuit (22h-6h)	50.0	49.0	6h - 18h	789	566	3052
LAeq Jour (6h-22h)	55.3	54.7	18h - 22h	591	416	2254
Lden	55.3	54.3	22h - 6h	106	294	1283
Jour 16			Trafic horaire Jour des mesures - 2 sens			
LAeq Nuit (22h-6h)	49.6	49.5	6h - 18h	852	551	3054
LAeq Jour (6h-22h)	52.1	51.8	18h - 22h	643	272	1729
Lden	53.6	53.3	22h - 6h	116	236	1060

Niveaux maximum (3)			Trafic horaire maximum (3)		
JDM(1)	TMJA(2)		Période	VL	PL
LAeq Nuit (22h-6h)	55.3	55.2	6h - 18h	1211	644
LAeq Jour (6h-22h)	56.0	55.9	18h - 22h	1127	416
Lden	58.9	58.8	22h - 6h	196	294

Niveaux minimum (3)			Trafic horaire minimum (3)		
JDM(1)	TMJA(2)		Période	VL	PL
LAeq Nuit (22h-6h)	46.1	46.9	6h - 18h	789	85
LAeq Jour (6h-22h)	48.1	50.8	18h - 22h	525	64
Lden	51.5	51.7	22h - 6h	87	64

(1) : Jour Des Mesures = Niveau sonore mesuré pendant l'ensemble de la période de mesure en dB(A)

(2) : Niveau sonore mesuré recalé avec le TMJA 2018 en dB(A)

(3) : Les valeurs sont présentées indépendamment pour chaque donnée, elles ne proviennent pas forcément du même jour de m

(4) : Les cases vides correspondent aux périodes de mesure qui n'ont pas été analysées

Niveau sonore en dB(A)		
Jour 1	JDM(1)	TMJA(2)
LAeq Nuit (22h-6h)	51.4	51.1
LAeq Jour (6h-22h)	55.7	54.9
Lden	56.0	55.5
Jour 2		
LAeq Nuit (22h-6h)	46.8	46.9
LAeq Jour (6h-22h)	52.3	51.7
Lden	51.9	51.7
Jour 3		
LAeq Nuit (22h-6h)	50.5	50.2
LAeq Jour (6h-22h)	53.4	52.8
Lden	54.8	54.3
Jour 4		
LAeq Nuit (22h-6h)	48.9	52.7
LAeq Jour (6h-22h)	51.9	53.0
Lden	52.9	56.0
Jour 5		
LAeq Nuit (22h-6h)	47.7	48.6
LAeq Jour (6h-22h)	50.4	53.8
Lden	51.8	53.5
Jour 6		
LAeq Nuit (22h-6h)	49.6	49.8
LAeq Jour (6h-22h)	55.0	54.9
Lden	54.6	54.6
Jour 7		
LAeq Nuit (22h-6h)	50.0	49.6
LAeq Jour (6h-22h)	53.3	52.7
Lden	54.3	53.8
Jour 8		
LAeq Nuit (22h-6h)	47.7	47.7
LAeq Jour (6h-22h)	52.6	52.1
Lden	52.5	52.2

Trafic horaire Jour des mesures - 2 sens			
Période	VL	PL	QEQ
6h - 18h	854	634	3389
18h - 22h	568	384	2102
22h - 6h	90	250	1091
6h - 18h	1019	560	3257
18h - 22h	659	299	1854
22h - 6h	109	223	1002
6h - 18h	1158	478	3070
18h - 22h	1039	301	2243
22h - 6h	158	237	1106
6h - 18h	837	349	2234
18h - 22h	588	134	1123
22h - 6h	163	66	427
6h - 18h	835	86	1180
18h - 22h	963	64	1219
22h - 6h	125	178	838
6h - 18h	1059	447	2846
18h - 22h	529	316	1794
22h - 6h	89	221	973
6h - 18h	988	543	3159
18h - 22h	614	340	1976
22h - 6h	94	258	1124
6h - 18h	940	556	3165
18h - 22h	636	344	2013
22h - 6h	110	229	1026

Niveau sonore en dB(A)		
Jour 9	JDM(1)	TMJA(2)
LAeq Nuit (22h-6h)	51.3	50.7
LAeq Jour (6h-22h)	51.0	50.8
Lden	54.8	54.2
Jour 10		
LAeq Nuit (22h-6h)	52.9	52.5
LAeq Jour (6h-22h)	52.6	52.6
Lden	56.1	55.7
Jour 11		
LAeq Nuit (22h-6h)	46.1	49.8
LAeq Jour (6h-22h)	53.4	54.8
Lden	52.3	54.8
Jour 12		
LAeq Nuit (22h-6h)	52.4	52.5
LAeq Jour (6h-22h)	52.4	54.3
Lden	56.2	56.7
Jour 13		
LAeq Nuit (22h-6h)	55.3	55.2
LAeq Jour (6h-22h)	56.0	55.9
Lden	58.9	58.8
Jour 14		
LAeq Nuit (22h-6h)	54.9	54.4
LAeq Jour (6h-22h)	55.5	55.2
Lden	58.5	58.0
Jour 15		
LAeq Nuit (22h-6h)	50.0	49.0
LAeq Jour (6h-22h)	55.3	54.7
Lden	55.3	54.3
Jour 16		
LAeq Nuit (22h-6h)	49.6	49.5
LAeq Jour (6h-22h)	52.1	51.8
Lden	53.6	53.3

Trafic horaire Jour des mesures - 2 sens			
Période	VL	PL	QEQ
6h - 18h	895	442	2662
18h - 22h	701	328	2013
22h - 6h	140	256	1163
6h - 18h	999	425	2699
18h - 22h	982	267	2051
22h - 6h	177	233	1111
6h - 18h	853	306	2078
18h - 22h	557	108	990
22h - 6h	136	76	438
6h - 18h	833	127	1340
18h - 22h	931	117	1401
22h - 6h	122	218	994
6h - 18h	955	439	2710
18h - 22h	525	327	1832
22h - 6h	87	240	1048
6h - 18h	879	529	2995
18h - 22h	557	306	1783
22h - 6h	98	261	1143
6h - 18h	789	566	3052
18h - 22h	591	416	2254
22h - 6h	106	294	1283
6h - 18h	852	551	3054
18h - 22h	643	272	1729
22h - 6h	116	236	1060

Niveaux maximum (3)		
JDM(1)	TMJA(2)	
LAeq Nuit (22h-6h)	55.3	55.2
LAeq Jour (6h-22h)	56.0	55.9
Lden	58.9	58.8

Trafic horaire maximum (3)		
Période	VL	PL
6h - 18h	1211	644
18h - 22h	1127	416
22h - 6h	196	294

Niveaux minimum (3)		
JDM(1)	TMJA(2)	
LAeq Nuit (22h-6h)	46.1	46.9
LAeq Jour (6h-22h)	48.1	50.8
Lden	51.5	51.7

Trafic horaire minimum (3)		
Période	VL	PL
6h - 18h	789	85
18h - 22h	525	64
22h - 6h	87	64

(1) : Jour Des Mesures = Niveau sonore mesuré pendant l'ensemble de la période de mesure en dB(A)

(2) : Niveau sonore mesuré recalé avec le TMJA 2018 en dB(A)

(3) : Les valeurs sont présentées indépendamment pour chaque donnée, elles ne proviennent pas forcément du même jour de mesure

(4) : Les cases vides correspondent aux périodes de mesure qui n'ont pas été analysées

Annexe B – Trafics lors des mesures



	DATE	Tr_Hor	PL_sens1	PL_sens2	VL_sens1	VL_sens2		DATE	Tr_Hor	PL_sens1	PL_sens2	VL_sens1	VL_sens2		DATE	Tr_Hor	PL_sens1	PL_sens2	VL_sens1	VL_sens2
Jour 1	17/01/2024	06-07	204	299	142	140	Jour 6	22/01/2024	06-07	175	233	252	284	Jour 11	27/01/2024	06-07	180	149	147	55
	17/01/2024	07-08	267	263	384	394		22/01/2024	07-08	212	232	605	660		27/01/2024	07-08	199	127	208	113
	17/01/2024	08-09	242	340	564	509		22/01/2024	08-09	217	243	769	770		27/01/2024	08-09	231	154	448	263
	17/01/2024	09-10	260	364	444	427		22/01/2024	09-10	216	181	615	604		27/01/2024	09-10	247	140	604	326
	17/01/2024	10-11	384	338	355	382		22/01/2024	10-11	224	225	550	500		27/01/2024	10-11	252	152	797	371
	17/01/2024	11-12	351	387	429	387		22/01/2024	11-12	202	209	547	489		27/01/2024	11-12	233	140	824	498
	17/01/2024	12-13	319	394	407	349		22/01/2024	12-13	195	217	500	440		27/01/2024	12-13	212	134	602	449
	17/01/2024	13-14	237	344	403	358		22/01/2024	13-14	206	231	457	469		27/01/2024	13-14	188	89	508	380
	17/01/2024	14-15	314	360	470	391		22/01/2024	14-15	212	264	473	468		27/01/2024	14-15	164	73	518	415
	17/01/2024	15-16	325	346	529	406		22/01/2024	15-16	243	289	450	472		27/01/2024	15-16	141	90	445	421
	17/01/2024	16-17	294	351	572	548		22/01/2024	16-17	203	244	523	544		27/01/2024	16-17	135	77	427	515
	17/01/2024	17-18	314	309	637	627		22/01/2024	17-18	209	276	628	645		27/01/2024	17-18	103	74	412	495
	17/01/2024	18-19	281	249	522	484		22/01/2024	18-19	167	226	500	479		27/01/2024	18-19	91	54	365	484
	17/01/2024	19-20	249	184	359	326		22/01/2024	19-20	120	138	291	292		27/01/2024	19-20	54	56	262	410
	17/01/2024	20-21	188	117	153	208		22/01/2024	20-21	166	111	153	189		27/01/2024	20-21	54	45	163	235
	17/01/2024	21-22	140	127	105	113		22/01/2024	21-22	152	96	93	117		27/01/2024	21-22	45	34	134	176
	17/01/2024	22-23	116	90	77	90		22/01/2024	22-23	129	81	69	96		27/01/2024	22-23	41	29	117	125
	17/01/2024	23-24	113	100	58	58		22/01/2024	23-24	110	99	38	55		27/01/2024	23-24	24	24	134	119
	18/01/2024	00-01	64	92	38	50		23/01/2024	00-01	98	76	28	43		28/01/2024	00-01	21	25	66	92
	18/01/2024	01-02	77	119	39	38		23/01/2024	01-02	78	82	31	25		28/01/2024	01-02	33	48	65	84
	18/01/2024	02-03	83	134	23	34		23/01/2024	02-03	74	124	29	37		28/01/2024	02-03	23	91	83	51
	18/01/2024	03-04	108	158	19	30		23/01/2024	03-04	88	130	25	30		28/01/2024	03-04	13	65	41	31
	18/01/2024	04-05	137	198	26	43		23/01/2024	04-05	129	128	30	40		28/01/2024	04-05	18	63	29	35
18/01/2024	05-06	203	210	54	52	23/01/2024	05-06	153	190	76	57	28/01/2024	05-06	24	64	35	28			
18/01/2024	06-07	253	278	176	185	23/01/2024	06-07	208	232	199	205	28/01/2024	06-07	19	71	85	58			
18/01/2024	07-08	297	337	446	527	23/01/2024	07-08	251	241	510	590	28/01/2024	07-08	18	85	134	100			
18/01/2024	08-09	289	258	674	735	23/01/2024	08-09	264	234	753	784	28/01/2024	08-09	23	63	207	146			
18/01/2024	09-10	263	281	488	571	23/01/2024	09-10	293	216	545	529	28/01/2024	09-10	32	51	286	193			
18/01/2024	10-11	292	247	423	371	23/01/2024	10-11	300	189	450	401	28/01/2024	10-11	45	57	404	347			
18/01/2024	11-12	230	276	435	376	23/01/2024	11-12	329	201	437	373	28/01/2024	11-12	35	125	542	413			
18/01/2024	12-13	308	315	481	369	23/01/2024	12-13	333	261	360	345	28/01/2024	12-13	35	112	401	375			
18/01/2024	13-14	284	328	483	453	23/01/2024	13-14	328	255	435	398	28/01/2024	13-14	24	112	379	356			
18/01/2024	14-15	277	280	561	477	23/01/2024	14-15	284	280	443	403	28/01/2024	14-15	29	119	451	540			
18/01/2024	15-16	253	315	591	586	23/01/2024	15-16	355	321	555	520	28/01/2024	15-16	32	131	602	640			
18/01/2024	16-17	277	303	749	616	23/01/2024	16-17	324	292	628	620	28/01/2024	16-17	31	145	746	822			
18/01/2024	17-18	237	223	792	668	23/01/2024	17-18	271	254	698	687	28/01/2024	17-18	26	103	833	990			
18/01/2024	18-19	208	210	593	569	23/01/2024	18-19	225	250	578	613	28/01/2024	18-19	22	106	701	855			
18/01/2024	19-20	194	125	376	355	23/01/2024	19-20	195	146	346	341	28/01/2024	19-20	18	100	430	564			
18/01/2024	20-21	138	95	224	233	23/01/2024	20-21	189	104	155	178	28/01/2024	20-21	25	92	253	450			
18/01/2024	21-22	139	86	133	153	23/01/2024	21-22	182	61	126	120	28/01/2024	21-22	29	79	176	298			
18/01/2024	22-23	112	84	99	116	23/01/2024	22-23	137	68	67	103	28/01/2024	22-23	53	90	100	160			
18/01/2024	23-24	115	100	74	93	23/01/2024	23-24	127	93	57	79	28/01/2024	23-24	66	76	61	113			
19/01/2024	00-01	67	81	51	45	24/01/2024	00-01	62	92	39	54	29/01/2024	00-01	90	99	31	58			
19/01/2024	01-02	66	101	34	35	24/01/2024	01-02	76	117	33	35	29/01/2024	01-02	60	100	30	45			
19/01/2024	02-03	78	125	33	26	24/01/2024	02-03	83	175	17	29	29/01/2024	02-03	62	137	23	28			
19/01/2024	03-04	78	150	31	35	24/01/2024	03-04	85	158	21	21	29/01/2024	03-04	110	138	33	34			
19/01/2024	04-05	107	144	32	51	24/01/2024	04-05	157	201	25	50	29/01/2024	04-05	132	177	46	42			
19/01/2024	05-06	154	224	49	67	24/01/2024	05-06	220	218	66	54	29/01/2024	05-06	171	202	88	87			
19/01/2024	06-07	183	246	155	150	24/01/2024	06-07	273	291	175	179	29/01/2024	06-07	217	236	235	246			
19/01/2024	07-08	222	251	377	409	24/01/2024	07-08	318	261	476	507	29/01/2024	07-08	206	217	530	617			
19/01/2024	08-09	232	217	628	557	24/01/2024	08-09	310	279	689	682	29/01/2024	08-09	235	259	706	702			
19/01/2024	09-10	250	170	509	438	24/01/2024	09-10	305	269	497	478	29/01/2024	09-10	186	236	621	577			
19/01/2024	10-11	233	208	520	404	24/01/2024	10-11	314	297	416	379	29/01/2024	10-11	240	251	510	488			
19/01/2024	11-12	247	278	577	453	24/01/2024	11-12	309	248	409	371	29/01/2024	11-12	194	228	433	444			
19/01/2024	12-13	258	290	633	515	24/01/2024	12-13	340	272	415	376	29/01/2024	12-13	202	236	410	384			
19/01/2024	13-14	268	267	625	517	24/01/2024	13-14	316	213	418	379	29/01/2024	13-14	219	223	372	397			
19/01/2024	14-15	285	251	770	613	24/01/2024	14-15	306	222	460	395	29/01/2024	14-15	205	205	366	364			
19/01/2024	15-16	238	238	715	796	24/01/2024	15-16	295	243	501	472	29/01/2024	15-16	213	243	431	396			
19/01/2024	16-17	274	229	821	810	24/01/2024	16-17	280	232	588	598	29/01/2024	16-17	204	185	523	502			
19/01/2024	17-18	221	182	948	958	24/01/2024	17-18	262	229	667	686	29/01/2024	17-18	218	197	621	597			
19/01/2024	18-19	201	158	858	828	24/01/2024	18-19	207	243	589	596	29/01/2024	18-19	187	215	504	437			
19/01/2024	19-20	169	163	636	614	24/01/2024	19-20	208	149	355	364	29/01/2024	19-20	184	167	276	323			
19/01/2024	20-21	163	111	364	393	24/01/2024	20-21	184	109	192	203	29/01/2024	20-21	162	127	150	156			
19/01/2024	21-22	138	100	208	256	24/01/2024	21-22	173	103	115	131	29/01/2024	21-22	153	113	125	127			
19/01/2024	22-23	120	83	160	194	24/01/2024	22-23	126	64	88	123	29/01/2024	22-23	131	93	56	79			
19/01/2024	23-24	135	90	106	146	24/01/2024	23-24	107	83	63	125	29/01/2024	23-24	112	100	37	49			
20/01/2024	00-01	88	102	66	119	25/01/2024	00-01	80	92	43	51	30/01/2024	00-01	96	94	43	55			
20/01/2024	01-02	104	90	53	60	25/01/2024	01-02	76	96	22	45	30/01/2024	01-02	80	112	27	37			
20/01/2024	02-03	81	141	43	44	25/01/2024	02-03	68	127	32	36	30/01/2024	02-03	84	130	25	29			
20/01/2024	03-04	92	152	22	53	25/01/2024	03-04	107	152	25	40	30/01/2024	03-04	107	137	52	23			
20/01/2024																				

Annexe C – Validation des résultats



Validation des résultats - Point N°1 - Jour 1

Test temporel : continuité du signal

La continuité des niveaux sonores des intervalles élémentaires dans leur évolution temporelle a été vérifiée afin d'être représentatif du bruit du trafic routier

Test statistique : répartition "gaussienne" du bruit du au trafic routier

Périodes	6h-7h	7h-8h	8h-9h	9h-10h	10h-11h	11h-12h	12h-13h	13h-14h	14h-15h	15h-16h	16h-17h	17h-18h	18h-19h	19h-20h	20h-21h	21h-22h	22h-23h	23h-24h	0h-1h	1h-2h	2h-3h	3h-4h	4h-5h	5h-6h
L _{Aeq} , base	54.9	57.4	56.7	55.8	56.3	56.4	56	55.2	55.6	56.3	56.1	56.6	55.7	54.5	52.1	51.3	50.1	49.5	48.5	49.0	49.5	51.2	53.6	54.8
L ₁₀	57.1	59.5	58.2	57.2	57.6	57.7	57.6	56.9	57.2	57.6	57.4	57.9	57.3	56.8	54.3	53.6	52.5	51.8	51.1	51.6	52.0	53.3	55.7	56.7
L ₅₀	54.4	57.0	56.4	55.5	55.9	56.1	55.7	54.7	55.4	56.1	55.8	56.3	55.3	53.8	51.3	50.8	49.4	48.9	47.9	48.2	48.8	50.8	53.0	54.3
L _{Aeq} , Gauss = L ₁₀ +0.07*(L ₁₀ -L ₅₀) ²	54.91	57.44	56.63	55.70	56.10	56.28	55.95	55.04	55.63	56.26	55.98	56.48	55.58	54.43	51.35	50.07	49.49	48.62	49.01	49.52	51.24	53.51	54.70	
d = L_{Aeq}, base - L_{Aeq}, Gauss	-0.01	-0.04	0.07	0.10	0.20	0.12	0.05	0.16	-0.03	0.04	0.12	0.12	0.07	0.17	-0.05	0.03	0.01	-0.12	-0.01	-0.02	-0.04	0.09	0.10	

Cohérence entre LAeq et trafic pour chaque intervalle de base

Périodes	6h-7h	7h-8h	8h-9h	9h-10h	10h-11h	11h-12h	12h-13h	13h-14h	14h-15h	15h-16h	16h-17h	17h-18h	18h-19h	19h-20h	20h-21h	21h-22h	22h-23h	23h-24h	0h-1h	1h-2h	2h-3h	3h-4h	4h-5h	5h-6h
L _{Aeq} , mes=L _{Aeq} , base	54.9	57.4	56.7	55.8	56.3	56.4	56	55.2	55.6	56.3	56.1	56.6	55.7	54.5	52.1	51.3	50.1	49.5	48.5	49	49.5	51.2	53.6	54.8
QvL	282	778	1073	871	736	816	756	761	861	936	1120	1264	1006	685	361	218	167	117	87	69	57	49	69	106
QpL	503	529	581	624	723	738	713	581	674	670	645	622	530	433	305	267	206	212	157	197	217	266	335	413
Qeq, base=QvL+QpL.E	2293	2895	3397	3368	3627	3768	3609	3084	3557	3617	3700	3753	3127	2417	1580	1286	990.4	966.2	713.7	856.1	925.2	1113	1408	1757
Qeq, réf	3067	3067	3067	3067	3067	3067	3067	3067	3067	3067	3067	3067	3067	3067	3067	3067	1091	1091	1091	1091	1091	1091	1091	1091
Qeq, base/Qeq, réf	0.75	0.94	1.11	1.10	1.18	1.23	1.18	1.01	1.16	1.18	1.21	1.22	1.02	0.79	0.51	0.42	0.91	0.89	0.65	0.78	0.85	1.02	1.29	1.61
10.log(Qeq, base/Qeq, réf)	-1.26	-0.25	0.44	0.41	0.73	0.89	0.71	0.02	0.64	0.72	0.81	0.88	0.08	-1.04	-2.88	-3.78	-0.42	-0.53	-1.84	-1.05	-0.72	0.08	1.11	2.07
L _{Aeq} , réf	55.7	55.7	55.7	55.7	55.7	55.7	55.7	55.7	55.7	55.7	55.7	55.7	55.7	55.7	55.7	55.7	51.4	51.4	51.4	51.4	51.4	51.4	51.4	51.4
L _{Aeq} , calc=L _{Aeq} , réf+10.log(Qeq, base/Qeq, réf)	54.4	55.4	56.1	56.1	56.4	56.6	56.4	57.7	56.3	56.4	56.5	56.5	55.8	54.6	52.8	51.9	50.9	50.8	49.5	50.3	50.6	51.4	52.5	53.4
valeur absolue L_{Aeq}, mes-L_{Aeq}, calc 	0.49	1.98	0.59	0.28	0.10	0.16	0.38	0.49	0.71	0.09	0.38	0.05	0.05	0.13	0.69	0.59	0.84	1.33	1.01	1.30	1.14	0.24	1.14	1.37

Validation des résultats - Point N°1 - Jour 2

Test temporel : continuité du signal

La continuité des niveaux sonores des intervalles élémentaires dans leur évolution temporelle a été vérifiée afin d'être représentatif du bruit du trafic routier

Test statistique : répartition "gaussienne" du bruit du au trafic routier

Périodes	6h-7h	7h-8h	8h-9h	9h-10h	10h-11h	11h-12h	12h-13h	13h-14h	14h-15h	15h-16h	16h-17h	17h-18h	18h-19h	19h-20h	20h-21h	21h-22h	22h-23h	23h-24h	0h-1h	1h-2h	2h-3h	3h-4h	4h-5h	5h-6h
L _{Aeq} , base	54.2	55.9	56.4	54.8	54.8	52.3	45.7	44.9	45.0	46.7	50.6	53.0	51.8	51.0	48.8	46.8	45.7	45.5	44.2	44.1	45.7	47.3	47.8	50.4
L ₁₀	55.9	57.5	58.0	56.2	56.4	55.0	47.6	46.5	46.9	48.6	53.2	55.1	53.8	53.3	51.3	49.5	48.8	48.5	47.6	47.7	48.9	50.3	50.7	52.9
L ₅₀	53.8	56.6	56.1	54.4	54.4	52.2	44.8	44.3	44.3	46.1	49.7	52.5	51.2	50.2	47.9	45.7	44.1	44.3	42.3	42.3	44.1	46.1	46.8	49.7
L _{Aeq} , Gauss = L ₁₀ +0.07*(L ₁₀ -L ₅₀) ²	54.11	55.85	56.35	54.63	54.68	52.75	45.35	44.64	44.77	46.54	50.56	52.97	51.67	50.87	48.71	46.71	45.65	45.53	44.27	44.34	45.71	47.33	47.86	50.42
d = L_{Aeq}, base - L_{Aeq}, Gauss	0.09	0.05	0.05	0.17	0.12	-0.45	0.35	0.28	0.23	0.16	0.04	0.03	0.13	0.13	0.09	0.09	0.05	-0.03	-0.07	-0.24	-0.01	-0.03	-0.06	-0.02

Cohérence entre LAeq et trafic pour chaque intervalle de base

Périodes	6h-7h	7h-8h	8h-9h	9h-10h	10h-11h	11h-12h	12h-13h	13h-14h	14h-15h	15h-16h	16h-17h	17h-18h	18h-19h	19h-20h	20h-21h	21h-22h	22h-23h	23h-24h	0h-1h	1h-2h	2h-3h	3h-4h	4h-5h	5h-6h
L _{Aeq} , mes=L _{Aeq} , base	54.2	55.9	56.4	54.8	54.8	52.3	45.7	44.9	45	46.7	50.6	53	51.8	51	48.8	46.8	45.7	45.5	44.2	44.1	45.7	47.3	47.8	50.4
QvL	361	973	1409	1058	794	811	851	936	1038	1176	1365	1460	1161	731	457	286	215	166	96	69	59	66	83	116
QpL	531	634	547	544	529	530	622	612	557	569	580	459	419	319	233	225	196	216	148	167	202	228	251	378
Qeq, base=QvL+QpL.E	2485	3509	3597	3233	2911	2932	3340	3383	3265	3451	3686	3297	2836	2006	1388	1185	998.5	1029	687.7	735.9	867.6	979	1088	1629
Qeq, réf	2906	2906	2906	2906	2906	2906	2906	2906	2906	2906	2906	2906	2906	2906	2906	2906	1002	1002	1002	1002	1002	1002	1002	1002
Qeq, base/Qeq, réf	0.85	1.21	1.24	1.11	1.00	1.01	1.15	1.16	1.12	1.19	1.27	1.13	0.98	0.69	0.48	0.41	1.00	1.03	0.69	0.73	0.87	0.98	1.09	1.63
10.log(Qeq, base/Qeq, réf)	-0.68	0.82	0.93	0.46	0.01	0.04	0.60	0.66	0.51	0.75	1.03	0.55	-0.11	-1.61	-3.21	-3.90	-0.01	0.12	-1.63	-1.34	-0.62	-0.10	0.36	2.11
L _{Aeq} , réf	52.3	52.3	52.3	52.3	52.3	52.3	52.3	52.3	52.3	52.3	52.3	52.3	52.3	52.3	52.3	52.3	46.8	46.8	46.8	46.8	46.8	46.8	46.8	46.8
L _{Aeq} , calc=L _{Aeq} , réf+10.log(Qeq, base/Qeq, réf)	51.6	53.1	53.2	52.8	52.3	52.3	52.9	53.0	52.8	53.1	53.3	52.9	52.2	50.7	49.1	48.4	46.8	46.9	45.2	45.5	46.2	46.7	47.2	48.9
valeur absolue L_{Aeq}, mes-L_{Aeq}, calc 	2.57	2.77	3.16	2.03	2.48	0.05	7.22	8.07	7.82	6.36	2.74	0.14	0.40	0.30	0.30	1.62	1.11	1.44	0.99	1.39	0.50	0.57	0.61	1.46

Validation des résultats - Point N°1 - Jour 3

Test temporel : continuité du signal

La continuité des niveaux sonores des intervalles élémentaires dans leur évolution temporelle a été vérifiée afin d'être représentatif du bruit du trafic routier

Test statistique : répartition "gaussienne" du bruit du au trafic routier

Périodes	6h-7h	7h-8h	8h-9h	9h-10h	10h-11h	11h-12h	12h-13h	13h-14h	14h-15h	15h-16h	16h-17h	17h-18h	18h-19h	19h-20h	20h-21h	21h-22h	22h-23h	23h-24h	0h-1h	1h-2h	2h-3h	3h-4h	4h-5h	5h-6h
L _{Aeq} , base	51.3	53.1	53.6	53.9	54.2	53.6	54.2	53	53	52.6	53.1	53.8	54.1	54.8	53.5	52.2	51.0	50.9	49.9	49.9	50.0	50.3	50.9	51.2
L ₁₀	53.7	54.9	55.5	56.1	56.1	55.6	56.2	54.9	55.0	54.4	54.8	55.5	55.7	56.5	55.5	54.4	53.0	53.3	52.6	52.6	52.5	52.8	53.4	53.5
L ₅₀	50.6	52.6	53.2	53.4	53.7	53.1	53.8	52.5	52.5	52.2	52.7	53.2	53.8	54.4	53.1	51.6	50.3	50.2	48.9	49.1	49.2	49.5	50.1	50.6
L _{Aeq} , Gauss = L ₁₀ +0.07*(L ₁₀ -L ₅₀) ²	51.27	52.97	53.57	53.91	54.10	53.54	54.20	52.90	52.94	52.54	53.01	53.57	54.05	54.71	53.50	52.15	50.81	50.87	49.86	49.96	49.96	50.26	50.86	51.19
d = L_{Aeq}, base - L_{Aeq}, Gauss	0.03	0.13	0.03	-0.01	0.10	0.06	0.06	0.00	0.10	0.06	0.09	0.23	0.05	0.09	0.00	0.05	0.19	0.03	0.04	-0.06	0.04	0.04	0.04	0.01

Cohérence entre LAeq et trafic pour chaque intervalle de base

Périodes	6h-7h	7h-8h	8h-9h	9h-10h	10h-11h	11h-12h	12h-13h	13h-14h	14h-15h	15h-16h	16h-17h	17h-18h	18h-19h	19h-20h	20h-21h	21h-22h	22h-23h	23h-24h	0h-1h	1h-2h	2h-3h	3h-4h	4h-5h	5h-6h
L _{Aeq} , mes=L _{Aeq} , base	51.3	53.1	53.6	53.9	54.2	53.6	54.2	53	53	52.6	53.1	53.8	54.1	54.8	53.5	52.2	51	50.9	49.9	49.9	50	50.3	50.9	51.2
QvL	306	787	1185	946	923	1030	1148	1143	1384	1511	1631	1901	1686	1250	757	464	354	252	186	113	88	74	88	108
QpL	428	472	449	421	442	525	548	534	535	476	502	404	359	332	274	238	204	225	189	194	221	259	290	314
Qeq, base=QvL+QpL.E	2018	2676	2981	2629	2690	3130	3341	3280	3525	3415	3639	3516	3122	2579	1854	1416	1168	1151	943.3	887.9	972.6	1109	1248	1364
Qeq, réf	2863	2863	2863	2863																				

Validation des résultat - Point N°1 - Jour 5

Test temporel : continuité du signal

La continuité des niveaux sonores des intervalles élémentaires dans leur évolution temporelle a été vérifiée afin d'être représentatif du bruit du trafic routier

Test statistique : répartition "gaussienne" du bruit du au trafic routier

Périodes	6h-7h	7h-8h	8h-9h	9h-10h	10h-11h	11h-12h	12h-13h	13h-14h	14h-15h	15h-16h	16h-17h	17h-18h	18h-19h	19h-20h	20h-21h	21h-22h	22h-23h	23h-24h	0h-1h	1h-2h	2h-3h	3h-4h	4h-5h	5h-6h
LAeq,base	48.9	49.8	52.2	53.5	52.4	48.8	49.0	50.0	48.8	49.7	49.2	50.8	51.5	49.4	48.9	48.9	47.8	46.4	46.7	46.0	46.6	45.3	48.4	51.3
L10	50.9	52.2	54.8	55.6	54.7	50.4	50.8	52.0	50.6	51.2	50.6	52.2	53.6	51.2	50.8	51.3	50.2	48.9	49.5	48.6	49.3	47.9	50.8	53.3
L50	48.2	48.8	51.2	52.9	51.7	48.3	48.6	49.5	48.5	49.4	48.9	50.3	50.9	49.0	48.5	48.2	46.9	45.5	45.6	45.3	45.8	44.4	47.8	50.5
LAeq,Gauss = L10+0.07*(L10-L50)²	48.71	49.61	52.11	53.41	52.33	48.61	48.94	49.94	48.81	49.63	49.10	50.55	51.41	49.34	48.87	48.87	47.66	46.31	46.66	46.66	45.26	48.43	51.05	
d = LAeq,base - LAeq,Gauss	0.19	0.19	0.09	0.09	0.07	0.19	0.06	0.06	-0.01	0.07	0.10	0.25	0.09	0.06	0.03	0.03	0.14	0.09	0.04	-0.06	-0.06	0.04	-0.03	0.25

Cohérence entre LAeq et trafic pour chaque intervalle de base

Périodes	6h-7h	7h-8h	8h-9h	9h-10h	10h-11h	11h-12h	12h-13h	13h-14h	14h-15h	15h-16h	16h-17h	17h-18h	18h-19h	19h-20h	20h-21h	21h-22h	22h-23h	23h-24h	0h-1h	1h-2h	2h-3h	3h-4h	4h-5h	5h-6h
LAeq,mes=LAeq,base	48.9	49.8	52.2	53.5	52.4	48.8	49	50	48.8	49.7	49.2	50.8	51.5	49.4	48.9	48.9	47.8	46.4	46.7	46.0	46.6	45.3	48.4	51.3
QvL	118	207	337	433	750	997	824	788	1002	1348	1564	1567	1664	1567	1095	667	524	293	179	110	63	47	75	187
QpL	69	52	64	88	72	99	84	102	110	115	111	71	77	63	52	63	104	130	134	156	155	170	266	312
Qeq,base=QvL+QpL-E	393.9	414.3	592.8	783.8	1037	1392	1159	1195	1441	1807	1997	1948	1876	1347	875.8	775.6	706.5	698.3	643.5	685.9	666.5	728.1	1140	1436
Qeq,réf	1190	1190	1190	1190	1190	1190	1190	1190	1190	1190	1190	1190	1190	1190	1190	1190	838	838	838	838	838	838	838	838
Qeq,base/Qeq,réf	0.33	0.35	0.50	0.66	0.87	1.17	0.97	1.00	1.21	1.52	1.68	1.64	1.58	1.13	0.74	0.65	0.84	0.83	0.77	0.82	0.80	0.87	1.36	1.71
10.log(Qeq,base/Qeq,réf)	-4.80	-4.58	-3.03	-1.81	-0.60	0.68	-0.12	0.02	0.83	1.82	2.25	2.14	1.98	0.54	-1.33	-1.86	-0.74	-0.79	-1.15	-0.87	-1.00	-0.61	1.34	2.34
LAeq,réf	50.4	50.4	50.4	50.4	50.4	50.4	50.4	50.4	50.4	50.4	50.4	50.4	50.4	50.4	50.4	50.4	47.7	47.7	47.7	47.7	47.7	47.7	47.7	
LAeq,calc=LAeq,réf+10.log(Qeq,base/Qeq,réf)	45.6	45.8	47.4	48.6	49.8	51.1	50.3	50.4	51.2	52.2	52.6	52.5	52.4	50.9	49.1	48.5	47.0	46.9	46.6	46.9	46.7	47.1	49.1	50.1
valeur absolue LAeq,mes-LAeq,calc	3.32	4.00	4.84	4.93	2.61	2.27	1.27	0.41	2.42	2.50	3.43	1.73	0.86	1.52	0.15	0.37	0.81	0.54	0.12	0.86	0.13	1.82	0.66	1.23

Validation des résultat - Point N°1 - Jour 6

Test temporel : continuité du signal

La continuité des niveaux sonores des intervalles élémentaires dans leur évolution temporelle a été vérifiée afin d'être représentatif du bruit du trafic routier

Test statistique : répartition "gaussienne" du bruit du au trafic routier

Périodes	6h-7h	7h-8h	8h-9h	9h-10h	10h-11h	11h-12h	12h-13h	13h-14h	14h-15h	15h-16h	16h-17h	17h-18h	18h-19h	19h-20h	20h-21h	21h-22h	22h-23h	23h-24h	0h-1h	1h-2h	2h-3h	3h-4h	4h-5h	5h-6h
LAeq,base	53.0	54.8	55.1	54.5	54.1	54.5	55.3	57.0	56.6	57.1	56.9	56.0	53.9	52.5	52.0	50.6	50.0	50.4	50.7	47.1	47.6	48.9	50.2	50.4
L10	54.7	56.3	56.5	56.1	55.4	56.2	56.7	58.5	57.9	58.6	58.7	57.6	55.5	54.2	53.8	52.9	52.2	52.6	54.4	49.8	50.0	51.4	52.4	52.3
L50	52.6	54.4	54.7	54.1	53.8	54.0	55.0	56.8	56.0	56.7	56.2	55.7	53.6	52.2	51.4	49.9	49.4	49.7	47.7	46.2	46.9	48.1	49.5	49.9
LAeq,Gauss = L10+0.07*(L10-L50)²	52.91	54.65	54.93	54.38	53.98	54.34	55.20	57.00	56.48	56.95	56.64	55.95	53.85	52.48	51.80	50.53	49.95	50.29	50.97	47.11	47.57	48.86	50.09	50.30
d = LAeq,base - LAeq,Gauss	0.09	0.15	0.17	0.12	0.12	0.16	0.10	0.02	0.12	0.15	0.26	0.05	0.05	0.02	0.20	0.07	0.05	0.11	-0.27	-0.01	0.03	0.04	0.11	0.10

Cohérence entre LAeq et trafic pour chaque intervalle de base

Périodes	6h-7h	7h-8h	8h-9h	9h-10h	10h-11h	11h-12h	12h-13h	13h-14h	14h-15h	15h-16h	16h-17h	17h-18h	18h-19h	19h-20h	20h-21h	21h-22h	22h-23h	23h-24h	0h-1h	1h-2h	2h-3h	3h-4h	4h-5h	5h-6h
LAeq,mes=LAeq,base	53.0	54.8	55.1	54.5	54.1	54.5	55.3	57	56.6	57.1	56.9	56	53.9	52.5	52	50.6	50	50.4	50.7	47.1	47.6	48.9	50.2	50.4
QvL	506	1265	1539	1219	1050	1035	941	926	941	922	1066	1272	980	583	342	210	165	94	71	55	66	55	71	132
QpL	438	444	460	397	449	412	411	437	476	532	448	486	392	348	277	248	210	208	174	161	198	218	256	344
Qeq,base=QvL+QpL-E	2167	3042	3379	2806	2847	2682	2586	2673	2845	3049	2857	3215	2549	1975	1450	1201	1005	926.2	768.3	698.6	858.4	926.2	1096	1507
Qeq,réf	2583	2583	2583	2583	2583	2583	2583	2583	2583	2583	2583	2583	2583	2583	2583	2583	973	973	973	973	973	973	973	973
Qeq,base/Qeq,réf	0.84	1.18	1.31	1.09	1.10	1.04	1.00	1.03	1.10	1.18	1.11	1.24	0.99	0.76	0.56	0.47	1.03	0.95	0.79	0.72	0.88	0.95	1.13	1.55
10.log(Qeq,base/Qeq,réf)	-0.76	0.71	1.17	0.36	0.42	0.16	0.01	0.15	0.42	0.72	0.44	0.95	-0.06	-1.16	-2.51	-3.32	1.04	-0.22	-1.03	-1.44	-0.55	-0.22	0.52	1.90
LAeq,réf	55.0	55.0	55.0	55.0	55.0	55.0	55.0	55.0	55.0	55.0	55.0	55.0	55.0	55.0	55.0	55.0	49.6	49.6	49.6	49.6	49.6	49.6	49.6	
LAeq,calc=LAeq,réf+10.log(Qeq,base/Qeq,réf)	54.2	55.7	56.2	55.3	55.4	55.1	55.0	55.1	55.4	55.7	55.4	55.9	54.9	53.8	52.5	51.7	49.7	49.4	48.6	48.2	49.0	49.4	50.1	51.5
valeur absolue LAeq,mes-LAeq,calc	1.22	0.89	1.05	0.84	1.31	0.65	0.31	1.87	1.20	1.40	1.48	0.07	1.03	1.32	0.48	1.06	0.27	1.03	2.14	1.05	1.44	0.47	0.09	1.09

Validation des résultat - Point N°1 - Jour 7

Test temporel : continuité du signal

La continuité des niveaux sonores des intervalles élémentaires dans leur évolution temporelle a été vérifiée afin d'être représentatif du bruit du trafic routier

Test statistique : répartition "gaussienne" du bruit du au trafic routier

Périodes	6h-7h	7h-8h	8h-9h	9h-10h	10h-11h	11h-12h	12h-13h	13h-14h	14h-15h	15h-16h	16h-17h	17h-18h	18h-19h	19h-20h	20h-21h	21h-22h	22h-23h	23h-24h	0h-1h	1h-2h	2h-3h	3h-4h	4h-5h	5h-6h
LAeq,base	52.3	53.8	56.1	54.1	52.5	52.1	51.1	52.4	53.0	53.4	53.7	54.8	54.6	52.4	51.0	50.9	50.0	49.5	48.9	48.9	50.0	50.0	50.4	51.4
L10	54.4	55.5	57.5	56.0	54.2	53.8	52.8	54.0	54.5	54.8	55.3	56.3	56.0	54.3	52.9	52.9	52.1	51.5	51.0	51.1	51.8	52.2	52.3	53.2
L50	51.7	53.6	55.8	53.6	52.0	51.7	50.7	52.0	52.6	53.1	53.3	54.4	54.3	51.9	50.7	50.3	49.4	49.0	48.3	48.4	49.5	49.4	49.8	51.0
LAeq,Gauss = L10+0.07*(L10-L50)²	52.21	53.85	56.00	54.00	52.34	52.01	51.01	52.28	52.85	53.30	53.58	54.65	54.50	52.30	51.04	50.77	49.91	49.44	48.81	48.91	49.87	49.95	50.24	51.34
d = LAeq,base - LAeq,Gauss	0.09	-0.05	0.10	0.10	0.16	0.09	0.09	0.12	0.15	0.10	0.12	0.15	0.10	0.10	-0.04	0.13	0.09	0.06	0.09	-0.01	0.13	0.05	0.16	0.06

Cohérence entre LAeq et trafic pour chaque intervalle de base

Périodes	6h-7h	7h-8h	8h-9h	9h-10h	10h-11h	11h-12h	12h-13h	13h-14h	14h-15h	15h-16h	16h-17h	17h-18h	18h-19h	19h-20h	20h-21h	21h-22h	22h-23h	23h-24h	0h-1h	1h-2h	2h-3h	3h-4h	4h-5h	5h-6h
LAeq,mes=LAeq,base	52.3	53.8	56.1	54.1	52.5	52.1	51.1	52.4	53.0	53.4	53.7	54.8	54.6	52.4	51	50.9	50	49.5	48.9	48.9	50	50	50.4	51.4
QvL	405	1100	1536	1074	851	810																		

Validation des résultat - Point N°1 - Jour 9

Test temporel : continuité du signal

La continuité des niveaux sonores des intervalles élémentaires dans leur évolution temporelle a été vérifiée afin d'être représentatif du bruit du trafic routier

Test statistique : répartition "gaussienne" du bruit du au trafic routier																									
Périodes	6h-7h	7h-8h	8h-9h	9h-10h	10h-11h	11h-12h	12h-13h	13h-14h	14h-15h	15h-16h	16h-17h	17h-18h	18h-19h	19h-20h	20h-21h	21h-22h	22h-23h	23h-24h	0h-1h	1h-2h	2h-3h	3h-4h	4h-5h	5h-6h	
L _{Aeq} base	51.2	52.3	53.2	52.4	50.6	47.5	44.8	45.0	46.2	48.4	49.6	52.5	53.2	52.4	51.6	53.0	52.9	52.6	52.7	50.3	51.3	49.7	49.4	50.0	
L ₁₀	53.2	53.7	54.3	53.9	52.3	49.6	46.6	46.3	48.0	50.8	51.4	54.3	54.7	53.9	53.6	55.2	55.1	55.2	54.8	52.4	53.8	51.7	51.3	51.9	
L ₅₀	50.7	52.1	53.0	52.1	50.3	47.0	44.2	44.3	45.7	47.4	49.2	52.0	52.9	52.0	51.1	52.4	52.2	51.5	52.0	49.6	50.4	49.1	49.0	49.6	
L _{Aeq} Gauss = L ₁₀ +0.07(L ₁₀ -L ₅₀) ²	51.14	52.28	53.12	52.33	50.58	47.47	44.60	44.58	46.07	48.21	49.54	52.37	53.13	52.25	51.54	52.95	52.79	52.46	52.55	50.15	51.21	49.57	49.37	49.97	
d = L _{Aeq} base - L _{Aeq} Gauss	0.06	0.02	0.08	0.07	0.02	0.03	0.20	0.42	0.13	0.19	0.06	0.13	0.07	0.15	0.06	0.05	0.11	0.14	0.15	0.15	0.09	0.13	0.03	0.03	

Cohérence entre LAeq et trafic pour chaque intervalle de base

L _{Aeq} mes=L _{Aeq} base	51.6	53.8	54.1	52.8	52.2	52.9	52.6	52.9	54.1	54.3	53.7	51.7	49.9	49.8	47.6	52.6	51.2	52.2	52.2	52.9	52.6	52.9	53.7	54.4
QvL	378	1054	1478	1022	823	737	553	660	803	776	993	1460	1229	775	484	314	269	196	163	90	79	88	89	143
QpL	502	542	532	551	546	513	269	291	339	325	287	606	423	391	268	231	181	183	165	178	238	283	370	449
Qeq,base=QvL+QpL-E	2385	3221	3607	3225	3006	2788	1630	1825	2159	2076	2142	3885	2920	2340	1556	1238	994	926	822	801	903	1219	1570	1938
Qeq,réf	2500	2500	2500	2500	2500	2500	2500	2500	2500	2500	2500	2500	2500	2500	2500	2500	1163	1163	1163	1163	1163	1163	1163	1163
Qeq,base/Qeq,réf	0.95	1.29	1.44	1.29	1.20	1.12	0.65	0.73	0.86	0.83	0.86	1.55	1.17	0.94	0.62	0.50	0.85	0.80	0.71	0.69	0.89	1.05	1.35	1.67
10.log(Qeq,base/Qeq,réf)	-0.21	1.10	1.59	1.11	0.80	0.47	-1.86	-1.37	-0.64	-0.81	-0.67	1.91	0.67	-0.29	-2.06	-3.05	-0.68	-0.99	-1.51	-1.61	-0.52	0.20	1.30	2.22
L _{Aeq} réf	51.0	51.0	51.0	51.0	51.0	51.0	51.0	51.0	51.0	51.0	51.0	51.0	51.0	51.0	51.0	51.0	50.4	51.5	51.3	51.3	51.3	51.3	51.3	51.3
L _{Aeq} calc=L _{Aeq} réf+10.log(Qeq,base/Qeq,réf)	50.8	52.1	52.6	52.1	51.8	51.5	49.2	49.7	50.4	50.2	50.3	52.9	51.7	50.7	49.0	48.0	50.6	50.3	49.8	49.7	50.8	51.5	52.6	53.5
valeur absolue L _{Aeq} mes-L _{Aeq} calc	0.38	0.18	0.59	0.27	1.22	3.99	4.36	4.65	4.18	1.81	0.75	0.44	1.51	1.67	2.64	5.03	2.26	2.26	2.88	0.59	0.49	1.83	3.23	3.54

Validation des résultat - Point N°1 - Jour 10

Test temporel : continuité du signal

La continuité des niveaux sonores des intervalles élémentaires dans leur évolution temporelle a été vérifiée afin d'être représentatif du bruit du trafic routier

Test statistique : répartition "gaussienne" du bruit du au trafic routier																									
Périodes	6h-7h	7h-8h	8h-9h	9h-10h	10h-11h	11h-12h	12h-13h	13h-14h	14h-15h	15h-16h	16h-17h	17h-18h	18h-19h	19h-20h	20h-21h	21h-22h	22h-23h	23h-24h	0h-1h	1h-2h	2h-3h	3h-4h	4h-5h	5h-6h	
L _{Aeq} base	51.6	53.8	54.1	52.8	52.2	52.9	52.6	52.9	54.1	54.3	53.7	51.7	49.9	49.8	47.6	52.6	51.2	52.2	52.2	52.9	52.6	52.9	53.7	54.4	
L ₁₀	53.3	55.5	55.7	54.7	53.8	54.7	54.1	54.9	55.6	55.8	55.2	53.2	52.1	51.7	50.2	54.9	53.7	54.8	55.0	55.6	55.6	55.8	56.2	56.8	
L ₅₀	51.3	53.3	53.7	52.2	51.6	52.3	52.3	52.2	52.6	54.0	53.4	51.3	49.3	49.3	46.7	52.0	50.4	51.5	51.3	52.1	51.6	52.0	52.9	53.8	
L _{Aeq} Gauss = L ₁₀ +0.07(L ₁₀ -L ₅₀) ²	51.58	53.64	53.98	52.64	51.94	52.70	52.53	52.71	53.88	54.23	53.63	51.55	49.85	49.70	47.56	52.59	51.16	52.26	52.26	52.96	52.72	53.01	53.66	54.43	
d = L _{Aeq} base - L _{Aeq} Gauss	0.02	0.16	0.12	0.16	0.26	0.20	0.07	0.19	0.22	0.07	0.07	0.15	0.05	0.10	0.04	0.01	0.04	-0.06	-0.05	-0.06	-0.12	-0.11	0.04	-0.03	

Cohérence entre LAeq et trafic pour chaque intervalle de base

L _{Aeq} mes=L _{Aeq} base	51.6	53.8	54.1	52.8	52.2	52.9	52.6	52.9	54.1	54.3	53.7	51.7	49.9	49.8	47.6	52.6	51.2	52.2	52.2	52.9	52.6	52.9	53.7	54.4
QvL	320	852	1097	843	845	831	829	933	1121	1213	1484	1622	1519	1150	745	515	400	279	153	132	90	107	110	147
QpL	429	448	417	425	454	497	487	334	364	394	468	383	322	297	230	220	193	202	198	216	215	238	301	305
Qeq,base=QvL+QpL-E	2035	2644	2764	2543	2660	2819	2777	2268	2577	2790	3357	3153	2806	2338	1664	1395	1171	1086	943.8	996	949.5	1058	1315	1366
Qeq,réf	2537	2537	2537	2537	2537	2537	2537	2537	2537	2537	2537	2537	2537	2537	2537	2537	1111	1111	1111	1111	1111	1111	1111	1111
Qeq,base/Qeq,réf	0.80	1.04	1.09	1.00	1.05	1.11	1.09	0.89	1.02	1.10	1.32	1.24	1.11	0.92	0.66	0.55	1.05	0.98	0.85	0.90	0.85	0.95	1.18	1.23
10.log(Qeq,base/Qeq,réf)	-0.96	0.18	0.37	0.01	0.21	0.46	0.39	-0.49	0.07	0.41	1.22	0.94	0.44	-0.35	-1.83	-2.60	0.23	-0.10	-0.71	-0.47	-0.68	-0.21	0.73	0.90
L _{Aeq} réf	52.6	52.6	52.6	52.6	52.6	52.6	52.6	52.6	52.6	52.6	52.6	52.6	52.6	52.6	52.6	52.6	52.9	52.9	52.9	52.9	52.9	52.9	52.9	52.9
L _{Aeq} calc=L _{Aeq} réf+10.log(Qeq,base/Qeq,réf)	51.6	52.8	53.0	52.6	52.8	53.1	53.0	52.1	52.7	53.0	53.8	53.5	53.0	52.2	50.8	50.0	53.1	52.9	52.8	52.4	52.2	52.7	53.6	53.9
valeur absolue L _{Aeq} mes-L _{Aeq} calc	0.04	1.02	1.13	0.19	0.61	0.16	0.39	0.79	1.43	1.29	0.12	1.84	3.14	2.45	3.17	2.60	1.89	0.56	0.05	0.51	0.42	0.25	0.11	0.64

Validation des résultat - Point N°1 - Jour 11

Test temporel : continuité du signal

La continuité des niveaux sonores des intervalles élémentaires dans leur évolution temporelle a été vérifiée afin d'être représentatif du bruit du trafic routier

Test statistique : répartition "gaussienne" du bruit du au trafic routier																									
Périodes	6h-7h	7h-8h	8h-9h	9h-10h	10h-11h	11h-12h	12h-13h	13h-14h	14h-15h	15h-16h	16h-17h	17h-18h	18h-19h	19h-20h	20h-21h	21h-22h	22h-23h	23h-24h	0h-1h	1h-2h	2h-3h	3h-4h	4h-5h	5h-6h	
L _{Aeq} base	55.2	56.2	56.2	55.3	55.2	54.2	53.5	51.0	49.3	50.6	51.3	51.3	52.0	53.4	52.5	49.2	45.8	46.0	46.9	46.8	45.8	45.5	46.1	45.6	
L ₁₀	57.6	57.3	57.9	57.0	57.1	55.9	55.3	51.8	52.6	53.6	52.8	53.6	55.4	54.5	51.1	47.8	47.9	49.0	49.3	47.7	47.6	48.3	48.0		
L ₅₀	54.6	54.8	55.8	55.0	54.8	53.9	52.9	50.4	48.2	50.3	50.7	50.9	51.5	52.8	51.7	48.6	45.2	45.4	46.1	45.8	45.3	44.7	45.2	44.4	
L _{Aeq} Gauss = L ₁₀ +0.07(L ₁₀ -L ₅₀) ²	55.23	56.23	56.11	55.28	55.17	54.18	53.30	50.87	49.11	50.67	51.29	51.15	51.81	53.27	52.25	49.04	45.67	45.84	46.69	46.66	45.70	45.29	45.87	45.31	
d = L _{Aeq} base - L _{Aeq} Gauss	-0.03	-0.04	0.09	0.02	0.03	0.02	0.20	0.13	0.19	-0.07	0.01	0.15	0.19	0.13	0.25	0.16	0.13	0.16	0.21	0.14	0.10	0.21	0.23	0.29	

Cohérence entre LAeq et trafic pour chaque intervalle de base

L _{Aeq} mes=L _{Aeq} base	55.2	56.2	56.2	55.3	55.2	54.2	53.5	51.0	49.3	50.6	51.3	51.3	52.0	53.4	52.5	49.2	45.8	46.0	46.9	46.8	45.8	45.5	46.1	45.6
QvL	202	320	711	930	1169	1322	1051	888	933	866	942	907	849	672	398	311	242	253	159	149	84	72	64	63
QpL	329	327	385	386	403	373	346	277	237	221	212	177	145	110	99	78	70	48	45	81	114	78	81	88
Qeq,base=QvL+QpL-E	1517	1627	2251	2475	2782	2814	2434	1996	1881	1749	1790	1615	1429	1111	794	624	523	445	340.4	472.5	539.5	384.7	386.7	415

Validation des résultat - Point N°1 - Jour 17

Test temporel : continuité du signal

La continuité des niveaux sonores des intervalles élémentaires dans leur évolution temporelle a été vérifiée afin d'être représentatif du bruit du trafic routier

Test statistique : répartition "gaussienne" du bruit du au trafic routier

Périodes	6h-7h	7h-8h	8h-9h	9h-10h	10h-11h	11h-12h	12h-13h	13h-14h	14h-15h	15h-16h	16h-17h	17h-18h	18h-19h	19h-20h	20h-21h	21h-22h	22h-23h	23h-24h	0h-1h	1h-2h	2h-3h	3h-4h	4h-5h	5h-6h
L _{Aeq} base	48.7	56.6	55.1	54.6	53.5	52.7	51.2	48.6	48.6	47.6	49.3	51.1	51.9	50.6	53.9	55.2	54.1	53.5	53.8	52.6	52.2	52.3	51.0	51.3
L ₁₀	52.2	58.8	56.3	56.0	55.1	54.5	53.3	51.3	50.7	49.6	51.0	53.3	54.6	52.2	55.7	57.3	56.7	56.1	56.1	55.6	54.7	54.8	53.0	53.8
L ₅₀	47.1	56.0	54.8	54.3	53.0	52.3	50.6	47.2	48.1	47.2	48.7	50.3	50.6	50.1	53.5	54.8	53.4	52.7	53.0	51.4	51.6	51.5	50.3	50.7
L _{Aeq} , Gauss = $L_{50} + 0.07 \cdot (L_{10} - L_{50})^2$	48.92	56.55	54.96	54.50	53.31	52.64	51.11	48.38	48.57	47.60	49.07	50.93	51.72	50.41	53.84	55.24	54.16	53.51	53.67	52.58	52.27	52.26	50.81	51.37
d = L_{Aeq}, base - L_{Aeq}, Gauss	-0.22	0.05	0.14	0.10	0.19	0.06	0.09	0.22	0.03	0.00	0.23	0.17	0.18	0.19	0.06	-0.04	-0.06	-0.01	0.13	0.02	-0.07	0.04	0.19	-0.07

Cohérence entre LAeq et trafic pour chaque intervalle de base

Périodes	6h-7h	7h-8h	8h-9h	9h-10h	10h-11h	11h-12h	12h-13h	13h-14h	14h-15h	15h-16h	16h-17h	17h-18h	18h-19h	19h-20h	20h-21h	21h-22h	22h-23h	23h-24h	0h-1h	1h-2h	2h-3h	3h-4h	4h-5h	5h-6h
L _{Aeq} , mes = L _{Aeq} , base	48.7	56.6	55.1	54.6	53.5	52.7	51.2	48.6	48.6	47.6	49.3	51.1	51.9	50.6	53.9	55.2	54.1	53.5	53.8	52.6	52.2	52.3	51.0	51.3
QvL	297	752	1065	747	767	790	850	1022	1114	1242	1534	1677	1615	1228	713	526	344	262	188	141	101	96	96	119
QpL	460	504	479	496	448	479	516	509	487	469	458	436	366	307	284	251	221	212	241	194	255	316	328	396
Qeq, base = QvL + QpL.E	2137	2768	2981	2730	2560	2707	2914	3056	3061	3118	3366	3421	3079	2456	1849	1531	1227	1109	1153	917.9	1121	1359	1409	1702
Qeq, réf	2733	2733	2733	2733	2733	2733	2733	2733	2733	2733	2733	2733	2733	2733	2733	2733	1250	1250	1250	1250	1250	1250	1250	1250
Qeq, base / Qeq, réf	0.78	1.01	1.09	1.00	0.94	0.99	1.07	1.12	1.12	1.14	1.23	1.25	1.13	0.90	0.68	0.56	0.98	0.89	0.92	0.73	0.90	1.09	1.13	1.36
10.log(Qeq, base / Qeq, réf)	-1.07	0.06	0.38	-0.01	-0.28	-0.04	0.28	0.48	0.49	0.57	0.90	0.97	0.52	-0.46	-1.70	-2.52	-0.08	-0.52	-0.35	-1.34	-0.47	0.36	0.52	1.34
L _{Aeq} , réf	52.7	52.7	52.7	52.7	52.7	52.7	52.7	52.7	52.7	52.7	52.7	52.7	52.7	52.7	52.7	52.7	52.7	52.7	52.7	52.7	52.7	52.7	52.7	52.7
L _{Aeq} , calc = L _{Aeq} , réf + 10.log(Qeq, base / Qeq, réf)	51.6	52.7	53.0	52.6	52.4	52.6	52.9	53.1	53.1	53.2	53.6	53.6	53.2	52.2	51.0	50.1	52.6	52.2	52.4	51.4	52.3	53.1	53.2	54.1
valeur absolue L_{Aeq}, mes - L_{Aeq}, calc 	2.88	3.89	2.07	1.95	1.13	0.09	1.73	4.54	4.55	5.63	4.26	2.53	1.27	1.59	2.94	5.06	1.45	1.29	1.42	1.21	0.05	0.79	2.25	2.77

Validation des résultat - Point N°1 - Jour 18

Test temporel : continuité du signal

La continuité des niveaux sonores des intervalles élémentaires dans leur évolution temporelle a été vérifiée afin d'être représentatif du bruit du trafic routier

Test statistique : répartition "gaussienne" du bruit du au trafic routier

Périodes	6h-7h	7h-8h	8h-9h	9h-10h	10h-11h	11h-12h	12h-13h	13h-14h	14h-15h	15h-16h	16h-17h	17h-18h	18h-19h	19h-20h	20h-21h	21h-22h	22h-23h	23h-24h	0h-1h	1h-2h	2h-3h	3h-4h	4h-5h	5h-6h
L _{Aeq} base	51.6	50.0	51.9	52.8	53.1	52.8	51.7	50.7	46.5	48.5	49.2	52.4	51.4	50.1	48.9	48.1	47.2	47.0	47.2	46.4	47.4	47.1	47.0	46.9
L ₁₀	54.7	52.2	53.8	54.6	55.0	54.5	53.6	52.4	48.2	50.7	51.0	54.0	53.0	52.0	51.1	50.2	49.1	48.9	49.6	48.6	49.8	49.4	49.1	49.2
L ₅₀	50.6	49.6	51.4	52.2	52.6	52.0	51.2	50.2	48.1	48.0	48.7	52.0	50.9	49.6	48.1	47.3	46.5	46.5	46.3	45.6	46.3	46.2	46.3	46.1
L _{Aeq} , Gauss = $L_{50} + 0.07 \cdot (L_{10} - L_{50})^2$	51.78	50.07	51.80	52.60	53.00	52.44	51.60	50.54	46.41	48.51	49.07	52.28	51.21	50.00	48.73	47.89	46.97	46.90	47.06	46.23	47.16	46.92	46.85	46.77
d = L_{Aeq}, base - L_{Aeq}, Gauss	-0.18	-0.07	0.10	0.20	0.10	0.38	0.10	0.16	0.09	-0.01	0.13	0.12	0.19	0.10	0.17	0.21	0.23	0.10	0.14	0.17	0.24	0.18	0.15	0.13

Cohérence entre LAeq et trafic pour chaque intervalle de base

Périodes	6h-7h	7h-8h	8h-9h	9h-10h	10h-11h	11h-12h	12h-13h	13h-14h	14h-15h	15h-16h	16h-17h	17h-18h	18h-19h	19h-20h	20h-21h	21h-22h	22h-23h	23h-24h	0h-1h	1h-2h	2h-3h	3h-4h	4h-5h	5h-6h
L _{Aeq} , mes = L _{Aeq} , base	51.6	50.0	51.9	52.8	53.1	52.8	51.7	50.7	46.5	48.5	49.2	52.4	51.4	50.1	48.9	48.1	47.2	47.0	47.2	46.4	47.4	47.1	47.0	46.9
QvL	216	358	697	972	1241	1297	1058	973	1085	1052	928	1018	858	638	396	283	218	214	201	137	90	82	62	78
QpL	403	473	503	461	443	378	347	321	305	249	246	194	163	131	104	77	59	67	58	57	66	82	43	
Qeq, base = QvL + QpL.E	1829	2249	2590	2984	3085	3068	2569	2367	2273	2123	1923	2002	1633	1291	918.7	699.2	525.3	450.3	467.8	370.4	317.3	346.4	390	249.3
Qeq, réf	2115	2115	2115	2115	2115	2115	2115	2115	2115	2115	2115	2115	2115	2115	2115	2115	390	390	390	390	390	390	390	390
Qeq, base / Qeq, réf	0.86	1.06	1.22	1.41	1.46	1.45	1.21	1.12	1.12	1.07	0.91	0.95	0.77	0.61	0.43	0.33	1.35	1.16	1.20	0.95	0.81	0.89	1.00	0.64
10.log(Qeq, base / Qeq, réf)	-0.63	0.27	0.88	1.49	1.64	1.61	0.84	0.48	0.49	0.31	-0.41	-0.24	-1.12	-2.14	-3.62	-4.81	1.30	0.63	0.79	-0.22	-0.89	-0.51	0.00	-1.94
L _{Aeq} , réf	51.0	51.0	51.0	51.0	51.0	51.0	51.0	51.0	51.0	51.0	51.0	51.0	51.0	51.0	51.0	51.0	47.0	47.0	47.0	47.0	47.0	47.0	47.0	47.0
L _{Aeq} , calc = L _{Aeq} , réf + 10.log(Qeq, base / Qeq, réf)	50.4	51.2	51.9	52.5	52.6	52.6	51.8	51.5	51.5	51.3	50.6	50.7	49.9	48.8	47.4	46.2	48.3	47.7	47.8	46.8	46.1	46.5	47.0	45.1
valeur absolue L_{Aeq}, mes - L_{Aeq}, calc 	1.25	1.25	0.04	0.33	0.48	0.21	0.12	0.76	4.97	2.79	1.37	1.66	1.54	1.26	1.54	1.93	1.13	0.66	0.63	0.41	1.26	0.58	0.04	1.81

Validation des résultat - Point N°1 - Jour 19

Test temporel : continuité du signal

La continuité des niveaux sonores des intervalles élémentaires dans leur évolution temporelle a été vérifiée afin d'être représentatif du bruit du trafic routier

Test statistique : répartition "gaussienne" du bruit du au trafic routier

Périodes	6h-7h	7h-8h	8h-9h	9h-10h	10h-11h	11h-12h	12h-13h	13h-14h	14h-15h	15h-16h	16h-17h	17h-18h	18h-19h	19h-20h	20h-21h	21h-22h	22h-23h	23h-24h	0h-1h	1h-2h	2h-3h	3h-4h	4h-5h	5h-6h
L _{Aeq} base	48.6	47.9	47.0	48.6	48.9	49.4	47.5	47.6	47.9	48.9	47.5	50.0	48.9	46.8	45.5	45.8	47.1	46.4	46.7	47.1	47.8	48.8	50.7	51.7
L ₁₀	51.0	50.1	48.7	50.7	51.0	51.2	49.3	49.5	49.4	50.4	49.0	51.5	50.9	48.6	47.2	47.6	49.0	48.4	48.8	49.1	50.6	51.3	53.1	53.9
L ₅₀	47.9	47.0	46.3	47.9	48.3	48.9	46.9	47.1	47.5	48.4	47.1	49.5	48.4	46.4	45.0	45.3	46.2	45.7	45.8	46.3	46.9	48.1	49.9	51.1
L _{Aeq} , Gauss = $L_{50} + 0.07 \cdot (L_{10} - L_{50})^2$	48.57	47.67	46.70	48.45	48.81	49.27	47.30	47.50	47.75	48.68	47.35	49.78	48.84	46.74	45.34	45.67	46.75	46.21	46.43	46.85	48.82	50.62	51.65	
d = L_{Aeq}, base - L_{Aeq}, Gauss	0.03	0.23	0.30	0.15	0.09	0.13	0.20	0.10	0.15	0.22	0.15	0.22	0.06	0.06	0.16	0.13	0.35	0.19	0.27	0.25	-0.06	-0.02	0.08	0.05

Cohérence entre LAeq et trafic pour chaque intervalle de base

Périodes	6h-7h	7h-8h	8h-9h	9h-10h	10h-11h	11h-12h	12h-13h	13h-14h	14h-15h	15h-16h	16h-17h	17h-18h	18h-19h	19h-20h	20h-21h	21h-22h	22h-23h	23h-24h	0h-1h	1h-2h	2h-3h	3h-4h	4h-5h	5h-6h
L _{Aeq} , mes = L _{Aeq} , base	48.6	47.9	47.0	48.6	48.9	49.4	47.5	47.6	47.9	48.9	47.5	50.0	48.9	46.8	45.5	45.8	47.1	46.4	46.7	47.1	47.8	48.8	50.7	51.7
QvL	132	208	356	524	771	997	863	870	1050	1485	1711	1869	1540	1086	766	472	350	194	161	200	62	60	98	206
QpL	92	71	75	80	98	84	80	93	94	112	91	89	79	73	62	83	88	129	134	144	177	211	295	367
Qeq, base = QvL + QpL.E	500.1	492.8	656.1	845.1	1163	1332	1182	1242	1425	1934	2074	2224	1855	1379	1014	804.9	701.1	711.1	698.4	774.9	771	905.1	1278	1675
Qeq, réf	1258	1258	1258	1258	1258	1258	1258	1258	1258	1258	1258	1258	1258	1258	1258	1258	939	939	939	939	939	939	939	939
Qeq, base / Qeq, réf	0.40	0.39	0.52	0.67	0.92	1.06	0.94	0.99																

Validation des résultat - Point N°1 - Jour 21

Test temporel : continuité du signal

La continuité des niveaux sonores des intervalles élémentaires dans leur évolution temporelle a été vérifiée afin d'être représentatif du bruit du trafic routier

Test statistique : répartition "gaussienne" du bruit du au trafic routier

Périodes	6h-7h	7h-8h	8h-9h	9h-10h	10h-11h	11h-12h	12h-13h	13h-14h	14h-15h	15h-16h	16h-17h	17h-18h	18h-19h	19h-20h	20h-21h	21h-22h	22h-23h	23h-24h	0h-1h	1h-2h	2h-3h	3h-4h	4h-5h	5h-6h
L _{Aeq} base	53.0	55.1	54.5	53.5	52.3	51.4	51.9	51.7	51.4	51.2	52.2	53.0	53.3	53.0	50.3	49.5	49.9	49.2	47.7	47.5	47.8	48.6	49.4	50.0
L ₁₀	54.9	56.8	56.2	55.4	53.9	53.1	53.8	53.3	52.9	52.9	53.8	54.5	55.3	54.9	52.4	51.5	52.0	51.5	49.6	49.7	49.7	50.7	51.4	51.9
L ₅₀	52.6	54.4	54.1	53.0	51.8	50.9	51.4	51.2	50.9	50.8	51.8	52.6	52.7	52.5	49.7	49.0	49.2	48.5	47.2	46.8	47.4	48.0	48.9	49.6
L _{Aeq} Gauss = L ₅₀ +0.07*(L ₁₀ -L ₅₀) ²	52.97	54.80	54.41	53.40	52.11	51.24	51.80	51.51	51.18	51.11	52.08	52.85	53.17	52.90	50.21	49.44	49.75	49.13	47.60	47.39	47.77	48.51	49.34	49.97
d = L_{Aeq}base - L_{Aeq}Gauss	0.03	0.30	0.09	0.10	0.19	0.16	0.10	0.19	0.22	0.09	0.12	0.15	0.13	0.10	0.09	0.06	0.15	0.07	0.10	0.11	0.03	0.09	0.06	0.03

Cohérence entre LAeq et trafic pour chaque intervalle de base

Périodes	6h-7h	7h-8h	8h-9h	9h-10h	10h-11h	11h-12h	12h-13h	13h-14h	14h-15h	15h-16h	16h-17h	17h-18h	18h-19h	19h-20h	20h-21h	21h-22h	22h-23h	23h-24h	0h-1h	1h-2h	2h-3h	3h-4h	4h-5h	5h-6h
L _{Aeq} mes=L _{Aeq} base	53	55.1	54.5	53.5	52.3	51.4	51.9	51.7	51.4	51.2	52.2	53	53.3	53	50.3	49.5	49.9	49.2	47.7	47.5	47.8	48.6	49.4	50
QvL	385	1160	1613	1137	871	840	814	833	911	1020	1309	1525	1162	683	368	241	181	119	158	77	56	66	73	119
QpL	451	558	538	539	559	575	613	640	620	586	645	565	463	338	271	278	249	207	164	197	225	262	314	436
Q _{eq} base=QvL+QpL-E	2188	3392	3764	3294	3106	3141	3267	3394	3391	3365	3889	3785	3014	2035	1453	1352	1178	946.7	813.6	865.8	957.4	1113	1328	1864
Q _{eq} réf	2989	2989	2989	2989	2989	2989	2989	2989	2989	2989	2989	2989	2989	2989	2989	2989	1133	1133	1133	1133	1133	1133	1133	1133
Q _{eq} base/Q _{eq} réf	0.73	1.13	1.26	1.10	1.04	1.05	1.09	1.14	1.13	1.13	1.30	1.27	1.01	0.68	0.49	0.45	1.04	0.84	0.72	0.76	0.84	0.98	1.17	1.64
10.log(Q _{eq} base/Q _{eq} réf)	-1.35	0.55	1.00	0.42	0.17	0.22	0.39	0.55	0.55	0.51	1.14	1.02	0.04	-1.67	-3.13	-3.44	0.17	-0.78	-1.44	-1.17	-0.73	-0.08	0.69	2.16
L _{Aeq} réf	52.6	52.6	52.6	52.6	52.6	52.6	52.6	52.6	52.6	52.6	52.6	52.6	52.6	52.6	52.6	52.6	48.9	48.9	48.9	48.9	48.9	48.9	48.9	48.9
L _{Aeq} calc=L _{Aeq} réf+10.log(Q _{eq} base/Q _{eq} réf)	51.2	53.1	53.6	53.0	52.7	52.8	52.9	53.1	53.1	53.1	53.7	53.6	52.6	50.9	49.4	49.1	49.0	48.1	47.4	47.7	48.1	48.8	49.6	51.0
valeur absolue [L_{Aeq}mes-L_{Aeq}calc]	1.80	1.99	0.94	0.52	0.43	1.37	1.04	1.41	1.71	1.87	1.50	0.58	0.70	2.11	0.87	0.39	0.87	1.12	0.28	0.19	0.33	0.19	0.15	1.02

Validation des résultat - Point N°1 - Jour 22

Test temporel : continuité du signal

La continuité des niveaux sonores des intervalles élémentaires dans leur évolution temporelle a été vérifiée afin d'être représentatif du bruit du trafic routier

Test statistique : répartition "gaussienne" du bruit du au trafic routier

Périodes	6h-7h	7h-8h	8h-9h	9h-10h	10h-11h	11h-12h	12h-13h	13h-14h	14h-15h	15h-16h	16h-17h	17h-18h	18h-19h	19h-20h	20h-21h	21h-22h	22h-23h	23h-24h	0h-1h	1h-2h	2h-3h	3h-4h	4h-5h	5h-6h
L _{Aeq} base	52.8	54.4	54.6	53.8	53.5	53.6	53.1	53.3	53.6	53.5	54.3	55.5	56.0	55.9	54.2	53.9	52.7	52.9	51.7	50.4	50.6	52.1	52.4	53.0
L ₁₀	54.7	56.6	55.9	55.1	54.8	55.0	54.5	54.6	55.0	54.9	55.5	56.8	57.3	57.7	56.0	55.6	54.5	55.0	53.5	52.4	52.5	54.0	54.2	54.7
L ₅₀	52.2	54.1	54.3	53.5	53.2	53.3	52.8	53.0	53.3	53.1	54.0	55.3	55.7	55.4	53.8	53.4	52.2	52.3	51.4	49.8	50.1	51.7	52.0	52.6
L _{Aeq} Gauss = L ₅₀ +0.07*(L ₁₀ -L ₅₀) ²	52.64	54.26	54.48	53.68	53.38	53.50	53.00	53.18	53.50	53.33	54.16	55.46	55.88	55.77	54.14	53.74	52.57	52.81	51.71	50.27	50.50	52.07	52.34	52.91
d = L_{Aeq}base - L_{Aeq}Gauss	0.16	0.14	0.12	0.12	0.10	0.12	0.10	0.12	0.10	0.17	0.14	0.04	0.12	0.13	0.06	0.16	0.13	0.09	-0.01	0.13	0.10	0.03	0.06	0.09

Cohérence entre LAeq et trafic pour chaque intervalle de base

Périodes	6h-7h	7h-8h	8h-9h	9h-10h	10h-11h	11h-12h	12h-13h	13h-14h	14h-15h	15h-16h	16h-17h	17h-18h	18h-19h	19h-20h	20h-21h	21h-22h	22h-23h	23h-24h	0h-1h	1h-2h	2h-3h	3h-4h	4h-5h	5h-6h
L _{Aeq} mes=L _{Aeq} base	52.8	54.4	54.6	53.8	53.5	53.6	53.1	53.3	53.6	53.5	54.3	55.5	56.0	55.9	54.2	53.9	52.7	52.9	51.7	50.4	50.6	52.1	52.4	53.0
QvL	372	1076	1434	963	875	876	814	931	994	1136	1333	1473	1232	749	418	250	236	148	99	77	60	58	63	124
QpL	610	748	659	626	595	623	638	659	631	651	656	602	478	379	286	289	239	204	161	178	219	304	314	415
Q _{eq} base=QvL+QpL-E	2811	4068	4071	3467	3256	3367	3367	3566	3519	3741	3956	3880	3143	2265	1563	1405	1193	963.2	742.5	789.2	935.1	1274	1318	1784
Q _{eq} réf	3215	3215	3215	3215	3215	3215	3215	3215	3215	3215	3215	3215	3215	3215	3215	3215	1125	1125	1125	1125	1125	1125	1125	1125
Q _{eq} base/Q _{eq} réf	0.87	1.27	1.27	1.08	1.01	1.05	1.05	1.11	1.09	1.16	1.23	1.21	0.98	0.70	0.49	0.44	1.06	0.86	0.66	0.70	0.83	1.13	1.17	1.59
10.log(Q _{eq} base/Q _{eq} réf)	-0.58	1.02	1.02	0.33	0.05	0.20	0.20	0.45	0.39	0.66	0.90	0.82	-0.10	-1.52	-3.13	-3.60	0.26	-0.67	-1.80	-1.54	-0.80	0.54	0.69	2.00
L _{Aeq} réf	54.2	54.2	54.2	54.2	54.2	54.2	54.2	54.2	54.2	54.2	54.2	54.2	54.2	54.2	54.2	54.2	52.3	52.1	52.1	52.1	52.1	52.1	52.1	52.1
L _{Aeq} calc=L _{Aeq} réf+10.log(Q _{eq} base/Q _{eq} réf)	53.6	55.3	55.3	54.6	54.3	54.4	54.4	54.7	54.6	54.9	55.1	55.0	54.1	52.7	51.1	50.6	52.1	52.1	50.3	50.5	51.3	52.6	52.8	54.1
valeur absolue [L_{Aeq}mes-L_{Aeq}calc]	0.85	0.85	0.65	0.76	0.78	0.83	1.33	1.38	1.02	1.39	0.83	0.45	1.87	3.19	3.10	3.27	0.37	1.50	1.43	0.13	0.67	0.51	0.36	1.07

Validation des résultat - Point N°1 - Jour 23

Test temporel : continuité du signal

La continuité des niveaux sonores des intervalles élémentaires dans leur évolution temporelle a été vérifiée afin d'être représentatif du bruit du trafic routier

Test statistique : répartition "gaussienne" du bruit du au trafic routier

Périodes	6h-7h	7h-8h	8h-9h	9h-10h	10h-11h	11h-12h	12h-13h	13h-14h	14h-15h	15h-16h	16h-17h	17h-18h	18h-19h	19h-20h	20h-21h	21h-22h	22h-23h	23h-24h	0h-1h	1h-2h	2h-3h	3h-4h	4h-5h	5h-6h
L _{Aeq} base	54.3	56.8	56.7	55.4	55.2	54.8	54.0	54.2	54.4	52.7	51.3	52.7	52.9	51.9	52.8	51.1	47.6	48.2	49.0	51.8	54.8	54.1	53.0	54.8
L ₁₀	56.1	57.2	57.9	56.9	56.6	56.4	55.7	55.7	55.7	54.4	52.9	54.2	54.5	53.6	54.5	52.9	49.8	50.2	51.1	54.3	57.5	56.4	55.1	56.6
L ₅₀	54.0	56.6	56.5	55.1	54.9	54.3	53.4	53.8	54.1	52.3	50.6	52.3	52.4	51.5	52.2	50.6	46.8	47.5	48.2	50.6	53.4	53.2	52.1	54.3
L _{Aeq} Gauss = L ₅₀ +0.07*(L ₁₀ -L ₅₀) ²	54.31	55.78	56.64	55.33	55.10	54.61	53.77	54.05	54.28	52.61	50.97	52.55	52.71	51.81	52.57	50.97	47.43	48.01	48.79	51.56	54.58	53.92	52.73	54.67
d = L_{Aeq}base - L_{Aeq}Gauss	-0.01	0.02	0.06	0.07	0.10	0.19	0.23	0.15	0.12	0.09	0.33	0.15	0.19	0.09	0.23	0.13	0.17	0.19	0.21	0.24	0.22	0.18	0.27	0.13

Cohérence entre LAeq et trafic pour chaque intervalle de base

Périodes	6h-7h	7h-8h	8h-9h	9h-10h	10h-11h	11h-12h	12h-13h	13h-14h	14h-15h	15h-16h	16h-17h	17h-18h	18h-19h	19h-20h	20h-21h	21h-22h	22h-23h	23h-24h	0h-1h	1h-2h	2h-3h	3h-4h	4h-5h	5h-6h
L _{Aeq} mes=L _{Aeq} base	54.3	56.8	56.7	55.4	55.2	54.8	54	54.2	54.4	52.7	51.3	52.7	52.9	51.9	52.8	51.1	47.6	48.2	49.0	51.8	54.8	54.1	53.0	54.8
QvL	399	1142	1523	1102	840																			

Validation des résultat - Point N°1 - Jour 25																									
Test temporel : continuité du signal																									
La continuité des niveaux sonores des intervalles élémentaires dans leur évolution temporelle a été vérifiée afin d'être représentatif du bruit du trafic routier																									
Test statistique : répartition "gaussienne" du bruit du au trafic routier																									
Périodes	6h-7h	7h-8h	8h-9h	9h-10h	10h-11h	11h-12h	12h-13h	13h-14h	14h-15h	15h-16h	16h-17h	17h-18h	18h-19h	19h-20h	20h-21h	21h-22h	22h-23h	23h-24h	0h-1h	1h-2h	2h-3h	3h-4h	4h-5h	5h-6h	
L _{Aeq,base}	54.3	54.6	55.8	56.3	55.4	55.1	53.9	52.2	52.1	53.1	52.2	56.1	50.3	48.0	47.5	48.9	49.4	48.7	47.9	49.1	50.8	50.3	48.7	46.6	
Q _{VL}	56.2	56.5	57.6	57.6	56.8	56.7	56.0	54.3	54.4	55.2	53.9	58.1	52.2	49.5	48.6	50.6	50.9	50.6	49.9	51.3	53.2	52.5	51.0	48.7	
L ₁₀	53.8	54.2	55.4	56.0	55.1	54.8	53.3	51.8	51.4	52.7	51.9	55.8	48.8	46.1	45.7	46.9	47.3	47.3	46.9	47.9	48.3	48.1	46.5	43.2	
$L_{Aeq, Gauss} = L_{eq} + 0.07 \cdot (L_{10} - L_{90})^2$	54.20	54.57	55.74	56.18	55.30	55.05	53.81	52.24	52.03	53.14	52.18	56.17	49.61	46.91	46.29	47.86	48.21	48.06	47.53	48.71	49.98	49.46	47.92	45.32	
d = L _{Aeq,base} - L _{Aeq, Gauss}	0.10	0.03	0.06	0.12	0.10	0.05	0.09	-0.04	0.07	-0.04	0.02	-0.07	0.69	1.09	1.21	1.04	1.19	0.64	0.37	0.39	0.82	0.84	0.78	1.28	
Cohérence entre LAeq et trafic pour chaque intervalle de base																									
L _{Aeq,mes} =L _{Aeq,base}	54.3	54.6	55.8	56.3	55.4	55.1	53.9	52.2	52.1	53.1	52.2	56.1	50.3	48.0	47.5	48.9	49.4	48.7	47.9	49.1	50.8	50.3	48.7	46.6	
Q _{VL}	203	369	640	1028	1245	1284	1085	1033	1037	1039	1099	1205	1022	705	443	311	294	221	171	140	108	76	58	90	
Q _{PL}	371	371	420	449	400	406	362	317	310	228	189	226	185	183	169	100	91	76	55	68	66	74	93	79	
Q _{eq,base} =Q _{VL} +Q _{PL} E	1687	1854	2321	2825	2846	2907	2532	2301	2276	1951	1856	2109	1761	1437	1119	710.3	658.3	522.5	391.5	412.1	372.8	373.5	429.2	406.3	
Q _{eq,réf}	2031	2031	2031	2031	2031	2031	2031	2031	2031	2031	2031	2031	2031	2031	2031	2031	446	446	446	446	446	446	446	446	
Q _{eq,base} /Q _{eq,réf}	0.83	0.91	1.14	1.39	1.40	1.43	1.25	1.13	1.12	0.96	0.91	1.04	0.87	0.71	0.55	0.35	1.48	1.17	0.88	0.92	0.84	0.84	0.96	0.91	
10.log(Q _{eq,base} /Q _{eq,réf})	-0.81	-0.40	0.58	1.43	1.47	1.56	0.96	0.54	0.50	-0.17	-0.39	0.16	-0.62	-1.50	-2.59	-4.56	1.69	0.69	-0.56	-0.34	-0.78	-0.77	-0.16	-0.40	
L _{Aeq,réf}	53.6	53.6	53.6	53.6	53.6	53.6	53.6	53.6	53.6	53.6	53.6	53.6	53.6	53.6	53.6	53.6	49.1	49.1	49.1	49.1	49.1	49.1	49.1	49.1	
L _{Aeq,calc} =L _{Aeq,réf} +10.log(Q _{eq,base} /Q _{eq,réf})	52.8	53.2	54.2	55.1	55.1	55.2	54.6	54.2	54.1	53.5	53.2	53.8	53.0	52.1	51.0	49.1	50.8	49.8	48.5	48.8	48.3	48.3	48.9	48.7	
valeur absolue L _{Aeq,mes} -L _{Aeq,calc}	1.48	1.37	1.59	1.24	0.31	0.09	0.89	1.97	2.02	0.36	1.04	2.31	2.71	4.13	3.54	0.17	1.40	1.10	0.64	0.33	2.47	1.96	0.24	2.11	

Validation des résultat - Point N°1 - Jour 26																									
Test temporel : continuité du signal																									
La continuité des niveaux sonores des intervalles élémentaires dans leur évolution temporelle a été vérifiée afin d'être représentatif du bruit du trafic routier																									
Test statistique : répartition "gaussienne" du bruit du au trafic routier																									
Périodes	6h-7h	7h-8h	8h-9h	9h-10h	10h-11h	11h-12h	12h-13h	13h-14h	14h-15h	15h-16h	16h-17h	17h-18h	18h-19h	19h-20h	20h-21h	21h-22h	22h-23h	23h-24h	0h-1h	1h-2h	2h-3h	3h-4h	4h-5h	5h-6h	
L _{Aeq,base}	44.5	44.7	41.6	44.5	47.7	48.9	47.6	48.5	45.7	52.3	51.7	51.6	51.1	51.1	50.1	49.5	49.4	49.4	49.1	48.1	47.8	47.7	48.6	50.3	
Q _{VL}	133	200	399	562	862	1148	999	889	1187	1386	1778	2042	1687	1171	722	444	295	163	112	102	48	65	71	216	
Q _{PL}	68	75	84	75	80	86	84	83	93	113	88	89	82	86	68	53	116	134	161	142	165	220	242	345	
Q _{eq,base} =Q _{VL} +Q _{PL} E	404.7	500.2	734	862	1182	1492	1335	1222	1558	1837	2129	2398	2014	1516	993.8	655.9	759.7	699.3	756.9	668.6	706.8	946.2	1040	1597	
Q _{eq,réf}	1302	1302	1302	1302	1302	1302	1302	1302	1302	1302	1302	1302	1302	1302	1302	1302	897	897	897	897	897	897	897	897	
Q _{eq,base} /Q _{eq,réf}	0.31	0.38	0.56	0.66	0.91	1.15	1.03	0.94	1.20	1.41	1.64	1.84	1.55	1.16	0.76	0.50	0.85	0.78	0.84	0.75	0.79	1.06	1.16	1.78	
10.log(Q _{eq,base} /Q _{eq,réf})	-5.08	-4.16	-2.49	-1.79	-0.42	0.59	0.11	-0.27	0.78	1.49	2.14	2.65	1.89	0.66	-1.17	-2.98	-0.72	-1.08	-0.74	-1.28	-1.03	0.23	0.64	2.51	
L _{Aeq,réf}	49.1	49.1	49.1	49.1	49.1	49.1	49.1	49.1	49.1	49.1	49.1	49.1	49.1	49.1	49.1	49.1	48.9	48.9	48.9	48.9	48.9	48.9	48.9	48.9	
L _{Aeq,calc} =L _{Aeq,réf} +10.log(Q _{eq,base} /Q _{eq,réf})	44.1	45.0	46.7	47.4	48.7	49.7	49.3	48.9	49.9	50.6	51.3	51.8	51.0	49.8	48.0	46.2	48.2	47.8	48.1	47.6	47.9	49.1	49.5	51.4	
valeur absolue L _{Aeq,mes} -L _{Aeq,calc}	0.43	0.29	5.05	2.85	1.02	0.83	1.65	0.37	4.22	1.66	0.42	0.20	0.06	1.29	2.13	3.33	1.24	1.60	0.95	0.49	0.05	1.42	0.93	1.09	

Validation des résultat - Point N°1 - Jour 27																									
Test temporel : continuité du signal																									
La continuité des niveaux sonores des intervalles élémentaires dans leur évolution temporelle a été vérifiée afin d'être représentatif du bruit du trafic routier																									
Test statistique : répartition "gaussienne" du bruit du au trafic routier																									
Périodes	6h-7h	7h-8h	8h-9h	9h-10h	10h-11h	11h-12h	12h-13h	13h-14h	14h-15h	15h-16h	16h-17h	17h-18h	18h-19h	19h-20h	20h-21h	21h-22h	22h-23h	23h-24h	0h-1h	1h-2h	2h-3h	3h-4h	4h-5h	5h-6h	
L _{Aeq,base}	51.8	56.3	55.4	52.0	50.6	50.0	50.8	45.9	46.5	47.5	52.1	51.6	48.9	46.6	47.7	50.7	51.4	51.4	51.8	51.7	52.2	52.6	52.5	53.4	
Q _{VL}	53.6	58.1	57.1	53.6	52.4	52.2	53.2	48.1	49.1	51.1	53.8	53.8	50.9	49.4	50.9	52.9	53.5	54.0	54.6	54.3	54.5	54.9	54.7	55.7	
L ₁₀	51.4	55.8	55.3	51.7	50.1	49.3	50.4	45.1	45.5	47.5	51.7	51.2	48.4	45.0	46.2	50.0	50.9	50.5	50.7	50.6	51.4	51.7	52.0	52.8	
$L_{Aeq, Gauss} = L_{eq} + 0.07 \cdot (L_{10} - L_{90})^2$	51.74	56.17	55.53	51.95	50.47	49.89	50.95	45.73	46.41	47.65	52.01	51.67	48.84	46.36	47.75	50.59	51.37	51.36	51.76	51.56	52.07	52.42	52.51	53.39	
d = L _{Aeq,base} - L _{Aeq, Gauss}	0.06	0.13	-0.13	0.05	0.13	0.11	-0.15	0.17	0.09	-0.15	0.09	-0.07	0.06	0.24	-0.05	0.11	0.03	0.04	0.04	0.14	0.13	0.18	-0.01	0.01	
Cohérence entre LAeq et trafic pour chaque intervalle de base																									
L _{Aeq,mes} =L _{Aeq,base}	51.8	56.3	55.4	52.0	50.6	50.0	50.8	45.9	46.5	47.5	52.1	51.6	48.9	46.6	47.7	50.7	51.4	51.4	51.8	51.7	52.2	52.6	52.5	53.4	
Q _{VL}	556	1325	1574	1235	1131	1032	973	983	990	1086	1220	1347	1079	643	375	250	169	99	89	61.7	62.2	56.6	74	131	
Q _{PL}	423	454	419	380	405	433	449	495	478	511	484	499	451	362	299	227	198	185	171	186	202	251	249	386	
Q _{eq,base} =Q _{VL} +Q _{PL} E	2248	3141	3249	2754	2752	2765	2768	2963	2902	3131	3157	3343	2884	2092	1572	1157	961.7	838.5	772.8	809.1	869.7	1060	1071	1675	
Q _{eq,réf}	2680	2680	2680	2680	2680	2680	2680	2680	2680	2680	2680	2680	2680	2680	2680	2680	1007	1007	1007	1007	1007	1007	1007	1007	
Q _{eq,base} /Q _{eq,réf}	0.84	1.17	1.21	1.03	1.03	1.03	1.03	1.11	1.08	1.17	1.18	1.25	1.08	0.78	0.59	0.43	0.95	0.83	0.77	0.80	0.86	1.05	1.06	1.66	
10.log(Q _{eq,base} /Q _{eq,réf})	-0.76	0.69	0.84	0.12	0.12	0.14	0.14	0.44	0.35	0.68	0.71	0.96	0.32	-1.08	-2.32	-3.65	-0.20	-0.80	-1.15	-0.95	-0.64	0.22	0.27	2.21	
L _{Aeq,réf}	51.3	51.3	51.3	51.3	51.3	51.3	51.3	51.3	51.3	51.3	51.3	51.3	51.3	51.3	51.3	51.3	52.2	52.2	52.2	52.2	52.2	52.2	52.2	52.2	
L _{Aeq,calc} =L _{Aeq,réf} +10.log(Q _{eq,base} /Q _{eq,réf})	50.5	52.0	52.1	51.4	51.4	51.4	51.5	51.7	51.7	52.0	52.0	52.3	51.6	50.2	49.0	47.7	52.0	51.4	51.0	51.2	51.5	52.4	52.4	54.4	
valeur absolue L _{Aeq,mes} -L _{Aeq,calc}	1.25	4.30	3.25	0.57	0.83	1.45	0.65	5.85	5.16	4.49	0.08	0.67	2.73	3.64	1.30	3.04	0.57	0.02	0.78	0.48	0.66	0.20	0.06	0.98	

Validation des résultat - Point N°1 - Jour 29

Test temporel : continuité du signal

La continuité des niveaux sonores des intervalles élémentaires dans leur évolution temporelle a été vérifiée afin d'être représentatif du bruit du trafic routier

Test statistique : répartition "gaussienne" du bruit du au trafic routier

Périodes	6h-7h	7h-8h	8h-9h	9h-10h	10h-11h	11h-12h	12h-13h	13h-14h	14h-15h	15h-16h	16h-17h	17h-18h	18h-19h	19h-20h	20h-21h	21h-22h	22h-23h	23h-24h	0h-1h	1h-2h	2h-3h	3h-4h	4h-5h	5h-6h
L _{Aeq,base}	52.4	54.4	55.1	54.8	53.7	53.7	53.8	53.2	51.6	50.9	51.0	51.2	55.9	56.4	55.6	54.9	54.5	54.2	53.6	53.6	53.8	54.5	55.2	56.4
L ₁₀	54.3	55.9	56.6	56.3	55.3	55.5	55.4	54.8	53.4	52.5	52.6	52.9	57.7	58.3	57.7	57.2	57.2	56.9	56.3	56.5	56.3	56.4	57.4	58.4
L ₅₀	51.8	54.1	54.7	54.4	53.3	53.3	53.4	52.6	51.1	50.2	50.6	50.7	55.5	56.0	55.0	54.2	53.6	53.3	52.5	52.4	52.9	54.1	54.6	55.7
L _{Aeq,Gauss} = L ₁₀ +0.07*(L ₁₀ -L ₅₀) ²	52.24	54.33	54.95	54.65	53.58	53.64	53.68	52.94	51.47	50.57	50.88	51.04	55.84	56.37	55.51	54.83	54.51	54.21	53.51	53.58	53.71	54.47	55.15	56.21
d = L _{Aeq,base} - L _{Aeq,Gauss}	0.16	0.07	0.15	0.15	0.12	0.06	0.12	0.26	0.13	0.33	0.12	0.16	0.06	0.03	0.09	0.07	-0.01	-0.01	0.09	0.02	0.09	0.03	0.05	0.19

Cohérence entre LAeq et trafic pour chaque intervalle de base

Périodes	6h-7h	7h-8h	8h-9h	9h-10h	10h-11h	11h-12h	12h-13h	13h-14h	14h-15h	15h-16h	16h-17h	17h-18h	18h-19h	19h-20h	20h-21h	21h-22h	22h-23h	23h-24h	0h-1h	1h-2h	2h-3h	3h-4h	4h-5h	5h-6h
L _{Aeq,mes} =L _{Aeq,base}	52.4	54.4	55.1	54.8	53.7	53.7	53.8	53.2	51.6	50.9	51	51.2	55.9	56.4	55.6	54.9	54.5	54.2	53.6	53.6	53.8	54.5	55.2	56.4
Q _{vL}	339	1069	1432	1015	822	832	867	942	993	1065	1396	1542	1264	731	412	244	199	159	123	79	65	65	84	150
Q _{pL}	577	697	612	623	625	709	654	696	632	684	641	571	492	377	271	225	215	192	177	175	210	291	315	411
Q _{eq,base} =Q _{vL} +Q _{pL} -E	2647	3858	3881	3506	3323	3668	3483	3727	3522	3802	3959	3826	3233	2238	1496	1143	1059	926.9	831.2	777.9	905	1228	1344	1794
Q _{eq,réf}	3207	3207	3207	3207	3207	3207	3207	3207	3207	3207	3207	3207	3207	3207	3207	3207	1108	1108	1108	1108	1108	1108	1108	1108
Q _{eq,base} /Q _{eq,réf}	0.83	1.20	1.21	1.09	1.04	1.14	1.09	1.16	1.10	1.19	1.23	1.19	1.01	0.70	0.47	0.36	0.96	0.84	0.75	0.70	0.82	1.11	1.21	1.62
10.log(Q _{eq,base} /Q _{eq,réf})	-0.83	0.80	0.83	0.39	0.15	0.58	0.36	0.65	0.41	0.74	0.91	0.77	0.04	-1.56	-3.31	-4.48	-0.20	-0.78	-1.25	-1.54	-0.88	0.45	0.84	2.09
L _{Aeq,réf}	54.0	54.0	54.0	54.0	54.0	54.0	54.0	54.0	54.0	54.0	54.0	54.0	54.0	54.0	54.0	54.0	54.6	54.6	54.6	54.6	54.6	54.6	54.6	54.6
L _{Aeq,calc} =L _{Aeq,réf} +10.log(Q _{eq,base} /Q _{eq,réf})	53.2	54.8	54.8	54.4	54.2	54.6	54.4	54.6	54.4	54.7	54.9	54.8	54.0	52.4	50.7	49.5	54.4	53.8	53.3	53.0	53.7	55.0	55.4	56.7
valeur absolue L _{Aeq,mes} -L _{Aeq,calc}	0.76	0.40	0.28	0.42	0.45	0.88	0.55	1.45	2.80	3.84	3.91	3.56	1.87	3.97	4.92	5.38	0.13	0.40	0.28	0.56	0.11	0.52	0.21	0.26



Validation des résultat - Point N°2 - Jour 1

Test temporel : continuité du signal

La continuité des niveaux sonores des intervalles élémentaires dans leur évolution temporelle a été vérifiée afin d'être représentatif du bruit du trafic routier

Test statistique : répartition "gaussienne" du bruit du au trafic routier

Périodes	6h-7h	7h-8h	8h-9h	9h-10h	10h-11h	11h-12h	12h-13h	13h-14h	14h-15h	15h-16h	16h-17h	17h-18h	18h-19h	19h-20h	20h-21h	21h-22h	22h-23h	23h-24h	0h-1h	1h-2h	2h-3h	3h-4h	4h-5h	5h-6h
L _{Aeq,base}	54.7	57.0	57.2	56.6	56.9	57.0	56.9	55.6	56.7	57.2	57.3	57.5	56.5	55.5	53.3	52.4	50.9	50.5	49.2	50.0	50.2	51.8	53.5	55.1
L ₁₀	56.6	59.0	58.6	58.0	58.2	58.2	58.3	57.1	58.1	58.4	58.4	58.7	57.9	57.4	55.4	54.5	53.2	52.9	51.9	52.4	52.6	54.2	56.4	57.0
L ₅₀	54.3	56.4	56.9	56.3	56.6	56.7	56.5	55.4	56.4	56.9	57.0	57.2	56.2	55.0	52.6	51.9	50.3	49.9	48.5	49.5	49.6	51.1	53.2	54.7
L _{Aeq, Gauss} = L ₅₀ +0.07*(L ₁₀ -L ₅₀) ²	54.67	56.87	57.10	56.50	56.78	56.86	56.73	55.60	56.80	57.06	57.14	57.36	56.40	55.40	53.15	52.37	50.89	50.53	49.31	50.09	50.23	51.77	53.54	55.07
d = L _{Aeq,base} - L _{Aeq, Gauss}	0.03	0.13	0.10	0.10	0.12	0.14	0.17	0.00	0.10	0.14	0.16	0.14	0.10	0.10	0.15	0.03	0.01	-0.03	-0.11	-0.09	-0.03	0.03	-0.04	0.03

cohérence entre LAeq et trafic pour chaque intervalle de base

Périodes	6h-7h	7h-8h	8h-9h	9h-10h	10h-11h	11h-12h	12h-13h	13h-14h	14h-15h	15h-16h	16h-17h	17h-18h	18h-19h	19h-20h	20h-21h	21h-22h	22h-23h	23h-24h	0h-1h	1h-2h	2h-3h	3h-4h	4h-5h	5h-6h
L _{Aeq,mes} =L _{Aeq,base}	54.7	57	57.2	56.6	56.9	57	56.9	55.6	56.7	57.2	57.3	57.5	56.5	55.5	53.3	52.4	50.9	50.5	49.2	50	50.2	51.8	53.5	55.1
QvL	282	778	1073	871	736	816	756	761	861	936	1120	1264	1006	685	361	218	167	117	87	69	57	49	69	106
QpL	503	529	581	624	723	738	713	581	674	670	645	622	530	433	305	267	206	212	157	197	217	266	335	413
Ceqq,base=QvL+QpL-E	2293	2895	3397	3368	3627	3768	3609	3084	3557	3617	3700	3753	3127	2417	1580	1286	990.4	966.2	713.7	856.1	925.2	1113	1408	1757
Ceqq,réf	3067	3067	3067	3067	3067	3067	3067	3067	3067	3067	3067	3067	3067	3067	3067	3067	3067	3067	3067	3067	3067	3067	3067	3067
Ceqq,base/Ceqq,réf	0.75	0.94	1.11	1.10	1.18	1.23	1.18	1.01	1.16	1.18	1.21	1.22	1.02	0.79	0.51	0.42	0.91	0.89	0.65	0.78	0.85	1.02	1.29	1.61
10.log(Ceqq,base/Ceqq,réf)	-1.26	-0.25	0.44	0.41	0.73	0.89	0.71	0.02	0.64	0.72	0.81	0.88	0.08	-1.04	-2.88	-3.78	-0.42	-0.53	-1.84	-1.05	-0.72	0.08	1.11	2.07
L _{Aeq,réf}	56.3	58.3	56.3	56.3	56.3	56.3	56.3	56.3	56.3	56.3	56.3	56.3	56.3	56.3	56.3	56.3	51.8	51.8	51.8	51.8	51.8	51.8	51.8	51.8
L _{Aeq,calc} =L _{Aeq,réf} +10.log(Ceqq,base/Ceqq,réf)	55.1	56.1	56.8	56.8	57.1	57.2	57.1	56.4	57.0	57.1	57.2	57.2	56.4	55.3	53.5	52.6	51.4	51.3	50.0	50.8	51.1	51.9	52.9	53.9
valeur absolue [L _{Aeq,mes} -L _{Aeq,calc}]	0.39	0.90	0.41	0.16	0.18	0.24	0.16	0.77	0.29	0.13	0.14	0.27	0.07	0.19	0.17	0.17	0.52	0.61	0.80	0.79	0.92	0.12	0.55	1.19

Validation des résultat - Point N°2 - Jour 2

Test temporel : continuité du signal

La continuité des niveaux sonores des intervalles élémentaires dans leur évolution temporelle a été vérifiée afin d'être représentatif du bruit du trafic routier

Test statistique : répartition "gaussienne" du bruit du au trafic routier

Périodes	6h-7h	7h-8h	8h-9h	9h-10h	10h-11h	11h-12h	12h-13h	13h-14h	14h-15h	15h-16h	16h-17h	17h-18h	18h-19h	19h-20h	20h-21h	21h-22h	22h-23h	23h-24h	0h-1h	1h-2h	2h-3h	3h-4h	4h-5h	5h-6h
L _{Aeq,base}	55.1	56.7	56.9	55.8	56.0																			
L ₁₀	56.8	58.1	58.1	57.2	57.5																			
L ₅₀	54.8	56.5	56.7	55.5	55.6																			
L _{Aeq, Gauss} = L ₅₀ +0.07*(L ₁₀ -L ₅₀) ²	55.08	56.68	56.84	55.70	55.85																			
d = L _{Aeq,base} - L _{Aeq, Gauss}	0.02	0.02	0.06	0.10	0.15																			

cohérence entre LAeq et trafic pour chaque intervalle de base

Périodes	6h-7h	7h-8h	8h-9h	9h-10h	10h-11h	11h-12h	12h-13h	13h-14h	14h-15h	15h-16h	16h-17h	17h-18h	18h-19h	19h-20h	20h-21h	21h-22h	22h-23h	23h-24h	0h-1h	1h-2h	2h-3h	3h-4h	4h-5h	5h-6h
L _{Aeq,mes} =L _{Aeq,base}	55.1	56.7	56.9	55.8	56																			
QvL	361	973	1409	1058	794	811	851	936	1038	1176	1365	1460	1161	731	457	286	215	166	96	69	59	66	83	116
QpL	531	634	547	544	529	530	622	612	557	569	580	459	419	319	233	225	196	216	148	167	202	228	251	378
Ceqq,base=QvL+QpL-E	2485	3509	3597	3233	2911	2932	3340	3383	3265	3451	3686	3297	2836	2006	1388	1185	998.5	1029	687.7	735.9	867.6	979	1088	1629
Ceqq,réf	2906	2906	2906	2906	2906	2906	2906	2906	2906	2906	2906	2906	2906	2906	2906	2906	2906	2906	2906	2906	2906	2906	2906	2906
Ceqq,base/Ceqq,réf	0.85	1.21	1.24	1.11	1.00	1.01	1.15	1.16	1.12	1.19	1.27	1.13	0.98	0.69	0.48	0.41	1.00	1.03	0.69	0.73	0.87	0.98	1.09	1.63
10.log(Ceqq,base/Ceqq,réf)	-0.68	0.82	0.93	0.46	0.01	0.04	0.60	0.66	0.51	0.75	1.03	0.55	-0.11	-1.61	-3.21	-3.90	-0.01	0.12	-1.63	-1.34	-0.62	-0.10	0.36	2.11
L _{Aeq,réf}	52.9	52.9	52.9	52.9	52.9	52.9	52.9	52.9	52.9	52.9	52.9	52.9	52.9	52.9	52.9	52.9	39.5	39.5	39.5	39.5	39.5	39.5	39.5	39.5
L _{Aeq,calc} =L _{Aeq,réf} +10.log(Ceqq,base/Ceqq,réf)	52.2	53.7	53.8	53.3	52.9	52.9	53.5	53.5	53.4	53.6	53.9	53.4	52.8	51.3	49.7	49.0	39.5	39.5	37.9	38.2	39.4	39.4	39.4	41.7
valeur absolue [L _{Aeq,mes} -L _{Aeq,calc}]	2.91	3.01	3.10	2.46	3.12	#####	#####	#####	#####	9.62	6.21	5.12	5.87	5.56	7.96	7.68	0.17	1.96	2.41	2.30	0.32	0.66	0.50	1.55

Validation des résultat - Point N°2 - Jour 3

Test temporel : continuité du signal

La continuité des niveaux sonores des intervalles élémentaires dans leur évolution temporelle a été vérifiée afin d'être représentatif du bruit du trafic routier

Test statistique : répartition "gaussienne" du bruit du au trafic routier

Périodes	6h-7h	7h-8h	8h-9h	9h-10h	10h-11h	11h-12h	12h-13h	13h-14h	14h-15h	15h-16h	16h-17h	17h-18h	18h-19h	19h-20h	20h-21h	21h-22h	22h-23h	23h-24h	0h-1h	1h-2h	2h-3h	3h-4h	4h-5h	5h-6h
L _{Aeq,base}	44.6	47.8	48.2	48.0	49.2	47.8	49.3	47.6	46.4	46.7	48.2	48.6	48.9	48.9	47.0	46.7	44.6	44.4	43.3	43.0	43.4	43.6	44.2	44.9
L ₁₀	47.0	50.8	51.3	50.4	51.7	50.4	51.9	50.5	48.8	49.3	51.3	51.4	51.4	50.6	49.1	48.9	46.8	46.6	45.8	45.2	45.6	45.8	46.2	46.8
L ₅₀	42.6	45.8	46.2	46.7	47.6	46.3	47.8	45.6	45.0	44.9	46.3	47.3	47.4	47.8	46.1	45.5	43.1	43.3	42.1	41.9	42.6	42.5	43.2	43.8
L _{Aeq, Gauss} = L ₅₀ +0.07*(L ₁₀ -L ₅₀) ²	43.96	47.55	48.02	47.66	48.78	47.48	48.98	47.28	46.01	46.26	48.05	48.48	48.52	48.35	46.73	46.31	44.06	44.06	43.06	42.66	43.23	43.26	43.83	44.43
d = L _{Aeq,base} - L _{Aeq, Gauss}	0.64	0.25	0.18	0.34	0.42	0.32	0.32	0.39	0.44	0.15	0.12	0.38	0.55	0.27	0.39	0.54	0.34	0.24	0.34	0.17	0.34	0.37	0.47	0.47

cohérence entre LAeq et trafic pour chaque intervalle de base

Périodes	6h-7h	7h-8h	8h-9h	9h-10h	10h-11h	11h-12h	12h-13h	13h-14h	14h-15h	15h-16h	16h-17h	17h-18h	18h-19h	19h-20h	20h-21h	21h-22h	22h-23h	23h-24h	0h-1h	1h-2h	2h-3h	3h-4h	4h-5h	5h-6h	
L _{Aeq,mes} =L _{Aeq,base}	44.6	47.8	48.2	48	49.2	47.8	49.3	47.6	46.4	46.7	48.2	48.6	48.9	48.9	47	46.7	44.6	44.4	43.3	43.0	43.4	43.6	44.2	44.9	
QvL	306	787	1185	946	923	1030	1148	1143	1384	1511	1631	1901	1686	1250	757	464	354	252	186	113	88	74	88	108	
QpL	428	472	449	421	442	525	548	534	535	476	502	404	359	332	274	238	204	225	189	194	221	259	290	314	
Ceqq,base=QvL+QpL-E	2018	2676	2981	2629	2690	3130	3341	3280	3525	3415	3639	3516	3122	2579	1854	1416	1168	1151	943.3	887.9	972.6	1109	1248	1364	
Ceqq,réf	2863	2863	2863	2863	2863	2863	2863	2863	2863	2863	2863	2863	2863	2863	2863	2863	1106	1106	1106	1106	1106	1106	1106	1106	
Ceqq,base/Ceqq,réf	0.70	0.93	1.04	0.92	0.94	1.09	1.17	1.15	1.23	1.19	1.27	1.23	1.09	0.90	0.65	0.49	1.06	1.04	0.85	0.80	0.88	0.80	0.80	1.13	1.23
10.log(Ceqq,base/Ceqq,réf)	-1.52	-0.29	0.17	-0.37	-0.27	0.39	0.67	0.59	0.90	0.77	1.04	0.89	0.38	-0.4											

Validation des résultat - Point N°2 - Jour 5																								
Test temporel : continuité du signal																								
La continuité des niveaux sonores des intervalles élémentaires dans leur évolution temporelle a été vérifiée afin d'être représentatif du bruit du trafic routier																								
Test statistique : répartition "gaussienne" du bruit du au trafic routier																								
Périodes	6h-7h	7h-8h	8h-9h	9h-10h	10h-11h	11h-12h	12h-13h	13h-14h	14h-15h	15h-16h	16h-17h	17h-18h	18h-19h	19h-20h	20h-21h	21h-22h	22h-23h	23h-24h	0h-1h	1h-2h	2h-3h	3h-4h	4h-5h	5h-6h
L _{Aeq,base}	50.6	50.0	51.5	53.0	52.6	50.8	50.7	50.8	50.2	50.8	51.1	52.7	53.2	51.5	50.2	49.4	48.3	47.7	47.8	47.2	47.6	47.1	50.0	51.7
L ₁₀	52.3	51.7	53.8	54.8	54.3	52.4	52.0	52.6	52.0	52.3	52.5	54.3	54.8	52.9	51.9	51.3	50.5	50.0	50.4	49.7	50.4	49.8	52.3	53.9
L ₅₀	50.2	49.3	50.7	52.5	52.1	50.3	49.7	50.1	49.6	50.5	50.8	52.3	52.8	50.9	49.7	48.6	47.4	47.1	46.8	46.5	46.8	46.3	49.4	51.1
L _{Aeq,Gauss} = L ₁₀ +0.07*(L ₁₀ -L ₅₀) ²	50.51	49.70	51.37	52.87	52.44	50.61	50.07	50.54	50.00	50.73	51.00	52.58	53.08	51.18	50.04	49.11	48.07	47.69	47.71	47.22	47.71	47.16	49.99	51.65
d = L _{Aeq,base} - L _{Aeq,Gauss}	0.09	0.30	0.13	0.13	0.16	0.19	0.63	0.26	0.20	0.07	0.10	0.12	0.12	0.32	0.16	0.29	0.23	0.01	0.09	-0.02	-0.11	-0.06	0.01	0.05

Coherence entre LAeq et trafic pour chaque intervalle de base																								
Périodes	6h-7h	7h-8h	8h-9h	9h-10h	10h-11h	11h-12h	12h-13h	13h-14h	14h-15h	15h-16h	16h-17h	17h-18h	18h-19h	19h-20h	20h-21h	21h-22h	22h-23h	23h-24h	0h-1h	1h-2h	2h-3h	3h-4h	4h-5h	5h-6h
L _{Aeq,mes} =L _{Aeq,base}	50.6	50.0	51.5	53	52.6	50.8	50.7	50.8	50.2	50.8	51.1	52.7	53.2	51.5	50.2	49.4	48.3	47.7	47.8	47.2	47.6	47.1	50	51.7
QvL	118	207	337	433	750	997	824	788	1002	1348	1553	1664	1567	1095	667	524	293	179	110	63	47	47	75	187
QpL	69	52	64	88	72	99	84	102	110	115	111	71	77	63	52	63	104	130	134	156	155	170	266	312
Q _{eq,base} =Q _{vL} +Q _{pL} -E	393.9	414.3	592.8	783.8	1037	1392	1159	1141	1807	1997	1948	1876	1347	875.8	775.6	706.5	698.3	643.5	685.9	666.5	728.1	1140	1436	
Q _{eq,ref}	1190	1190	1190	1190	1190	1190	1190	1190	1190	1190	1190	1190	1190	1190	1190	1190	838	838	838	838	838	838	838	838
Q _{eq,base} /Q _{eq,ref}	0.33	0.35	0.50	0.66	0.87	1.17	0.97	1.00	1.21	1.52	1.68	1.64	1.58	1.13	0.74	0.65	0.84	0.83	0.77	0.82	0.80	0.87	1.36	1.71
10.log(Q _{eq,base} /Q _{eq,ref})	-4.80	-4.58	-3.03	-1.81	-0.60	0.68	-0.12	0.02	0.83	1.82	2.25	2.14	1.98	0.54	-1.33	-1.86	-0.74	-0.79	-1.15	-0.87	-1.00	-0.61	1.34	2.34
L _{Aeq,ref}	51.3	51.3	51.3	51.3	51.3	51.3	51.3	51.3	51.3	51.3	51.3	51.3	51.3	51.3	51.3	51.3	48.7	48.7	48.7	48.7	48.7	48.7	48.7	48.7
L _{Aeq,calc} =L _{Aeq,ref} +10.log(Q _{eq,base} /Q _{eq,ref})	46.5	46.8	48.3	49.5	50.7	52.0	51.2	51.4	52.2	53.2	53.6	53.5	53.3	51.9	50.0	49.5	48.0	47.9	47.6	47.9	47.7	48.1	50.1	51.1
valeur absolue L _{Aeq,mes} -L _{Aeq,calc}	4.06	3.24	3.19	3.47	1.86	1.22	0.52	0.56	1.97	2.35	2.49	0.78	0.12	0.38	0.19	0.08	0.32	0.23	0.23	0.65	0.13	1.01	0.06	0.64

Validation des résultat - Point N°2 - Jour 6																								
Test temporel : continuité du signal																								
La continuité des niveaux sonores des intervalles élémentaires dans leur évolution temporelle a été vérifiée afin d'être représentatif du bruit du trafic routier																								
Test statistique : répartition "gaussienne" du bruit du au trafic routier																								
Périodes	6h-7h	7h-8h	8h-9h	9h-10h	10h-11h	11h-12h	12h-13h	13h-14h	14h-15h	15h-16h	16h-17h	17h-18h	18h-19h	19h-20h	20h-21h	21h-22h	22h-23h	23h-24h	0h-1h	1h-2h	2h-3h	3h-4h	4h-5h	5h-6h
L _{Aeq,base}	53.6	55.4	55.5	54.7	54.6	54.4	56	57.3	56.7	57.2	57.5	57.0	55.2	54.1	53.3	53.0	51.3	51.5	51.8	48.5	49.6	50.6	51.6	52.8
L ₁₀	55.2	56.6	56.8	56.1	56.1	56.0	57.3	58.7	58.0	58.5	59.0	58.4	56.7	55.7	55.0	55.1	53.5	53.6	54.9	51.1	51.7	52.9	53.7	54.7
L ₅₀	53.2	55.1	55.3	54.4	54.3	54.0	55.7	57.0	56.6	56.9	57.0	56.7	54.9	53.6	52.9	51.9	50.9	50.6	50.4	47.8	48.0	50.1	51.0	52.4
L _{Aeq,Gauss} = L ₁₀ +0.07*(L ₁₀ -L ₅₀) ²	53.48	55.26	55.46	54.60	54.53	54.28	55.88	57.20	56.74	57.08	57.28	56.90	55.13	53.91	53.21	52.62	51.37	51.41	51.89	48.56	49.51	50.65	51.51	52.77
d = L _{Aeq,base} - L _{Aeq,Gauss}	0.12	0.14	0.04	0.10	0.07	0.12	0.10	-0.04	0.12	0.22	0.10	0.07	0.19	0.09	0.38	-0.07	0.09	-0.09	-0.06	0.09	-0.05	0.09	0.03	

Coherence entre LAeq et trafic pour chaque intervalle de base																								
Périodes	6h-7h	7h-8h	8h-9h	9h-10h	10h-11h	11h-12h	12h-13h	13h-14h	14h-15h	15h-16h	16h-17h	17h-18h	18h-19h	19h-20h	20h-21h	21h-22h	22h-23h	23h-24h	0h-1h	1h-2h	2h-3h	3h-4h	4h-5h	5h-6h
L _{Aeq,mes} =L _{Aeq,base}	53.6	55.4	55.5	54.7	54.6	54.4	56	57.3	56.7	57.2	57.5	57	55.2	54.1	53.3	53	51.3	51.5	51.8	48.5	49.6	50.6	51.6	52.8
QvL	536	1265	1539	1219	1050	1035	941	926	941	922	1066	1272	980	583	342	210	165	94	71	55	66	55	71	132
QpL	408	444	460	397	449	412	411	437	476	532	448	486	392	348	277	248	210	208	174	161	198	218	256	344
Q _{eq,base} =Q _{vL} +Q _{pL} -E	2167	3042	3379	2806	2847	2682	2586	2673	2845	3049	2857	3215	2549	1975	1450	1201	1005	926.2	768.3	698.6	858.4	926.2	1096	1507
Q _{eq,ref}	2583	2583	2583	2583	2583	2583	2583	2583	2583	2583	2583	2583	2583	2583	2583	2583	973	973	973	973	973	973	973	973
Q _{eq,base} /Q _{eq,ref}	0.84	1.18	1.31	1.09	1.10	1.04	1.00	1.03	1.10	1.18	1.11	1.24	0.99	0.76	0.56	0.47	1.03	0.95	0.79	0.72	0.88	0.95	1.13	1.55
10.log(Q _{eq,base} /Q _{eq,ref})	-0.76	0.71	1.17	0.36	0.42	0.16	0.01	0.15	0.42	0.72	0.44	0.95	-0.06	-1.16	-2.51	-3.32	0.14	-0.22	-1.03	-1.44	-0.55	-0.22	1.52	1.90
L _{Aeq,ref}	55.6	55.6	55.6	55.6	55.6	55.6	55.6	55.6	55.6	55.6	55.6	55.6	55.6	55.6	55.6	55.6	51.1	51.1	51.1	51.1	51.1	51.1	51.1	51.1
L _{Aeq,calc} =L _{Aeq,ref} +10.log(Q _{eq,base} /Q _{eq,ref})	54.8	56.3	56.7	55.9	56.0	55.7	55.6	55.7	56.0	56.3	56.0	56.5	55.5	54.4	53.1	52.3	51.3	50.9	50.1	49.7	50.6	50.9	51.7	53.0
valeur absolue L _{Aeq,mes} -L _{Aeq,calc}	1.22	0.89	1.25	1.24	1.40	1.34	0.41	1.57	0.70	0.90	1.48	0.47	0.32	0.32	0.23	0.74	0.02	0.58	1.69	1.20	0.99	0.32	0.05	0.24

Validation des résultat - Point N°2 - Jour 7																								
Test temporel : continuité du signal																								
La continuité des niveaux sonores des intervalles élémentaires dans leur évolution temporelle a été vérifiée afin d'être représentatif du bruit du trafic routier																								
Test statistique : répartition "gaussienne" du bruit du au trafic routier																								
Périodes	6h-7h	7h-8h	8h-9h	9h-10h	10h-11h	11h-12h	12h-13h	13h-14h	14h-15h	15h-16h	16h-17h	17h-18h	18h-19h	19h-20h	20h-21h	21h-22h	22h-23h	23h-24h	0h-1h	1h-2h	2h-3h	3h-4h	4h-5h	5h-6h
L _{Aeq,base}	54.4	55.1	56.3	55.2	53.3	53.3	53.1	53.4	54.1	54.5	55.2	56.0	55.2	53.5	51.9	51.5	50.7	49.7	48.8	48.9	50.1	50.0	51.2	52.2
L ₁₀	56.0	56.4	57.4	57.2	54.9	54.8	54.7	55.0	55.7	55.9	56.5	57.2	56.6	55.3	53.7	53.4	52.7	51.9	51.0	51.1	52.3	52.4	53.1	54.0
L ₅₀	54.1	54.6	56.1	54.4	52.9	52.9	52.4	53.1	53.7	54.3	54.9	55.7	54.9	52.8	51.5	51.0	50.1	49.3	48.3	48.3	49.6	49.4	50.7	51.9
L _{Aeq,Gauss} = L ₁₀ +0.07*(L ₁₀ -L ₅₀) ²	54.35	54.83	56.22	54.95	53.18	53.15	52.77	53.35	53.98	54.48	55.08	55.86	55.10	53.24	51.84	51.40	50.57	49.77	48.81	48.85	50.11	50.03	51.10	52.21
d = L _{Aeq,base} - L _{Aeq,Gauss}	0.05	0.27	0.08	0.25	0.12	0.15	0.33	0.05	0.12	0.02	0.12	0.14	0.10	0.26	0.06	0.10	0.13	-0.07	-0.01	0.05	-0.01	-0.03	0.10	-0.01

Coherence entre LAeq et trafic pour chaque intervalle de base																								
Périodes	6h-7h	7h-8h	8h-9h	9h-10h	10h-11h	11h-12h	12h-13h	13h-14h	14h-15h	15h-16h	16h-17h	17h-18h	18h-19h	19h-20h	20h-21h	21h-22h	22h-23h	23h-24h	0h-1h	1h-2h	2h-3h	3h-4h	4h-5h	5h-6h
L _{Aeq,mes} =L _{Aeq,base}	54.4	55.1	56.3	55.2	53.3	53.3	53.1	53.4	54.1	54.5	55.2	56	55.2	53.5	51.9	51.5	50.7	49.7	48.8	48.9	50.1	50	51.2	52.2
QvL	405	1100	1536	1074	851																			

Validation des résultat - Point N°2 - Jour 9

Test temporel : continuité du signal

La continuité des niveaux sonores des intervalles élémentaires dans leur évolution temporelle a été vérifiée afin d'être représentatif du bruit du trafic routier

Test statistique : répartition "gaussienne" du bruit du au trafic routier

Périodes	6h-7h	7h-8h	8h-9h	9h-10h	10h-11h	11h-12h	12h-13h	13h-14h	14h-15h	15h-16h	16h-17h	17h-18h	18h-19h	19h-20h	20h-21h	21h-22h	22h-23h	23h-24h	0h-1h	1h-2h	2h-3h	3h-4h	4h-5h	5h-6h
L _{Aeq,base}	52.3	53.9	53.3	52.4	51.5	49.5	48.4	47.0	47.7	49.5	51.0	53.6	52.8	53.3	51.9	51.1	50.2	49.8	48.1	48.1	47.8	50.0	50.0	50.1
L ₁₀	54.2	55.1	54.7	54.2	53.3	51.3	50.2	49.0	49.6	51.1	52.8	55.4	54.1	54.9	53.9	53.1	52.2	51.7	50.0	50.2	49.7	52.0	51.8	51.8
L ₅₀	51.8	53.4	52.9	51.7	50.9	48.7	46.0	46.2	47.3	48.4	50.4	53.1	52.5	52.7	51.3	50.4	49.5	49.1	47.6	47.5	47.3	49.6	49.7	49.7
L _{Aeq,Gauss} = L _{vq} +0.07.(L ₁₀ -L ₅₀) ²	52.20	53.60	53.13	52.14	51.30	49.17	47.23	46.75	47.67	48.91	50.80	53.47	52.68	53.04	51.77	50.91	50.01	49.57	48.00	48.01	47.70	50.00	50.01	50.01
d = L_{Aeq,base} - L_{Aeq,Gauss}	0.10	0.30	0.17	0.26	0.20	0.33	1.17	0.25	0.03	0.59	0.20	0.13	0.12	0.26	0.13	0.19	0.19	0.23	0.10	0.09	0.10	0.00	-0.01	0.09

Cohérence entre LAeq et trafic pour chaque intervalle de base

Périodes	6h-7h	7h-8h	8h-9h	9h-10h	10h-11h	11h-12h	12h-13h	13h-14h	14h-15h	15h-16h	16h-17h	17h-18h	18h-19h	19h-20h	20h-21h	21h-22h	22h-23h	23h-24h	0h-1h	1h-2h	2h-3h	3h-4h	4h-5h	5h-6h
L _{Aeq,mes} =L _{Aeq,base}	52.3	53.9	53.3	52.4	51.5	49.5	48.4	47.0	47.7	49.5	51.0	53.6	52.8	53.3	51.9	51.1	50.2	49.8	48.1	48.1	47.8	50.0	50.0	50.1
QvL	378	1054	1478	1022	823	737	553	660	803	776	993	1460	1229	775	484	314	269	196	163	90	79	88	89	143
QpL	502	542	532	551	546	513	269	291	339	325	287	606	423	391	268	231	181	183	165	178	238	283	370	449
Q _{eq,base} =QvL+QpL-E	2385	3221	3607	3225	3006	2788	1630	1825	2159	2076	2142	3885	2920	2340	1556	1238	994	926	822	801	931	1219	1570	1938
Q _{eq,réf}	2500	2500	2500	2500	2500	2500	2500	2500	2500	2500	2500	2500	2500	2500	2500	2500	1163	1163	1163	1163	1163	1163	1163	1163
Q _{eq,base} /Q _{eq,réf}	0.95	1.29	1.44	1.29	1.20	1.12	0.65	0.73	0.86	0.83	0.86	1.55	1.17	0.94	0.62	0.50	0.85	0.80	0.71	0.69	0.89	1.05	1.35	1.67
10.log(Q _{eq,base} /Q _{eq,réf})	-0.21	1.10	1.59	1.11	0.80	0.47	-1.86	-1.37	-0.64	-0.81	-0.67	1.91	0.67	-0.29	-2.06	-3.05	-0.68	-0.99	-1.51	-1.61	-0.52	0.20	1.30	2.22
L _{Aeq,réf}	51.7	51.7	51.7	51.7	51.7	51.7	51.7	51.7	51.7	51.7	51.7	51.7	51.7	51.7	51.7	51.7	49.4	49.4	49.4	49.4	49.4	49.4	49.4	49.4
L _{Aeq,calc} =L _{Aeq,réf} +10.log(Q _{eq,base} /Q _{eq,réf})	51.5	52.8	53.2	52.8	52.5	52.1	49.8	50.3	51.0	50.9	51.0	53.6	52.3	51.4	49.6	48.6	48.7	48.4	47.9	47.8	48.8	49.6	50.7	51.6
valeurs absolues [L _{Aeq,mes} -L _{Aeq,calc}]	0.85	1.14	0.05	0.36	0.96	2.63	1.40	3.29	3.32	1.35	0.01	0.03	0.47	1.93	2.30	2.50	1.51	1.42	0.24	0.34	1.05	0.43	0.67	1.49

Validation des résultat - Point N°2 - Jour 10

Test temporel : continuité du signal

La continuité des niveaux sonores des intervalles élémentaires dans leur évolution temporelle a été vérifiée afin d'être représentatif du bruit du trafic routier

Test statistique : répartition "gaussienne" du bruit du au trafic routier

Périodes	6h-7h	7h-8h	8h-9h	9h-10h	10h-11h	11h-12h	12h-13h	13h-14h	14h-15h	15h-16h	16h-17h	17h-18h	18h-19h	19h-20h	20h-21h	21h-22h	22h-23h	23h-24h	0h-1h	1h-2h	2h-3h	3h-4h	4h-5h	5h-6h
L _{Aeq,base}	51.1	54.3	54.4	53.8	53.3	54.0	53.7	54.9	55.6	55.8	53.3	51.2	50.5	44.3	48.3	44.4	45.6	45.6	46.7	46.3	46.5	47.8	49.9	49.9
L ₁₀	52.5	55.6	55.7	55.3	54.7	55.6	55.0	55.5	56.3	56.9	57.3	54.9	53.0	52.3	46.8	50.7	46.4	48.1	48.0	48.8	48.7	49.0	50.0	52.0
L ₅₀	50.8	53.9	54.1	53.4	52.9	53.5	53.2	53.3	54.6	55.3	55.5	52.9	50.6	49.2	42.3	47.4	42.5	44.3	44.7	45.8	45.2	45.7	47.2	49.3
L _{Aeq,Gauss} = L _{vq} +0.07.(L ₁₀ -L ₅₀) ²	51.00	54.10	54.28	53.65	53.13	53.81	53.43	53.64	54.80	55.48	55.73	53.18	51.00	49.87	43.72	48.16	43.56	45.31	45.46	46.43	46.06	46.46	47.75	49.81
d = L_{Aeq,base} - L_{Aeq,Gauss}	0.10	0.20	0.12	0.15	0.17	0.19	0.27	0.06	0.10	0.12	0.07	0.12	0.20	0.63	0.58	0.14	0.84	0.29	0.14	0.27	0.24	0.04	0.05	0.09

Cohérence entre LAeq et trafic pour chaque intervalle de base

Périodes	6h-7h	7h-8h	8h-9h	9h-10h	10h-11h	11h-12h	12h-13h	13h-14h	14h-15h	15h-16h	16h-17h	17h-18h	18h-19h	19h-20h	20h-21h	21h-22h	22h-23h	23h-24h	0h-1h	1h-2h	2h-3h	3h-4h	4h-5h	5h-6h
L _{Aeq,mes} =L _{Aeq,base}	51.1	54.3	54.4	53.8	53.3	54.0	53.7	54.9	55.6	55.8	53.3	51.2	50.5	44.3	48.3	44.4	45.6	45.6	46.7	46.3	46.5	47.8	49.9	49.9
QvL	320	852	1097	843	845	831	829	933	1121	1213	1484	1622	1519	1150	745	515	400	279	153	132	90	107	110	147
QpL	429	448	417	425	454	497	487	334	364	394	468	383	322	297	230	220	193	202	198	216	215	238	301	305
Q _{eq,base} =QvL+QpL-E	2035	2644	2764	2543	2660	2819	2777	2268	2577	2790	3357	3153	2806	2338	1664	1395	1171	1086	943	996	949	1058	1315	1366
Q _{eq,réf}	2537	2537	2537	2537	2537	2537	2537	2537	2537	2537	2537	2537	2537	2537	2537	2537	1111	1111	1111	1111	1111	1111	1111	1111
Q _{eq,base} /Q _{eq,réf}	0.80	1.04	1.09	1.00	1.05	1.11	1.09	0.89	1.02	1.10	1.32	1.24	1.11	0.92	0.66	0.55	1.05	0.98	0.85	0.90	0.85	0.95	1.18	1.23
10.log(Q _{eq,base} /Q _{eq,réf})	-0.96	0.18	0.37	0.01	0.21	0.46	0.39	-0.49	0.07	0.41	1.22	0.94	0.44	-0.35	-1.83	-2.60	0.23	-0.10	-0.71	-0.47	-0.68	-0.21	0.73	0.90
L _{Aeq,réf}	53.3	53.3	53.3	53.3	53.3	53.3	53.3	53.3	53.3	53.3	53.3	53.3	53.3	53.3	53.3	53.3	46.9	46.9	46.9	46.9	46.9	46.9	46.9	46.9
L _{Aeq,calc} =L _{Aeq,réf} +10.log(Q _{eq,base} /Q _{eq,réf})	52.4	53.5	53.7	53.4	53.5	53.8	53.7	52.9	53.4	53.8	54.6	54.3	53.8	53.0	51.5	50.7	47.1	46.8	46.2	46.4	46.2	46.7	47.6	47.8
valeurs absolues [L _{Aeq,mes} -L _{Aeq,calc}]	1.28	0.78	0.69	0.45	0.25	0.20	0.03	0.85	1.49	1.85	1.24	0.98	2.58	2.49	7.21	2.44	2.74	1.21	0.60	0.27	0.08	0.19	0.16	2.10

Validation des résultat - Point N°2 - Jour 11

Test temporel : continuité du signal

La continuité des niveaux sonores des intervalles élémentaires dans leur évolution temporelle a été vérifiée afin d'être représentatif du bruit du trafic routier

Test statistique : répartition "gaussienne" du bruit du au trafic routier

Périodes	6h-7h	7h-8h	8h-9h	9h-10h	10h-11h	11h-12h	12h-13h	13h-14h	14h-15h	15h-16h	16h-17h	17h-18h	18h-19h	19h-20h	20h-21h	21h-22h	22h-23h	23h-24h	0h-1h	1h-2h	2h-3h	3h-4h	4h-5h	5h-6h
L _{Aeq,base}	50.4	50.2	50.7	49.9	48.8	48.4	48.6	45.3	45.2	47.7	48.0	50.5	49.7	50.7	49.5	48.0	44.7	43.7	43.6	42.9	41.5	42.2	43.3	41.2
L ₁₀	52.5	51.9	52.6	51.8	50.5	50.9	51.3	48.2	47.8	51.5	51.2	52.4	51.3	52.3	51.3	49.9	46.3	45.3	45.4	45.5	43.1	44.1	45.1	43.4
L ₅₀	49.9	49.4	50.0	49.1	48.0	47.1	47.0	43.6	43.9	43.9	45.9	49.9	49.1	50.1	48.9	47.2	43.8	43.1	43.1	41.7	41.0	41.8	42.7	40.3
L _{Aeq,Gauss} = L _{vq} +0.07.(L ₁₀ -L ₅₀) ²	50.37	49.84	50.47	49.61	48.44	48.11	48.29	45.08	44.96	47.94	47.87	50.34	49.44	50.44	49.30	47.71	44.24	43.44	43.47	42.71	41.31	42.17	43.10	40.97
d = L_{Aeq,base} - L_{Aeq,Gauss}	0.03	0.36	0.23	0.29	0.36	0.29	0.31	0.22	0.24	-0.24	0.13	0.16	0.26	0.26	0.20	0.29	0.46	0.26	0.13	0.19	0.19	0.03	0.20	0.23

Cohérence entre LAeq et trafic pour chaque intervalle de base

Périodes	6h-7h	7h-8h	8h-9h	9h-10h	10h-11h	11h-12h	12h-13h	13h-14h	14h-15h	15h-16h	16h-17h	17h-18h	18h-19h	19h-20h	20h-21h	21h-22h	22h-23h	23h-24h	0h-1h	1h-2h	2h-3h	3h-4h	4h-5h	5h-6h
L _{Aeq,mes} =L _{Aeq,base}	50.4	50.2	50.7	49.9	48.8	48.4	48.6	45.3	45.2	47.7	48.0	50.5	49.7	50.7	49.5	48.0	44.7	43.7	43.6	42.9	41.5	42.2	43.3	41.2
QvL	204	320	711	930	1169	1322	1051	888	933	866	942	907	849	672	398	311	242	253	159	149	41	72	64	63
QpL	329	327	385	386	403	373	346	277	237	221	212	177												

Validation des résultat - Point N°2 - Jour 17																											
Test temporel : continuité du signal																											
La continuité des niveaux sonores des intervalles élémentaires dans leur évolution temporelle a été vérifiée afin d'être représentatif du bruit du trafic routier																											
Test statistique : répartition "gaussienne" du bruit du au trafic routier																											
Périodes	6h-7h	7h-8h	8h-9h	9h-10h	10h-11h	11h-12h	12h-13h	13h-14h	14h-15h	15h-16h	16h-17h	17h-18h	18h-19h	19h-20h	20h-21h	21h-22h	22h-23h	23h-24h	0h-1h	1h-2h	2h-3h	3h-4h	4h-5h	5h-6h			
L _{Aeq,base}	47.6	53.9	51.6	51.1	49.5	47.9	48.7	46.6	45.6	46.4	49.0	51.7	52.3	52.4	53.8	52.3	50.9	50.7	51.6	50.3	49.1	49.7	49.1	45.9			
L ₁₀	50.5	55.9	53.3	52.4	51.1	49.8	50.2	48.9	47.3	48.6	50.9	53.7	54.0	53.6	55.5	54.2	52.9	52.9	53.4	52.0	51.0	51.2	51.0	47.5			
L ₅₀	46.5	53.2	51.0	50.7	48.1	46.5	47.2	45.6	44.2	44.9	47.9	51.2	51.8	51.4	53.3	51.9	50.4	50.0	51.2	49.7	48.6	49.5	48.7	45.4			
L _{Aeq,Gauss} = L ₅₀ +0.07*(L ₁₀ -L ₅₀) ²	47.62	53.71	51.37	50.90	48.73	47.26	47.83	46.36	44.87	45.86	48.53	51.64	52.14	51.74	53.64	52.27	50.74	50.59	51.54	50.29	49.00	49.70	49.07	45.71			
d = L _{Aeq,base} - L _{Aeq,Gauss}	-0.02	0.19	0.23	0.20	0.77	0.64	0.87	0.24	0.73	0.54	0.47	0.06	0.16	0.66	0.16	0.03	0.16	0.11	0.06	0.01	0.10	0.00	0.03	0.19			
Cohérence entre LAeq et trafic pour chaque intervalle de base																											
Périodes	6h-7h	7h-8h	8h-9h	9h-10h	10h-11h	11h-12h	12h-13h	13h-14h	14h-15h	15h-16h	16h-17h	17h-18h	18h-19h	19h-20h	20h-21h	21h-22h	22h-23h	23h-24h	0h-1h	1h-2h	2h-3h	3h-4h	4h-5h	5h-6h			
L _{Aeq,mes} =L _{Aeq,base}	47.6	53.9	51.6	51.1	49.5	47.9	48.7	46.6	45.6	46.4	49	51.7	52.3	52.4	53.8	52.3	50.9	50.7	51.6	50.3	49.1	49.7	49.1	45.9			
Q _V L	297	752	1065	747	767	790	850	1022	1114	1242	1534	1677	1615	1228	713	526	344	262	188	141	101	96	96	119			
Q _P L	460	504	479	496	448	479	516	509	487	469	458	436	366	307	284	251	221	212	241	194	255	316	328	396			
Q _{eq,base} =Q _V L+Q _P L-E	2137	2768	2981	2730	2560	2707	2914	3056	3061	3118	3366	3421	3079	2468	1849	1531	1227	1109	1153	917.9	1121	1359	1409	1702			
Q _{eq,réf}	2733	2733	2733	2733	2733	2733	2733	2733	2733	2733	2733	2733	2733	2733	2733	2733	1250	1250	1250	1250	1250	1250	1250	1250			
Q _{eq,base} /Q _{eq,réf}	0.78	1.01	1.09	1.00	0.94	0.99	1.07	1.12	1.12	1.14	1.23	1.25	1.13	1.00	0.68	0.56	0.98	0.89	0.92	0.73	0.90	1.09	1.13	1.36			
10.log(Q _{eq,base} /Q _{eq,réf})	-1.07	0.06	0.38	-0.01	-0.28	-0.04	0.28	0.48	0.49	0.57	0.90	0.97	0.52	-0.46	-1.70	-2.52	-0.08	-0.52	-0.35	-1.34	-0.47	0.36	0.52	1.34			
L _{Aeq,réf}	50.8	50.8	50.8	50.8	50.8	50.8	50.8	50.8	50.8	50.8	50.8	50.8	50.8	50.8	50.8	50.8	49.9	49.9	49.9	49.9	49.9	49.9	49.9	49.9			
L _{Aeq,calc} =L _{Aeq,réf} +10.log(Q _{eq,base} /Q _{eq,réf})	49.7	50.8	51.1	50.8	50.5	50.7	51.0	51.2	51.3	51.3	51.7	51.7	51.3	50.3	49.1	48.2	49.8	49.4	49.6	48.6	49.5	50.3	50.5	51.3			
valeur absolue [L _{Aeq,mes} -L _{Aeq,calc}]	2.09	3.08	0.46	0.34	0.98	2.82	2.34	4.65	5.66	4.94	2.67	0.04	1.02	2.10	4.73	4.05	1.05	1.29	2.02	1.71	0.36	0.59	1.35	5.37			

Validation des résultat - Point N°2 - Jour 18																											
Test temporel : continuité du signal																											
La continuité des niveaux sonores des intervalles élémentaires dans leur évolution temporelle a été vérifiée afin d'être représentatif du bruit du trafic routier																											
Test statistique : répartition "gaussienne" du bruit du au trafic routier																											
Périodes	6h-7h	7h-8h	8h-9h	9h-10h	10h-11h	11h-12h	12h-13h	13h-14h	14h-15h	15h-16h	16h-17h	17h-18h	18h-19h	19h-20h	20h-21h	21h-22h	22h-23h	23h-24h	0h-1h	1h-2h	2h-3h	3h-4h	4h-5h	5h-6h			
L _{Aeq,base}	47.3	48.5	50.6	50.7	50.8	51.3	50.0	49.1	47.4	47.9	46.8	51.2	49.7	49.5	47.7	47.5	46.5	46.5	46.4	45.2	46.4	46.3	45.6	46.5			
L ₁₀	50.4	51.5	52.0	52.4	52.2	52.9	51.6	50.5	49.2	49.6	49.7	52.7	51.1	50.7	49.4	49.5	48.1	48.2	48.4	47.3	48.7	48.7	47.7	48.7			
L ₅₀	46.0	46.6	50.0	49.9	50.4	50.5	48.8	48.5	46.2	46.5	45.2	50.3	49.1	48.1	47.0	46.8	45.5	45.2	44.7	45.5	45.7	45.5	45.0	45.8			
L _{Aeq,Gauss} = L ₅₀ +0.07*(L ₁₀ -L ₅₀) ²	47.36	48.04	50.28	50.34	50.63	50.90	49.35	48.78	46.83	47.17	46.62	50.70	49.38	48.57	47.40	47.31	45.97	46.14	46.21	45.05	46.33	46.22	45.51	46.39			
d = L _{Aeq,base} - L _{Aeq,Gauss}	-0.06	0.46	0.32	0.36	0.17	0.40	0.65	0.32	0.57	0.73	0.18	0.50	0.32	0.93	0.30	0.19	0.53	0.36	0.19	0.15	0.07	0.08	0.09	0.11			
Cohérence entre LAeq et trafic pour chaque intervalle de base																											
Périodes	6h-7h	7h-8h	8h-9h	9h-10h	10h-11h	11h-12h	12h-13h	13h-14h	14h-15h	15h-16h	16h-17h	17h-18h	18h-19h	19h-20h	20h-21h	21h-22h	22h-23h	23h-24h	0h-1h	1h-2h	2h-3h	3h-4h	4h-5h	5h-6h			
L _{Aeq,mes} =L _{Aeq,base}	47.3	48.5	50.6	50.7	50.8	51.3	50	49.1	47.4	47.9	46.8	51.2	49.7	49.5	47.7	47.5	46.5	46.5	46.4	45.2	46.4	46.3	45.6	46.5			
Q _V L	216	358	697	972	1241	1297	1058	973	1085	1052	928	1018	858	638	396	283	218	214	201	137	90	82	62	78			
Q _P L	403	473	473	503	461	443	378	347	321	305	249	246	194	163	131	104	77	59	67	58	57	66	82	43			
Q _{eq,base} =Q _V L+Q _P L-E	1829	2249	2590	2984	3085	3068	2569	2367	2367	2273	1923	2002	1633	1291	918.7	699.2	525.3	450.3	467.8	370.4	317.3	346.4	390	249.3			
Q _{eq,réf}	2115	2115	2115	2115	2115	2115	2115	2115	2115	2115	2115	2115	2115	2115	2115	2115	390	390	390	390	390	390	390	390			
Q _{eq,base} /Q _{eq,réf}	0.86	1.06	1.22	1.41	1.46	1.45	1.21	1.12	1.12	1.07	0.91	0.95	0.77	0.61	0.43	0.33	1.35	1.16	1.20	0.95	0.81	0.89	1.00	1.64			
10.log(Q _{eq,base} /Q _{eq,réf})	-0.63	0.27	0.88	1.49	1.64	1.61	0.84	0.48	0.49	0.31	-0.41	-0.24	-1.12	-2.14	-3.62	-4.81	1.30	0.63	0.79	-0.22	-0.89	-0.51	0.00	-0.94			
L _{Aeq,réf}	49.4	49.4	49.4	49.4	49.4	49.4	49.4	49.4	49.4	49.4	49.4	49.4	49.4	49.4	49.4	49.4	46.2	46.2	46.2	46.2	46.2	46.2	46.2	46.2			
L _{Aeq,calc} =L _{Aeq,réf} +10.log(Q _{eq,base} /Q _{eq,réf})	48.7	49.6	50.3	50.9	51.0	51.0	50.2	49.9	49.9	49.9	49.0	49.1	48.3	47.2	45.8	44.6	47.5	46.8	47.0	46.0	45.3	45.7	46.2	44.3			
valeur absolue [L _{Aeq,mes} -L _{Aeq,calc}]	1.45	1.15	0.34	0.17	0.22	0.31	0.22	0.76	2.47	1.79	2.17	2.06	1.44	2.26	1.94	2.93	1.00	0.33	0.59	0.78	1.09	0.61	0.60	2.24			

Validation des résultat - Point N°2 - Jour 19																											
Test temporel : continuité du signal																											
La continuité des niveaux sonores des intervalles élémentaires dans leur évolution temporelle a été vérifiée afin d'être représentatif du bruit du trafic routier																											
Test statistique : répartition "gaussienne" du bruit du au trafic routier																											
Périodes	6h-7h	7h-8h	8h-9h	9h-10h	10h-11h	11h-12h	12h-13h	13h-14h	14h-15h	15h-16h	16h-17h	17h-18h	18h-19h	19h-20h	20h-21h	21h-22h	22h-23h	23h-24h	0h-1h	1h-2h	2h-3h	3h-4h	4h-5h	5h-6h			
L _{Aeq,base}	48.4	48.3	47.3	48.3	49.1	49.9	49.3	47.8	48.7	49.4	48.8	50.6	49.9	48.7	46.2	46.0	46.4	45.7	46.0	46.5	46.6	47.4	49.0	50.2			
L ₁₀	50.6	49.6	48.8	50.1	50.9	51.6	51.1	49.5	50.3	51.1	50.4	51.9	52.1	49.6	48.1	47.9	48.4	48.0	48.3	48.6	49.1	49.6	51.1	52.1			
L ₅₀	47.7	46.8	46.7	47.6	48.4	49.3	47.9	47.3	48.2	48.8	48.1	50.3	49.2	47.1	45.3	45.0	45.8	45.0	45.0	45.7	45.8	46.9	48.2	49.7			
L _{Aeq,Gauss} = L ₅₀ +0.07*(L ₁₀ -L ₅₀) ²	48.29	47.35	47.01	48.04	48.84	49.67	48.62	47.64	48.51	49.17	48.47	50.48	49.79	47.54	45.85	45.59	46.27	45.63	45.76	46.29	46.56	47.41	48.79	50.10			
d = L _{Aeq,base} - L _{Aeq,Gauss}	0.11	0.95	0.29	0.26	0.26	0.23	0.68	0.16	0.19	0.23	0.33	0.12	0.11	1.16	0.35	0.41	0.13	0.07	0.24	0.21	0.04	-0.01	0.21	0.10			
Cohérence entre LAeq et trafic pour chaque intervalle de base																											
Périodes	6h-7h	7h-8h	8h-9h	9h-10h	10h-11h	11h-12h	12h-13h	13h-14h	14h-15h	15h-16h	16h-17h	17h-18h	18h-19h	19h-20h	20h-21h	21h-22h	22h-23h	23h-24h	0h-1h	1h-2h	2h-3h	3h-4h	4h-5h	5h-6h			
L _{Aeq,mes} =L _{Aeq,base}	48.4	48.3	47.3	48.3	49.1	49.9	49.3	47.8	48.7	49.4	48.8	50.6	49.9	48.7	46.2	46	46.4	45.7	46	46.5	46.6	47.4	49	50.2			
Q _V L	132	208	356	524	771	997	863	870	1050	1485	1711	1869	1540	1086	766	472	350	194	161	200	62	60	98	206			
Q _P L	92	71	75	80	98	84	80	93	94	112	91	89	79	73	62	83	88	129	134	144	177	211	295	367			
Q _{eq,base} =Q _V L+Q _P L-E	500.1	492.8	656.1	845.1	1163	1332	1182	1242	1425	1934	2074	2224	1855	1379	1014	804.9	701.1	711.1	698.4	774.9	771	905.1	1278	1675			
Q _{eq,réf}	1258	1258	1258	1258	1258	1258	1258	1258	1258	1258	1258	1258	1258	1258	1258	1258	939	939	939	939	939	939	939	939			
Q _{eq,base} /Q _{eq,réf}	0.40	0.39	0.52	0.67	0.92	1.06	0.94	0.99	1.13	1.54	1.65	1.77	1.47	1.10	0.81	0.64	0.75	0.7									

Validation des résultat - Point N°2 - Jour 21																													
Test temporel : continuité du signal																													
La continuité des niveaux sonores des intervalles élémentaires dans leur évolution temporelle a été vérifiée afin d'être représentatif du bruit du trafic routier																													
Test statistique : répartition "gaussienne" du bruit du au trafic routier																													
Périodes	6h-7h	7h-8h	8h-9h	9h-10h	10h-11h	11h-12h	12h-13h	13h-14h	14h-15h	15h-16h	16h-17h	17h-18h	18h-19h	19h-20h	20h-21h	21h-22h	22h-23h	23h-24h	0h-1h	1h-2h	2h-3h	3h-4h	4h-5h	5h-6h					
L _{Aeq} base	52.2	54.5	53.5	52.8	52.2	52.2	52.5	52.6	52.8	52.8	53.7	54.2	54.3	53.0	51.0	50.4	50.3	49.0	48.0	47.6	48.2	49.0	49.5	50.8					
L ₁₀	53.9	56.0	54.9	54.5	53.9	53.8	54.3	54.0	54.3	54.4	55.3	55.6	55.9	54.5	52.8	52.4	52.3	51.3	50.1	49.6	50.4	51.1	51.5	52.7					
L ₅₀	51.9	53.9	53.2	52.4	51.7	51.8	52.0	52.3	52.5	52.4	53.4	54.0	54.0	52.7	50.4	49.9	49.7	48.5	47.4	47.1	47.7	48.6	49.0	50.3					
L _{Aeq} Gauss = L _{eq} +0.07*(L ₁₀ -L ₅₀) ²	52.18	54.21	53.40	52.71	52.04	52.08	52.37	52.50	52.73	52.68	53.65	54.18	54.25	52.93	50.80	50.34	50.17	49.05	47.91	47.61	48.21	49.04	49.44	50.70					
d = L_{Aeq}base - L_{Aeq}Gauss	0.02	0.29	0.10	0.09	0.16	0.12	0.13	0.10	0.07	0.12	0.05	0.02	0.05	0.07	0.20	0.06	0.13	-0.05	0.09	-0.01	-0.01	-0.04	0.06	0.10					

Validation des résultat - Point N°2 - Jour 22																													
Test temporel : continuité du signal																													
La continuité des niveaux sonores des intervalles élémentaires dans leur évolution temporelle a été vérifiée afin d'être représentatif du bruit du trafic routier																													
Test statistique : répartition "gaussienne" du bruit du au trafic routier																													
Périodes	6h-7h	7h-8h	8h-9h	9h-10h	10h-11h	11h-12h	12h-13h	13h-14h	14h-15h	15h-16h	16h-17h	17h-18h	18h-19h	19h-20h	20h-21h	21h-22h	22h-23h	23h-24h	0h-1h	1h-2h	2h-3h	3h-4h	4h-5h	5h-6h					
L _{Aeq} mes=L _{Aeq} base	52.2	54.5	53.5	52.8	52.2	52.2	52.5	52.6	52.8	52.8	53.7	54.2	54.3	53	51	50.4	50.3	49	48	47.6	48.2	49	49.5	50.8					
QvL	385	1160	1613	1137	871	840	814	833	911	1020	1309	1525	1162	683	368	241	181	119	158	77	56	66	73	119					
QpL	451	558	538	539	559	575	613	640	620	586	645	565	463	338	271	278	249	207	164	197	225	262	314	436					
Qeq,base=QvL+QpL-E	2188	3392	3764	3294	3106	3141	3267	3394	3391	3365	3889	3785	3014	2035	1453	1352	1178	946.7	813.6	865.8	957.4	1113	1328	1864					
Qeq,réf	2989	2989	2989	2989	2989	2989	2989	2989	2989	2989	2989	2989	2989	2989	2989	2989	1133	1133	1133	1133	1133	1133	1133	1133					
Qeq,base/Qeq,réf	0.73	1.13	1.26	1.10	1.04	1.05	1.09	1.14	1.13	1.13	1.30	1.27	1.01	0.68	0.49	0.45	1.04	0.84	0.72	0.76	0.84	0.98	1.17	1.64					
10.log(Qeq,base/Qeq,réf)	-1.35	0.55	1.00	0.42	0.17	0.22	0.39	0.55	0.55	0.51	1.14	1.02	0.04	-1.67	-3.13	-3.44	0.17	-0.78	-1.44	-1.17	-0.73	-0.08	0.69	2.16					
L _{Aeq} réf	52.9	52.9	52.9	52.9	52.9	52.9	52.9	52.9	52.9	52.9	52.9	52.9	52.9	52.9	52.9	52.9	49.2	49.2	49.2	49.2	49.2	49.2	49.2	49.2					
L _{Aeq} calc=L _{Aeq} réf+10.log(Qeq,base/Qeq,réf)	51.6	53.5	53.9	53.3	53.1	53.1	53.3	53.5	53.5	53.4	54.1	53.9	53.0	51.3	49.8	49.5	49.3	48.4	47.7	48.0	48.4	49.1	49.9	51.3					
valeur absolue [L _{Aeq} mes-L _{Aeq} calc]	0.63	1.03	0.42	0.55	0.89	0.94	0.81	0.87	0.67	0.64	0.37	0.25	1.34	1.75	1.21	0.92	0.95	0.60	0.26	0.41	0.25	0.10	0.37	0.54					

Validation des résultat - Point N°2 - Jour 23																													
Test temporel : continuité du signal																													
La continuité des niveaux sonores des intervalles élémentaires dans leur évolution temporelle a été vérifiée afin d'être représentatif du bruit du trafic routier																													
Test statistique : répartition "gaussienne" du bruit du au trafic routier																													
Périodes	6h-7h	7h-8h	8h-9h	9h-10h	10h-11h	11h-12h	12h-13h	13h-14h	14h-15h	15h-16h	16h-17h	17h-18h	18h-19h	19h-20h	20h-21h	21h-22h	22h-23h	23h-24h	0h-1h	1h-2h	2h-3h	3h-4h	4h-5h	5h-6h					
L _{Aeq} base	55.1	56.8	57.3	56.2	55.7	55.1	54.4	54.3	54.5	53.8	53.1	54.3	54.1	53.2	52.6	51.5	49.1	49.1	48.8	50.7	53.8	53.2	52.7	53.5					
L ₁₀	56.7	58.0	58.6	57.5	57.0	56.4	55.9	55.7	55.8	55.2	54.7	55.6	55.5	54.7	54.3	53.2	51.2	51.0	51.0	52.8	56.2	55.3	54.6	55.7					
L ₅₀	54.8	56.5	57.1	55.9	55.5	54.8	54.1	53.9	54.2	53.5	52.8	54.0	53.8	52.6	52.1	51.0	48.5	48.5	48.1	50.2	52.7	52.5	52.1	53.3					
L _{Aeq} Gauss = L _{eq} +0.07*(L ₁₀ -L ₅₀) ²	55.05	56.66	57.26	56.08	55.66	54.98	54.33	54.13	54.38	53.70	53.05	54.18	54.00	52.91	52.44	51.34	49.01	48.94	48.69	50.67	53.56	53.05	52.54	53.58					
d = L_{Aeq}base - L_{Aeq}Gauss	0.05	0.14	0.04	0.12	0.04	0.12	0.07	0.17	0.12	0.10	0.05	0.12	0.10	0.29	0.16	0.16	0.09	0.16	0.11	0.03	0.24	0.15	0.16	0.12					

Validation des résultat - Point N°2 - Jour 24																													
Test temporel : continuité du signal																													
La continuité des niveaux sonores des intervalles élémentaires dans leur évolution temporelle a été vérifiée afin d'être représentatif du bruit du trafic routier																													
Test statistique : répartition "gaussienne" du bruit du au trafic routier																													
Périodes	6h-7h	7h-8h	8h-9h	9h-10h	10h-11h	11h-12h	12h-13h	13h-14h	14h-15h	15h-16h	16h-17h	17h-18h	18h-19h	19h-20h	20h-21h	21h-22h	22h-23h	23h-24h	0h-1h	1h-2h	2h-3h	3h-4h	4h-5h	5h-6h					
L _{Aeq} base	54.4	55.4	56.2	55.5	55.3	54	53.6	54.4	55.9	56.3	56.6	55.9	55.3	54.9	52.4	50.2	49.8	49	49.7	49.4	48.5	48.5	47.1	46.9					
L ₁₀	55.9	56.7	57.4	56.9	56.6	56.6	56.2	55.8	57.4	57.6	57.8	57.2	56.4	56.3	53.7	52.4	51.4	50.7	51.7	51.4	50.6	51.2	49.6	49.8					
L ₅₀	54.0	55.1	56.0	55.3	54.9	53.6	53.1	54.0	55.7	56.1	56.4	55.7	55.1	54.4	52.0	49.8	49.3	48.8	49.3	49.8	47.8	47.7	46.3	45.6					
L _{Aeq} Gauss = L _{eq} +0.07*(L ₁₀ -L ₅₀) ²	54.25	55.28	56.14	55.48	55.10	53.88	53.41	54.23	55.90	56.26	56.54	55.86	55.22	54.65	52.20	50.27	49.61	49.05	49.70	49.34	48.35	48.56	47.06	46.83					
d = L_{Aeq}base - L_{Aeq}Gauss	0.15	0.12	0.06	0.02	0.20	0.12	0.19	0.17	0.00	0.04	0.06	0.04	0.08	0.25	0.20	-0.07	0.19	-0.05	0.00	0.06	0.15	-0.06	0.04	0.07					

Validation des résultat - Point N°2 - Jour 24																													
Test temporel : continuité du signal																													
La continuité des niveaux sonores des intervalles élémentaires dans leur évolution temporelle a été vérifiée afin d'être représentatif du bruit du trafic routier																													
Test statistique : répartition "gaussienne" du bruit du au trafic routier																													
Périodes	6h-7h	7h-8h	8h-9h	9h-10h	10h-11h	11h-12h	12h-13h	13h-14h	14h-15h	15h-16h	16h-17h	17h-18h	18h-19h	19h-20h	20h-21h	21h-22h	22h-23h	23h-24h	0h-1h	1h-2h	2h-3h	3h-4h	4h-5h	5h-6h					
L _{Aeq} mes=L _{Aeq} base	54.4	55.4	56.2	55.5	55.3	54	53.6	54.4	55.9	56.3	56.6	55.9	55.3	54.9	52.4	50.2	49.8	49	49.7	49.4	48.5	48.5	47.1	46.9					
QvL	332	930	1263	914	955	1128	1193	1290	1254	1518	1808	1943	1791	1394	878	446	309	439	216	159	110	88	121	124					
QpL	451	462	478	490	491	529	545	511	323	442	466	441	341	316	273	194	122	365	182	188	236	256	286	288					
Qeq,base=QvL+QpL-E	2137	2777	3176	2874	2919	3244	3373	3334	2545	3285	3672	3708	3156	2657	1968	1220	796.3	1900	944.8	911.6	1054	1113	1264	1277					
Qeq,réf	2878	2878	2878	2878	2878	2878	2878	2878	2878	2878	2878	2878	2878	2878	2878	2878	1158	1158	1158	1158	1158	1158	1158	1158					
Qeq,base/Qeq,réf	0.74	0.97	1.10	1.00	1.01	1.13	1.17	1.16	0.88	1.14	1.28	1.29	1.10	0.92	0.68	0.42	0.69	1.64	1.82	1.79	0.91	0.96	1.09	1.10					
10.log(Qeq,base/Qeq,réf)	-1.29	-0.15	0.43	-0.01	0.06	0.52	0.69	0.64	-0.53	0.57	1.06	1.10	0.40	-0.35	-1.65	-3.73	-1.62	2.15	-0.88	-1.04	-0.41	-0.17	0.38	0.43					
L _{Aeq} réf	53.0	54.0	55.0	55.0	55.0	55.0	55.0	55.0	55.0	55.0	55.0	55.0	55.0	55.0	55.0	55.0	48.7	48.7	48.7	48.7	48.7	48.7	48.7	48.7					
L _{Aeq} calc=L _{Aeq} réf+10.log(Qeq,base/Qeq,réf)	55.7	54.9	55.4	55.0	55.1	55.5	55.7	55.7	54.5	55.5	56.6	56.1	55.1	54.4	51.3	51.3	47.1	50.9	47.8	47.7	48.3	48.6	49.1	49.2					
valeur absolue [L _{Aeq} mes-L _{Aeq} calc]	0.68	0.54	0.76	0.49	0.22	1.53	2.10	1.25	1.42	0.71	0.53	0.22	0.11	0.23	0.96	1.09	2.69	1.88	1.85	1.71	0.18	0.06	2.01	2.26					



Validation des résultat - Point N°2 - Jour 29

Test temporel : continuité du signal

La continuité des niveaux sonores des intervalles élémentaires dans leur évolution temporelle a été vérifiée afin d'être représentatif du bruit du trafic routier

Test statistique : répartition "gaussienne" du bruit du au trafic routier

Périodes	6h-7h	7h-8h	8h-9h	9h-10h	10h-11h	11h-12h	12h-13h	13h-14h	14h-15h	15h-16h	16h-17h	17h-18h	18h-19h	19h-20h	20h-21h	21h-22h	22h-23h	23h-24h	0h-1h	1h-2h	2h-3h	3h-4h	4h-5h	5h-6h
L _{Aeq,base}	52.8	54.4	54.5	53.0	51.7	52.3	52.8	52.9	52.4	51.9	52.2	52.1	54.3	54.5	53.5	52.3	51.7	51.4	50.6	50.3	50.7	51.7	51.7	53.1
L ₁₀	54.4	55.6	55.7	54.6	53.0	53.8	54.5	54.4	54.0	53.3	53.6	53.7	55.6	56.1	55.0	53.9	53.4	53.0	52.1	51.9	52.1	52.9	53.1	54.8
L ₅₀	52.6	54.0	54.2	52.7	51.2	52.0	52.2	52.6	52.0	51.5	51.9	51.7	54.1	53.7	53.1	51.9	51.3	51.1	50.4	50.0	50.3	51.4	51.4	52.8
L _{Aeq,Gauss} = L ₁₀ +0.07/(L ₁₀ -L ₅₀) ²	52.83	54.18	54.36	52.95	51.43	52.23	52.57	52.83	52.28	51.73	52.10	51.98	54.26	54.10	53.35	52.18	51.61	51.35	50.60	50.25	50.53	51.56	51.60	53.08
d = L _{Aeq,base} - L _{Aeq,Gauss}	-0.03	0.22	0.14	0.05	0.27	0.07	0.23	0.07	0.12	0.17	0.10	0.12	0.04	0.40	0.15	0.12	0.09	0.05	0.00	0.05	0.17	0.14	0.10	0.02

Cohérence entre LAeq et trafic pour chaque intervalle de base

Périodes	6h-7h	7h-8h	8h-9h	9h-10h	10h-11h	11h-12h	12h-13h	13h-14h	14h-15h	15h-16h	16h-17h	17h-18h	18h-19h	19h-20h	20h-21h	21h-22h	22h-23h	23h-24h	0h-1h	1h-2h	2h-3h	3h-4h	4h-5h	5h-6h
L _{Aeq,mes} =L _{Aeq,base}	52.8	54.4	54.5	53	51.7	52.3	52.8	52.9	52.4	51.9	52.2	52.1	54.3	54.5	53.5	52.3	51.7	51.4	50.6	50.3	50.7	51.7	51.7	53.1
Q _{vL}	339	1069	1432	1015	822	832	867	942	993	1065	1396	1542	1264	731	412	244	199	159	123	79	65	65	84	150
Q _{pL}	577	697	612	623	625	709	654	696	632	684	641	571	492	377	271	225	215	192	177	175	210	291	315	411
Q _{eq,base} =Q _{vL} +Q _{pL} -E	2647	3858	3881	3506	3323	3668	3483	3727	3522	3802	3959	3826	3233	2238	1496	1143	1059	926.9	831.2	777.9	905	1228	1344	1794
Q _{eq,réf}	3207	3207	3207	3207	3207	3207	3207	3207	3207	3207	3207	3207	3207	3207	3207	3207	1108	1108	1108	1108	1108	1108	1108	1108
Q _{eq,base} /Q _{eq,réf}	0.83	1.20	1.21	1.09	1.04	1.14	1.09	1.16	1.10	1.19	1.23	1.19	1.01	0.70	0.47	0.36	0.96	0.84	0.75	0.70	0.82	1.11	1.21	1.62
10.log(Q _{eq,base} /Q _{eq,réf})	-0.83	0.80	0.83	0.39	0.15	0.58	0.36	0.65	0.41	0.74	0.91	0.77	0.04	-1.56	-3.31	-4.48	-0.20	-0.78	-1.25	-1.54	-0.88	0.45	0.84	2.09
L _{Aeq,réf}	53.1	53.1	53.1	53.1	53.1	53.1	53.1	53.1	53.1	53.1	53.1	53.1	53.1	53.1	53.1	53.1	51.5	51.5	51.5	51.5	51.5	51.5	51.5	51.5
L _{Aeq,calc} =L _{Aeq,réf} +10.log(Q _{eq,base} /Q _{eq,réf})	52.2	53.9	53.9	53.5	53.2	53.7	53.4	53.7	53.5	53.8	54.0	53.8	53.1	51.5	49.8	48.6	51.3	50.7	50.2	49.9	50.6	51.9	52.3	53.6
valeur absolue L _{Aeq,mes} -L _{Aeq,calc}	0.55	0.52	0.59	0.47	1.53	1.36	0.64	0.83	1.09	1.92	1.79	1.75	1.18	2.98	3.73	3.70	0.42	0.69	0.37	0.35	0.10	0.23	0.62	0.47



Annexe D – Relevés météorologiques



Conditions météorologiques

D'après la norme NFS 31-120, relatif à la « Caractérisation et mesurage des bruits de l'environnement - Influence du sol et des conditions météorologiques », trois méthodes existent pour étudier l'influence des conditions de propagation du bruit.

Dans notre cas, la méthode 1 est utilisée (décrite au paragraphe 5.2) et les conditions d'utilisation de cette méthode sont respectées (voir tableau ci-dessous).

Site de mesurage	Distance à la station météorologique la plus proche	Données météorologiques utilisées		Caractérisation acoustique du site à l'aide de la grille UITI
		Vitesse et direction du vent	Couverture nuageuse et rayonnement	
Plan, horizontal et dégagé	< 20 km	Station météo la plus proche	Station météo la plus proche et observations visuelles locales	Oui
	> 20 km	Station météo la plus proche	Mesures sur site	Oui
			Observations visuelles locales	Non
Non plan	< 20 km	Station météo la plus proche	Station météo la plus proche et observations visuelles locales	Non
		Mesures sur site	Station météo la plus proche et observations visuelles locales	Oui (avec réserves)
	> 20 km	Mesures sur site	Mesures sur site	Oui (avec réserves)
		Mesures sur site	Observations visuelles locales	Non
		Station météo la plus proche	Station météo la plus proche et observations visuelles locales	Non

D'après la méthode 1 de la norme NFS 31-120, deux critères météorologiques (conditions de vent et température, appréciées sans mesure, par simple observation) sont associés à chaque point de mesure dont le codage figure ci-dessous :

Conditions de vent :

U1 : Vent fort (3m/s à 5m/s) contraire au sens source-récepteur ;

U2 : Vent moyen (1m/s à 3m/s) contraire ou vent fort peu contraire ou vent moyen peu contraire ;

U3 : Vent faible (<1m/s) ou vent quelconque de travers ;

U4 : Vent moyen portant ou vent fort peu portant ou vent moyen peu portant;

U5 : Vent fort portant.



Température :

T1 : Jour et rayonnement fort et surface sèche et vent moyen ou faible ;

T2 : Jour et [rayonnement moyen à faible ou surface humide ou vent fort] ;

T3 : [Lever de soleil ou coucher du soleil] ou [Jour et rayonnement moyen à faible et surface humide et vent fort] ;

T4 : Nuit et (nuageux ou vent fort à moyen) ;

T5 : Nuit et ciel dégagé et vent faible.

Conditions de propagation :

Une fois le codage effectué en chaque point, une estimation qualitative de l'influence des conditions météorologiques se fait par l'intermédiaire de la grille ci-dessous :

	U1	U2	U3	U4	U5
T1		--	-	-	
T2	--	-	-	Z	+
T3	-	-	Z	+	+
T4	-	Z	+	++	++
T5		+	+	++	

-- et - Conditions défavorables pour la propagation sonore

Z Conditions homogènes pour la propagation sonore

++ et + Conditions favorables pour la propagation sonore

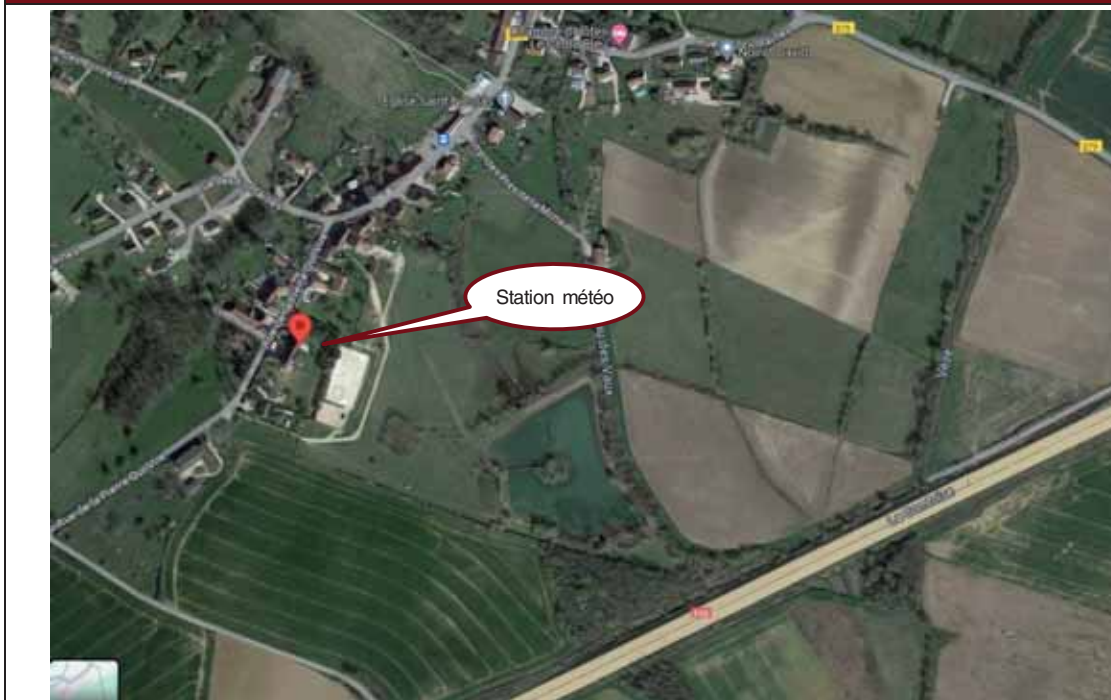


Station météorologique

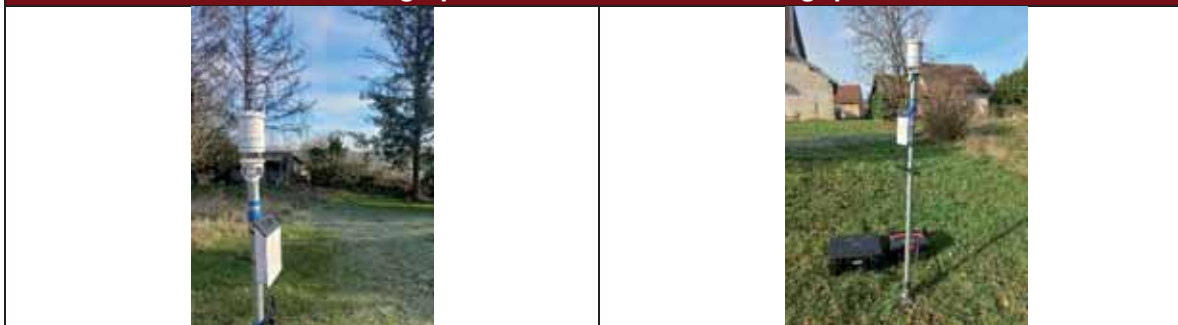
Coordonnées GPS du point de mesures	47°08'37.8"N
	5°32'58.4"E

Nom :	Blanchet Philippe
Adresse :	9 rue de la pierre qui vire 39700 Chatenois
Téléphone :	06.82.28.99.85

Repérage de la station météorologique



Photographie de la station météorologique



Date et heure	Température en °C	Pluie en mm	Rayonnement	Couvertures nuageuses	Sol	Vitesse du vent m/s	Force du vent	Direction du vent	Catégorie de vent	Estimation U1	Estimation T1	Conditions pour la propagation sonore
17/1/24 7:00	1	0.0	Faible	Nuageux	Sec	0.39	Faible	51	travers	U3	T4	+
17/1/24 8:00	1.4	0.0	Faible	Nuageux	Sec	0.48	Faible	54	travers	U3	T3	Z
17/1/24 9:00	8.2	0.0	Faible	Nuageux	Sec	2.05	Moyen	204	peu portant	U4	T2	Z
17/1/24 10:00	9.5	0.0	Faible	Nuageux	Sec	2.1	Moyen	203	peu portant	U4	T2	Z
17/1/24 11:00	10.3	0.0	Faible	Nuageux	Sec	2.33	Moyen	202	peu portant	U4	T2	Z
17/1/24 12:00	10.7	0.0	Moyen	Nuageux	Sec	2.22	Moyen	202	peu portant	U4	T2	Z
17/1/24 13:00	11.3	0.0	Moyen	Nuageux	Sec	2.28	Moyen	200	peu portant	U4	T2	Z
17/1/24 14:00	12.1	0.0	Moyen	Nuageux	Sec	2.54	Moyen	199	peu portant	U4	T2	Z
17/1/24 15:00	11.2	0.0	Faible	Nuageux	Sec	2.01	Moyen	202	peu portant	U4	T2	Z
17/1/24 16:00	10.9	0.0	Faible	Nuageux	Sec	2.19	Moyen	198	peu portant	U4	T2	Z
17/1/24 17:00	10.8	0.0	Faible	Nuageux	Sec	2	Moyen	197	peu portant	U4	T3	+
17/1/24 18:00	11	0.0	Faible	Nuageux	Sec	2.05	Moyen	195	peu portant	U4	T4	++
17/1/24 19:00	11	0.0	Faible	Nuageux	Sec	1.98	Moyen	199	peu portant	U4	T4	++
17/1/24 20:00	10.8	0.0	Faible	Nuageux	Sec	2.01	Moyen	200	peu portant	U4	T4	++
17/1/24 21:00	10.8	0.0	Faible	Nuageux	Sec	1.46	Moyen	213	peu portant	U4	T4	++
17/1/24 22:00	10.8	0.0	Faible	Nuageux	Sec	1.75	Moyen	207	peu portant	U4	T4	++
17/1/24 23:00	10.9	0.0	Faible	Nuageux	Sec	1.65	Moyen	209	peu portant	U4	T4	++
18/1/24 0:00	10.7	0.0	Faible	Nuageux	Sec	1.53	Moyen	212	peu portant	U4	T4	++
18/1/24 1:00	10.6	0.0	Faible	Nuageux	Sec	1.75	Moyen	194	peu portant	U4	T4	++
18/1/24 2:00	10.4	0.0	Faible	Nuageux	Sec	1.62	Moyen	195	peu portant	U4	T4	++
18/1/24 3:00	10.3	0.0	Faible	Nuageux	Sec	1.68	Moyen	195	peu portant	U4	T4	++
18/1/24 4:00	10.3	0.0	Faible	Nuageux	Sec	2.15	Moyen	197	peu portant	U4	T4	++
18/1/24 5:00	10	0.0	Faible	Nuageux	Sec	2.5	Moyen	198	peu portant	U4	T4	++
18/1/24 6:00	9.8	0.0	Faible	Nuageux	Sec	2.14	Moyen	201	peu portant	U4	T4	++
18/1/24 7:00	9.8	0.0	Faible	Nuageux	Sec	2.05	Moyen	205	peu portant	U4	T4	++
18/1/24 8:00	10.5	0.0	Faible	Nuageux	Sec	2.28	Moyen	205	peu portant	U4	T3	+
18/1/24 9:00	10.9	0.0	Faible	Nuageux	Sec	2.61	Moyen	200	peu portant	U4	T2	Z
18/1/24 10:00	10.9	0.0	Faible	Nuageux	Sec	2.27	Moyen	203	peu portant	U4	T2	Z
18/1/24 11:00	10.8	0.0	Faible	Nuageux	Sec	2.34	Moyen	206	peu portant	U4	T2	Z
18/1/24 12:00	9.7	0.0	Faible	Nuageux	Sec	1.94	Moyen	222	travers	U3	T2	-
18/1/24 13:00	5.9	0.0	Moyen	Nuageux	Sec	2.11	Moyen	1	peu contraire	U2	T2	-
18/1/24 14:00	3.7	0.0	Moyen	Nuageux	Sec	1.65	Moyen	6	peu contraire	U2	T2	-
18/1/24 15:00	3.1	0.0	Faible	Nuageux	Sec	1.39	Moyen	4	peu contraire	U2	T2	-
18/1/24 16:00	2.7	0.0	Faible	Nuageux	Sec	1.24	Moyen	9	peu contraire	U2	T2	-
18/1/24 17:00	1.9	0.0	Faible	Nuageux	Sec	1.21	Moyen	11	peu contraire	U2	T3	-
18/1/24 18:00	1.3	0.0	Faible	Nuageux	Sec	1.18	Moyen	31	peu contraire	U2	T4	Z
18/1/24 19:00	1.4	0.0	Faible	Nuageux	Sec	1.28	Moyen	31	peu contraire	U2	T4	Z
18/1/24 20:00	1.4	0.0	Faible	Nuageux	Sec	1.04	Moyen	30	peu contraire	U2	T4	Z
18/1/24 21:00	1.2	0.0	Faible	Nuageux	Sec	1.14	Moyen	23	peu contraire	U2	T4	Z
18/1/24 22:00	0.7	0.0	Faible	Nuageux	Sec	1.16	Moyen	19	peu contraire	U2	T4	Z
18/1/24 23:00	0.2	0.0	Faible	Nuageux	Sec	1.09	Moyen	17	peu contraire	U2	T4	Z
19/1/24 0:00	-0.2	0.0	Faible	Nuageux	Sec	1.1	Moyen	8	peu contraire	U2	T4	Z
19/1/24 1:00	-0.7	0.0	Faible	Nuageux	Sec	1.08	Moyen	2	peu contraire	U2	T4	Z
19/1/24 2:00	-1.2	0.0	Faible	Nuageux	Sec	0.9	Faible	14	peu contraire	U3	T4	+
19/1/24 3:00	-1.5	0.0	Faible	Nuageux	Sec	0.85	Faible	28	peu contraire	U3	T4	+
19/1/24 4:00	-1.9	0.0	Faible	Nuageux	Sec	0.74	Faible	54	travers	U3	T4	+
19/1/24 5:00	-2	0.0	Faible	Nuageux	Sec	0.98	Faible	25	peu contraire	U3	T4	+
19/1/24 6:00	-2	0.0	Faible	Nuageux	Sec	0.92	Faible	38	peu contraire	U3	T4	+
19/1/24 7:00	-2.1	0.0	Faible	Nuageux	Sec	1.08	Moyen	30	peu contraire	U2	T4	Z
19/1/24 8:00	-2	0.0	Faible	Nuageux	Sec	1.05	Moyen	49	travers	U3	T3	Z
19/1/24 9:00	-1.9	0.0	Faible	Nuageux	Sec	1.18	Moyen	47	travers	U3	T2	-
19/1/24 10:00	-1.6	0.0	Faible	Nuageux	Sec	1.23	Moyen	50	travers	U3	T2	-
19/1/24 11:00	-1.3	0.0	Moyen	Nuageux	Sec	1.41	Moyen	54	travers	U3	T2	-
19/1/24 12:00	-1.1	0.0	Moyen	Nuageux	Sec	1.5	Moyen	41	travers	U3	T2	-
19/1/24 13:00	-0.8	0.0	Moyen	Nuageux	Sec	1.58	Moyen	48	travers	U3	T2	-
19/1/24 14:00	0.2	0.0	Moyen	Nuageux	Sec	1.7	Moyen	42	travers	U3	T2	-
19/1/24 15:00	0.8	0.6	Moyen	Nuageux	Humide	1.83	Moyen	41	travers	U3	T2	-
19/1/24 16:00	0.9	0.9	Moyen	Nuageux	Humide	1.53	Moyen	40	travers	U3	T2	-
19/1/24 17:00	0.3	0.0	Faible	Nuageux	Humide	1.44	Moyen	31	peu contraire	U2	T3	-
19/1/24 18:00	-0.5	0.0	Faible	Nuageux	Sec	1.19	Moyen	42	travers	U3	T4	+
19/1/24 19:00	-0.9	0.0	Faible	Nuageux	Sec	1.21	Moyen	42	travers	U3	T4	+
19/1/24 20:00	-0.9	0.0	Faible	Nuageux	Sec	1.36	Moyen	49	travers	U3	T4	+
19/1/24 21:00	-1	0.0	Faible	Nuageux	Sec	1.44	Moyen	47	travers	U3	T4	+
19/1/24 22:00	-0.9	0.0	Faible	Nuageux	Sec	1.82	Moyen	41	travers	U3	T4	+
19/1/24 23:00	-1.5	0.0	Faible	Nuageux	Sec	1.6	Moyen	38	peu contraire	U2	T4	Z
20/1/24 0:00	-1.9	0.0	Faible	Nuageux	Sec	1.69	Moyen	55	travers	U3	T4	+
20/1/24 1:00	-2.4	0.0	Faible	Nuageux	Sec	1.27	Moyen	52	travers	U3	T4	+
20/1/24 2:00	-2.6	0.0	Faible	Nuageux	Sec	1.22	Moyen	51	travers	U3	T4	+
20/1/24 3:00	-2.6	0.0	Faible	Nuageux	Sec	1.56	Moyen	47	travers	U3	T4	+
20/1/24 4:00	-2.6	0.0	Faible	Nuageux	Sec	1.68	Moyen	40	travers	U3	T4	+
20/1/24 5:00	-3	0.0	Faible	Nuageux	Sec	1.62	Moyen	41	travers	U3	T4	+
20/1/24 6:00	-3.2	0.0	Faible	Nuageux	Sec	1.61	Moyen	43	travers	U3	T4	+
20/1/24 7:00	-3.3	0.0	Faible	Nuageux	Sec	1.61	Moyen	61	travers	U3	T4	+
20/1/24 8:00	-3.4	0.0	Faible	Nuageux	Sec	1.59	Moyen	73	travers	U3	T3	Z
20/1/24 9:00	-3.2	0.0	Faible	Nuageux	Sec	1.45	Moyen	66	travers	U3	T2	-
20/1/24 10:00	-2	0.0	Faible	Nuageux	Sec	1.97	Moyen	80	peu portant	U4	T2	Z
20/1/24 11:00	-0.9	0.0	Moyen	Nuageux	Sec	1.79	Moyen	78	travers	U3	T2	-
20/1/24 12:00	0.1	0.0	Moyen	Nuageux	Sec	1.56	Moyen	50	travers	U3	T2	-
20/1/24 13:00	1.6	0.0	Moyen	Nuageux	Sec	1.74	Moyen	69	travers	U3	T2	-
20/1/24 14:00	2.8	0.0	Moyen	Nuageux	Sec	1.72	Moyen	84	peu portant	U4	T2	Z
20/1/24 15:00	3.2	0.5	Moyen	Nuageux	Humide	1.43	Moyen	95	peu portant	U4	T2	Z
20/1/24 16:00	3.6	0.0	Moyen	Nuageux	Humide	0.73	Faible	206	peu portant	U3	T2	-
20/1/24 17:00	2.5	0.0	Faible	Nuageux	Sec	0.59	Faible	190	peu portant	U3	T3	Z
20/1/24 18:00	0.1	0.0	Faible	Nuageux	Sec	0.74	Faible	194	peu portant	U3	T4	+
20/1/24 19:00	-1.7	0.0	Faible	Nuageux	Sec	0.61	Faible	198	peu portant	U3	T4	+
20/1/24 20:00	-2.5	0.0	Faible	Nuageux	Sec	0.45	Faible	177	portant	U3	T4	+
20/1/24 21:00	-3.4	0.0	Faible	Nuageux	Sec	0.29	Faible	64	travers	U3	T4	+
20/1/24 22:00	-4.3	0.0	Faible	Nuageux	Sec	0.36	Faible	12	peu contraire	U3	T4	+
20/1/24 23:00	-4.9	0.0	Faible	Nuageux	Sec	0.38	Faible	16	peu contraire	U3	T4	+
21/1/24 0:00	-5.3	0.0	Faible	Nuageux	Sec	0.36	Faible	35	peu contraire	U3	T4	+
21/1/24 1:00	-5.8	0.0	Faible	Nuageux	Sec	0.33	Faible	22	peu contraire	U3	T4	+
21/1/24 2:00	-6.2	0.0	Faible	Nuageux	Sec	0.32	Faible	12	peu contraire	U3	T4	+
21/1/24 3:00	-6.4	0.0	Faible	Nuageux	Sec	0.34	Faible	44	travers	U3	T4	+
21/1/24 4:00	-6	0.0	Faible	Nuageux	Sec	0.45	Faible	41	travers	U3	T4	+
21/1/24 5:00	-6	0.0	Faible	Nuageux	Sec	0.37	Faible	21	peu contraire	U3	T4	+
21/1/24 6:00	-5.6	0.0	Faible	Nuageux	Sec	0.48	Faible	55	travers	U3	T4	+



Date et heure	Température en °C	Pluie en mm	Rayonnement	Couvertures nuageuses	Sol	Vitesse du vent m/s	Force du vent	Direction du vent	Catégorie de vent	Estimation U1	Estimation T1	Conditions pour la propagation sonore
21/1/24 7:00	-5.2	0.0	Faible	Nuageux	Sec	0.5	Faible	28	peu contraire	U3	T4	+
21/1/24 8:00	-5.6	0.0	Faible	Nuageux	Sec	0.42	Faible	15	peu contraire	U3	T3	Z
21/1/24 9:00	-5.5	0.0	Faible	Nuageux	Sec	0.41	Faible	46	travers	U3	T2	-
21/1/24 10:00	-4.4	0.0	Moyen	Nuageux	Sec	0.48	Faible	42	travers	U3	T2	-
21/1/24 11:00	-1.6	0.0	Moyen	Nuageux	Sec	0.69	Faible	309	contraire	U3	T2	-
21/1/24 12:00	3	0.0	Moyen	Nuageux	Sec	1.54	Moyen	199	peu portant	U4	T2	Z
21/1/24 13:00	6.2	0.5	Moyen	Nuageux	Humide	1.86	Moyen	201	peu portant	U4	T2	Z
21/1/24 14:00	7.5	1.8	Moyen	Nuageux	Humide	2.3	Moyen	203	peu portant	U4	T2	Z
21/1/24 15:00	7.6	0.8	Moyen	Nuageux	Humide	1.66	Moyen	201	peu portant	U4	T2	Z
21/1/24 16:00	8	0.0	Moyen	Nuageux	Humide	1.37	Moyen	202	peu portant	U4	T2	Z
21/1/24 17:00	7	0.4	Faible	Nuageux	Humide	0.9	Faible	196	peu portant	U3	T3	Z
21/1/24 18:00	5.4	0.0	Faible	Nuageux	Humide	0.93	Faible	192	peu portant	U3	T4	+
21/1/24 19:00	4.7	0.0	Faible	Nuageux	Sec	0.65	Faible	211	peu portant	U3	T4	+
21/1/24 20:00	4.5	0.0	Faible	Nuageux	Sec	0.84	Faible	190	peu portant	U3	T4	+
21/1/24 21:00	5.4	0.5	Faible	Nuageux	Humide	1.04	Moyen	192	peu portant	U4	T4	++
21/1/24 22:00	5.6	0.0	Faible	Nuageux	Humide	1.15	Moyen	189	peu portant	U4	T4	++
21/1/24 23:00	4.9	0.0	Faible	Nuageux	Humide	1.02	Moyen	191	peu portant	U4	T4	++
22/1/24 0:00	4.1	0.0	Faible	Nuageux	Humide	0.77	Faible	201	peu portant	U3	T4	+
22/1/24 1:00	3.9	0.0	Faible	Nuageux	Humide	0.9	Faible	207	peu portant	U3	T4	+
22/1/24 2:00	4.2	0.0	Faible	Nuageux	Humide	1.5	Moyen	202	peu portant	U4	T4	++
22/1/24 3:00	4	0.0	Faible	Nuageux	Sec	1.54	Moyen	201	peu portant	U4	T4	++
22/1/24 4:00	4.1	0.0	Faible	Nuageux	Sec	1.4	Moyen	205	peu portant	U4	T4	++
22/1/24 5:00	4	0.0	Faible	Nuageux	Sec	1.84	Moyen	201	peu portant	U4	T4	++
22/1/24 6:00	5.1	0.0	Faible	Nuageux	Sec	2.46	Moyen	205	peu portant	U4	T4	++
22/1/24 7:00	6.1	0.0	Faible	Nuageux	Sec	2.62	Moyen	202	peu portant	U4	T4	++
22/1/24 8:00	7	0.0	Faible	Nuageux	Sec	2.47	Moyen	199	peu portant	U4	T3	+
22/1/24 9:00	7.7	0.0	Faible	Nuageux	Sec	2.55	Moyen	200	peu portant	U4	T2	Z
22/1/24 10:00	8	0.0	Faible	Nuageux	Sec	2.66	Moyen	203	peu portant	U4	T2	Z
22/1/24 11:00	8.7	0.0	Moyen	Nuageux	Sec	2.17	Moyen	205	peu portant	U4	T2	Z
22/1/24 12:00	8.2	0.0	Faible	Nuageux	Sec	2.61	Moyen	205	peu portant	U4	T2	Z
22/1/24 13:00	6.8	1.3	Faible	Nuageux	Humide	2.04	Moyen	202	peu portant	U4	T2	Z
22/1/24 14:00	6.6	2.0	Faible	Nuageux	Humide	2.02	Moyen	198	peu portant	U4	T2	Z
22/1/24 15:00	6.6	1.3	Faible	Nuageux	Humide	2.44	Moyen	209	peu portant	U4	T2	Z
22/1/24 16:00	6.8	2.0	Faible	Nuageux	Humide	2.4	Moyen	211	peu portant	U4	T2	Z
22/1/24 17:00	6.6	2.1	Faible	Nuageux	Humide	2.34	Moyen	203	peu portant	U4	T3	+
22/1/24 18:00	6.7	1.0	Faible	Nuageux	Humide	2.15	Moyen	203	peu portant	U4	T4	++
22/1/24 19:00	6.9	0.0	Faible	Nuageux	Humide	1.94	Moyen	204	peu portant	U4	T4	++
22/1/24 20:00	6.9	0.0	Faible	Nuageux	Humide	1.7	Moyen	203	peu portant	U4	T4	++
22/1/24 21:00	7	0.7	Faible	Nuageux	Humide	1.51	Moyen	203	peu portant	U4	T4	++
22/1/24 22:00	6.9	0.0	Faible	Nuageux	Humide	1.32	Moyen	199	peu portant	U4	T4	++
22/1/24 23:00	7	0.0	Faible	Nuageux	Humide	1.39	Moyen	204	peu portant	U4	T4	++
23/1/24 0:00	7.3	0.6	Faible	Nuageux	Humide	1.4	Moyen	205	peu portant	U4	T4	++
23/1/24 1:00	7.2	1.3	Faible	Nuageux	Humide	1.07	Moyen	191	peu portant	U4	T4	++
23/1/24 2:00	6.7	0.7	Faible	Nuageux	Humide	1.16	Moyen	187	peu portant	U4	T4	++
23/1/24 3:00	6.6	0.0	Faible	Nuageux	Humide	1.24	Moyen	185	peu portant	U4	T4	++
23/1/24 4:00	6.6	0.0	Faible	Nuageux	Humide	1.53	Moyen	185	peu portant	U4	T4	++
23/1/24 5:00	6.3	0.0	Faible	Nuageux	Humide	1.41	Moyen	191	peu portant	U4	T4	++
23/1/24 6:00	5.7	0.0	Faible	Nuageux	Sec	0.92	Faible	191	peu portant	U3	T4	+
23/1/24 7:00	5.6	0.0	Faible	Nuageux	Sec	0.9	Faible	185	peu portant	U3	T4	+
23/1/24 8:00	4.8	0.0	Faible	Nuageux	Sec	0.99	Faible	115	peu portant	U3	T3	Z
23/1/24 9:00	3.9	0.0	Faible	Nuageux	Sec	0.37	Faible	304	contraire	U3	T2	-
23/1/24 10:00	4.5	0.0	Moyen	Nuageux	Sec	0.45	Faible	326	contraire	U3	T2	-
23/1/24 11:00	6.6	0.0	Moyen	Nuageux	Sec	1.29	Moyen	191	peu portant	U4	T2	Z
23/1/24 12:00	7.9	0.0	Moyen	Nuageux	Sec	1.22	Moyen	198	peu portant	U4	T2	Z
23/1/24 13:00	9	0.0	Moyen	Nuageux	Sec	1.23	Moyen	200	peu portant	U4	T2	Z
23/1/24 14:00	9.3	0.0	Moyen	Nuageux	Sec	1.2	Moyen	206	peu portant	U4	T2	Z
23/1/24 15:00	9.3	0.0	Moyen	Nuageux	Sec	1.14	Moyen	205	peu portant	U4	T2	Z
23/1/24 16:00	9.3	0.0	Moyen	Nuageux	Sec	1.06	Moyen	202	peu portant	U4	T2	Z
23/1/24 17:00	9.2	0.0	Faible	Nuageux	Sec	0.89	Faible	205	peu portant	U3	T3	Z
23/1/24 18:00	8.9	0.0	Faible	Nuageux	Sec	0.86	Faible	210	peu portant	U3	T4	+
23/1/24 19:00	9	0.0	Faible	Nuageux	Sec	1	Faible	209	peu portant	U3	T4	+
23/1/24 20:00	9.1	0.0	Faible	Nuageux	Sec	0.79	Faible	207	peu portant	U3	T4	+
23/1/24 21:00	9.2	0.0	Faible	Nuageux	Sec	1.05	Moyen	212	peu portant	U4	T4	++
23/1/24 22:00	9.6	0.0	Faible	Nuageux	Sec	1.25	Moyen	198	peu portant	U4	T4	++
23/1/24 23:00	10.2	0.0	Faible	Nuageux	Sec	1.68	Moyen	200	peu portant	U4	T4	++
24/1/24 0:00	10.2	0.0	Faible	Nuageux	Sec	1.52	Moyen	205	peu portant	U4	T4	++
24/1/24 1:00	10.3	0.0	Faible	Nuageux	Sec	1.75	Moyen	204	peu portant	U4	T4	++
24/1/24 2:00	10.5	0.0	Faible	Nuageux	Sec	1.62	Moyen	204	peu portant	U4	T4	++
24/1/24 3:00	11	0.0	Faible	Nuageux	Sec	1.68	Moyen	203	peu portant	U4	T4	++
24/1/24 4:00	11.2	0.0	Faible	Nuageux	Sec	2.2	Moyen	200	peu portant	U4	T4	++
24/1/24 5:00	10.9	0.0	Faible	Nuageux	Sec	1.63	Moyen	202	peu portant	U4	T4	++
24/1/24 6:00	10.8	0.0	Faible	Nuageux	Sec	2.01	Moyen	200	peu portant	U4	T4	++
24/1/24 7:00	11	0.0	Faible	Nuageux	Sec	1.73	Moyen	204	peu portant	U4	T4	++
24/1/24 8:00	11.5	0.0	Faible	Nuageux	Sec	1.83	Moyen	201	peu portant	U4	T3	+
24/1/24 9:00	11.7	0.0	Faible	Nuageux	Sec	2	Moyen	199	peu portant	U4	T2	Z
24/1/24 10:00	12	0.0	Moyen	Nuageux	Sec	2.2	Moyen	200	peu portant	U4	T2	Z
24/1/24 11:00	12.2	0.0	Moyen	Nuageux	Sec	2.08	Moyen	202	peu portant	U4	T2	Z
24/1/24 12:00	12.6	0.0	Moyen	Nuageux	Sec	2.18	Moyen	199	peu portant	U4	T2	Z
24/1/24 13:00	13	0.0	Moyen	Nuageux	Sec	2.21	Moyen	201	peu portant	U4	T2	Z
24/1/24 14:00	13.3	0.0	Moyen	Nuageux	Sec	1.79	Moyen	199	peu portant	U4	T2	Z
24/1/24 15:00	13.4	0.0	Moyen	Nuageux	Sec	1.82	Moyen	199	peu portant	U4	T2	Z
24/1/24 16:00	13.5	0.0	Moyen	Nuageux	Sec	1.55	Moyen	194	peu portant	U4	T2	Z
24/1/24 17:00	13.6	0.0	Faible	Nuageux	Sec	1.54	Moyen	194	peu portant	U4	T3	+
24/1/24 18:00	13.2	0.0	Faible	Nuageux	Sec	1.26	Moyen	198	peu portant	U4	T4	++
24/1/24 19:00	13	0.0	Faible	Nuageux	Sec	1.39	Moyen	197	peu portant	U4	T4	++
24/1/24 20:00	12.7	0.0	Faible	Nuageux	Sec	1.1	Moyen	197	peu portant	U4	T4	++
24/1/24 21:00	12.4	0.0	Faible	Nuageux	Sec	0.97	Faible	199	peu portant	U3	T4	+
24/1/24 22:00	12.2	0.0	Faible	Nuageux	Sec	0.88	Faible	199	peu portant	U3	T4	+
24/1/24 23:00	12.2	0.0	Faible	Nuageux	Sec	1.05	Moyen	199	peu portant	U4	T4	++
25/1/24 0:00	11.9	0.0	Faible	Nuageux	Sec	1.02	Moyen	198	peu portant	U4	T4	++
25/1/24 1:00	11.9	0.0	Faible	Nuageux	Sec	0.95	Faible	205	peu portant	U3	T4	+
25/1/24 2:00	11.9	0.0	Faible	Nuageux	Sec	1.18	Moyen	201	peu portant	U4	T4	++
25/1/24 3:00	11.8	0.0	Faible	Nuageux	Sec	1	Faible	201	peu portant	U3	T4	+
25/1/24 4:00	11.6	0.0	Faible	Nuageux	Sec	0.87	Faible	201	peu portant	U3	T4	+
25/1/24 5:00	11.2	0.0	Faible	Nuageux	Sec	0.89	Faible	203	peu portant	U3	T4	+
25/1/24 6:00	10.6	0.0	Faible	Nuageux	Sec	0.54	Faible	196	peu portant	U3	T4	+



Date et heure	Température en °C	Pluie en mm	Rayonnement	Couvertures nuageuses	Sol	Vitesse du vent m/s	Force du vent	Direction du vent	Catégorie de vent	Estimation U1	Estimation T1	Conditions pour la propagation sonore
25/1/24 7:00	10.7	0.0	Faible	Nuageux	Sec	0.57	Faible	186	peu portant	U3	T4	+
25/1/24 8:00	10.8	0.0	Faible	Nuageux	Sec	0.65	Faible	186	peu portant	U3	T3	Z
25/1/24 9:00	10.4	0.0	Faible	Nuageux	Sec	0.28	Faible	354	contraire	U3	T2	-
25/1/24 10:00	10.4	0.0	Moyen	Nuageux	Sec	0.6	Faible	187	peu portant	U3	T2	-
25/1/24 11:00	11	0.0	Moyen	Nuageux	Sec	0.99	Faible	195	peu portant	U3	T2	-
25/1/24 12:00	11.3	0.0	Moyen	Nuageux	Sec	0.94	Faible	193	peu portant	U3	T2	-
25/1/24 13:00	12.2	0.0	Moyen	Nuageux	Sec	0.92	Faible	198	peu portant	U3	T2	-
25/1/24 14:00	12.6	0.0	Moyen	Nuageux	Sec	0.92	Faible	192	peu portant	U3	T2	-
25/1/24 15:00	12.5	0.0	Moyen	Nuageux	Sec	0.84	Faible	184	peu portant	U3	T2	-
25/1/24 16:00	12.3	0.0	Moyen	Nuageux	Sec	0.72	Faible	188	peu portant	U3	T2	-
25/1/24 17:00	12	0.0	Faible	Nuageux	Sec	0.77	Faible	195	peu portant	U3	T3	Z
25/1/24 18:00	11.7	0.0	Faible	Nuageux	Sec	0.66	Faible	192	peu portant	U3	T4	+
25/1/24 19:00	11.2	0.0	Faible	Nuageux	Sec	0.31	Faible	252	travers	U3	T4	+
25/1/24 20:00	10.7	0.0	Faible	Nuageux	Sec	0.34	Faible	193	peu portant	U3	T4	+
25/1/24 21:00	9.6	0.0	Faible	Nuageux	Sec	0.39	Faible	310	contraire	U3	T4	+
25/1/24 22:00	7.3	0.0	Faible	Nuageux	Sec	0.41	Faible	351	contraire	U3	T4	+
25/1/24 23:00	6.8	0.0	Faible	Nuageux	Sec	0.38	Faible	359	contraire	U3	T4	+
26/1/24 0:00	7.2	0.0	Faible	Nuageux	Sec	0.28	Faible	359	contraire	U3	T4	+
26/1/24 1:00	7.4	0.0	Faible	Nuageux	Sec	0.34	Faible	12	peu contraire	U3	T4	+
26/1/24 2:00	7.6	0.0	Faible	Nuageux	Sec	0.33	Faible	7	peu contraire	U3	T4	+
26/1/24 3:00	7.9	0.0	Faible	Nuageux	Sec	0.28	Faible	321	contraire	U3	T4	+
26/1/24 4:00	8.6	0.0	Faible	Nuageux	Sec	0.38	Faible	192	peu portant	U3	T4	+
26/1/24 5:00	9.2	0.0	Faible	Nuageux	Sec	0.72	Faible	185	peu portant	U3	T4	+
26/1/24 6:00	8.9	0.0	Faible	Nuageux	Sec	0.48	Faible	156	portant	U3	T4	+
26/1/24 7:00	8.9	0.0	Faible	Nuageux	Sec	0.32	Faible	152	portant	U3	T3	Z
26/1/24 8:00	8.4	0.0	Faible	Nuageux	Sec	0.34	Faible	188	peu portant	U3	T2	-
26/1/24 9:00	8.4	0.0	Faible	Nuageux	Sec	0.58	Faible	187	peu portant	U3	T2	-
26/1/24 10:00	9.3	0.0	Faible	Nuageux	Sec	0.97	Faible	193	peu portant	U3	T2	-
26/1/24 11:00	10	0.0	Faible	Nuageux	Sec	1.32	Moyen	196	peu portant	U4	T2	Z
26/1/24 12:00	10.3	0.0	Faible	Nuageux	Sec	1.34	Moyen	196	peu portant	U4	T2	Z
26/1/24 13:00	10.6	0.0	Moyen	Nuageux	Sec	1.3	Moyen	196	peu portant	U4	T2	Z
26/1/24 14:00	10.3	0.0	Faible	Nuageux	Sec	1.62	Moyen	189	peu portant	U4	T2	Z
26/1/24 15:00	9.9	0.0	Faible	Nuageux	Sec	1.48	Moyen	192	peu portant	U4	T2	Z
26/1/24 16:00	9.9	0.0	Faible	Nuageux	Sec	1.19	Moyen	195	peu portant	U4	T2	Z
26/1/24 17:00	9.9	0.0	Faible	Nuageux	Sec	1.35	Moyen	201	peu portant	U4	T3	+
26/1/24 18:00	9.9	0.0	Faible	Nuageux	Sec	0.49	Faible	214	peu portant	U3	T4	+
26/1/24 19:00	9.8	0.0	Faible	Nuageux	Sec	0.41	Faible	208	peu portant	U3	T4	+
26/1/24 20:00	9.2	0.0	Faible	Nuageux	Sec	0.19	Faible	317	contraire	U3	T4	+
26/1/24 21:00	8.5	0.0	Faible	Nuageux	Sec	0.45	Faible	18	peu contraire	U3	T4	+
26/1/24 22:00	6.6	0.0	Faible	Nuageux	Sec	0.31	Faible	68	travers	U3	T4	+
26/1/24 23:00	6.4	0.0	Faible	Nuageux	Sec	0.68	Faible	30	peu contraire	U3	T4	+
27/1/24 0:00	5.6	0.0	Faible	Nuageux	Sec	0.73	Faible	64	travers	U3	T4	+
27/1/24 1:00	4.5	0.0	Faible	Nuageux	Sec	0.43	Faible	34	peu contraire	U3	T4	+
27/1/24 2:00	3.5	0.0	Faible	Nuageux	Sec	0.43	Faible	54	travers	U3	T4	+
27/1/24 3:00	3.2	0.0	Faible	Nuageux	Sec	0.48	Faible	52	travers	U3	T4	+
27/1/24 4:00	2.6	0.0	Faible	Nuageux	Sec	0.42	Faible	24	peu contraire	U3	T4	+
27/1/24 5:00	1.7	0.0	Faible	Nuageux	Sec	0.39	Faible	344	contraire	U3	T4	+
27/1/24 6:00	1.1	0.0	Faible	Nuageux	Sec	0.35	Faible	318	contraire	U3	T4	+
27/1/24 7:00	0.2	0.0	Faible	Nuageux	Sec	0.36	Faible	339	contraire	U3	T3	Z
27/1/24 8:00	0.4	0.0	Faible	Nuageux	Sec	0.48	Faible	68	travers	U3	T2	-
27/1/24 9:00	1.1	0.0	Faible	Nuageux	Sec	0.74	Faible	81	peu portant	U3	T2	-
27/1/24 10:00	1.2	0.0	Moyen	Nuageux	Sec	1.27	Moyen	92	peu portant	U4	T2	Z
27/1/24 11:00	2.4	0.0	Moyen	Nuageux	Sec	1.49	Moyen	91	peu portant	U4	T2	Z
27/1/24 12:00	4.5	0.0	Moyen	Nuageux	Sec	1.4	Moyen	68	travers	U3	T2	-
27/1/24 13:00	6.6	0.0	Moyen	Nuageux	Sec	1.44	Moyen	79	travers	U3	T2	-
27/1/24 14:00	8.4	0.0	Moyen	Nuageux	Sec	0.97	Faible	59	travers	U3	T2	-
27/1/24 15:00	9.2	0.0	Moyen	Nuageux	Sec	0.84	Faible	147	portant	U3	T2	-
27/1/24 16:00	9.1	0.0	Moyen	Nuageux	Sec	1.07	Moyen	65	travers	U3	T2	-
27/1/24 17:00	8.2	0.0	Moyen	Nuageux	Sec	0.79	Faible	84	peu portant	U3	T3	Z
27/1/24 18:00	5.5	0.0	Faible	Nuageux	Sec	0.46	Faible	182	peu portant	U3	T4	+
27/1/24 19:00	3.8	0.0	Faible	Nuageux	Sec	0.31	Faible	22	peu contraire	U3	T4	+
27/1/24 20:00	2.3	0.0	Faible	Nuageux	Sec	0.33	Faible	8	peu contraire	U3	T4	+
27/1/24 21:00	0.9	0.0	Faible	Nuageux	Sec	0.24	Faible	57	travers	U3	T4	+
27/1/24 22:00	0.4	0.0	Faible	Nuageux	Sec	0.33	Faible	174	portant	U3	T4	+
27/1/24 23:00	0.8	0.0	Faible	Nuageux	Sec	0.38	Faible	169	portant	U3	T4	+
28/1/24 0:00	1.4	0.0	Faible	Nuageux	Sec	0.41	Faible	107	peu portant	U3	T4	+
28/1/24 1:00	1.6	0.0	Faible	Nuageux	Sec	0.61	Faible	80	peu portant	U3	T4	+
28/1/24 2:00	1.5	0.0	Faible	Nuageux	Sec	0.67	Faible	121	portant	U3	T4	+
28/1/24 3:00	1.3	0.0	Faible	Nuageux	Sec	0.4	Faible	76	travers	U3	T4	+
28/1/24 4:00	1.1	0.0	Faible	Nuageux	Sec	0.39	Faible	71	travers	U3	T4	+
28/1/24 5:00	1	0.0	Faible	Nuageux	Sec	0.71	Faible	106	peu portant	U3	T4	+
28/1/24 6:00	0.5	0.0	Faible	Nuageux	Sec	0.54	Faible	84	peu portant	U3	T4	+
28/1/24 7:00	0.2	0.0	Faible	Nuageux	Sec	0.32	Faible	47	travers	U3	T3	Z
28/1/24 8:00	0	0.0	Faible	Nuageux	Sec	0.44	Faible	161	portant	U3	T2	-
28/1/24 9:00	-0.2	0.0	Faible	Nuageux	Sec	0.38	Faible	93	peu portant	U3	T2	-
28/1/24 10:00	0	0.0	Moyen	Nuageux	Sec	0.57	Faible	104	peu portant	U3	T2	-
28/1/24 11:00	0.2	0.0	Moyen	Nuageux	Sec	0.64	Faible	159	portant	U3	T2	-
28/1/24 12:00	0.4	0.0	Moyen	Nuageux	Sec	0.56	Faible	106	peu portant	U3	T2	-
28/1/24 13:00	1.2	0.0	Moyen	Nuageux	Sec	0.64	Faible	93	peu portant	U3	T2	-
28/1/24 14:00	2.4	0.0	Moyen	Nuageux	Sec	0.55	Faible	185	peu portant	U3	T2	-
28/1/24 15:00	5.1	0.0	Moyen	Nuageux	Sec	0.74	Faible	100	peu portant	U3	T2	-
28/1/24 16:00	6.5	0.0	Moyen	Nuageux	Sec	0.75	Faible	89	peu portant	U3	T2	-
28/1/24 17:00	7.1	0.0	Moyen	Nuageux	Sec	0.84	Faible	75	travers	U3	T3	Z
28/1/24 18:00	6	0.0	Faible	Nuageux	Sec	0.48	Faible	46	travers	U3	T4	+
28/1/24 19:00	4.3	0.0	Faible	Nuageux	Sec	0.41	Faible	9	peu contraire	U3	T4	+
28/1/24 20:00	3.1	0.0	Faible	Nuageux	Sec	0.4	Faible	338	contraire	U3	T4	+
28/1/24 21:00	2.5	0.0	Faible	Nuageux	Sec	0.39	Faible	348	contraire	U3	T4	+
28/1/24 22:00	2	0.0	Faible	Nuageux	Sec	0.34	Faible	351	contraire	U3	T4	+
28/1/24 23:00	1.5	0.0	Faible	Nuageux	Sec	0.41	Faible	347	contraire	U3	T4	+
29/1/24 0:00	2.1	0.0	Faible	Nuageux	Sec	0.58	Faible	342	contraire	U3	T4	+
29/1/24 1:00	5.9	0.0	Faible	Nuageux	Sec	0.55	Faible	254	travers	U3	T4	+
29/1/24 2:00	8.3	0.0	Faible	Nuageux	Sec	0.69	Faible	209	peu portant	U3	T4	+
29/1/24 3:00	8.6	0.0	Faible	Nuageux	Sec	0.71	Faible	220	travers	U3	T4	+
29/1/24 4:00	8.3	0.0	Faible	Nuageux	Sec	0.53	Faible	187	peu portant	U3	T4	+
29/1/24 5:00	5.9	0.0	Faible	Nuageux	Sec	0.47	Faible	10	peu contraire	U3	T4	+
29/1/24 6:00	3.9	0.0	Faible	Nuageux	Sec	0.38	Faible	40	travers	U3	T4	+



Date et heure	Température en °C	Pluie en mm	Rayonnement	Couvertures nuageuses	Sol	Vitesse du vent m/s	Force du vent	Direction du vent	Catégorie de vent	Estimation U1	Estimation T1	Conditions pour la propagation sonore
29/1/24 7:00	2.3	0.0	Faible	Nuageux	Sec	0.39	Faible	10	peu contraire	U3	T3	Z
29/1/24 8:00	1.3	0.0	Faible	Nuageux	Sec	0.32	Faible	358	contraire	U3	T2	-
29/1/24 9:00	0.8	0.0	Faible	Nuageux	Sec	0.33	Faible	7	peu contraire	U3	T2	-
29/1/24 10:00	1.6	0.0	Faible	Nuageux	Sec	0.34	Faible	40	travers	U3	T2	-
29/1/24 11:00	5.2	0.0	Moyen	Nuageux	Sec	0.32	Faible	70	travers	U3	T2	-
29/1/24 12:00	10.9	0.0	Moyen	Nuageux	Sec	1.1	Moyen	196	peu portant	U4	T2	Z
29/1/24 13:00	13.6	0.0	Moyen	Nuageux	Sec	2.08	Moyen	204	peu portant	U4	T2	Z
29/1/24 14:00	14.2	0.0	Moyen	Nuageux	Sec	1.97	Moyen	197	peu portant	U4	T2	Z
29/1/24 15:00	14.6	0.0	Moyen	Nuageux	Sec	1.7	Moyen	200	peu portant	U4	T2	Z
29/1/24 16:00	14.4	0.0	Moyen	Nuageux	Sec	1.71	Moyen	196	peu portant	U4	T2	Z
29/1/24 17:00	13.9	0.0	Moyen	Nuageux	Sec	1.47	Moyen	198	peu portant	U4	T3	+
29/1/24 18:00	12.2	0.0	Faible	Nuageux	Sec	0.59	Faible	201	peu portant	U3	T4	+
29/1/24 19:00	8.8	0.0	Faible	Nuageux	Sec	0.59	Faible	325	contraire	U3	T4	+
29/1/24 20:00	5.7	0.0	Faible	Nuageux	Sec	0.35	Faible	342	contraire	U3	T4	+
29/1/24 21:00	4.1	0.0	Faible	Nuageux	Sec	0.3	Faible	355	contraire	U3	T4	+
29/1/24 22:00	3	0.0	Faible	Nuageux	Sec	0.34	Faible	359	contraire	U3	T4	+
29/1/24 23:00	2.3	0.0	Faible	Nuageux	Sec	0.32	Faible	18	peu contraire	U3	T4	+
30/1/24 0:00	1.8	0.0	Faible	Nuageux	Sec	0.36	Faible	359	contraire	U3	T4	+
30/1/24 1:00	1.1	0.0	Faible	Nuageux	Sec	0.31	Faible	9	peu contraire	U3	T4	+
30/1/24 2:00	0.8	0.0	Faible	Nuageux	Sec	0.27	Faible	29	peu contraire	U3	T4	+
30/1/24 3:00	0.6	0.0	Faible	Nuageux	Sec	0.27	Faible	29	peu contraire	U3	T4	+
30/1/24 4:00	0.7	0.0	Faible	Nuageux	Sec	0.25	Faible	53	travers	U3	T4	+
30/1/24 5:00	0.9	0.0	Faible	Nuageux	Sec	0.24	Faible	61	travers	U3	T4	+
30/1/24 6:00	1.2	0.0	Faible	Nuageux	Sec	0.26	Faible	54	travers	U3	T4	+
30/1/24 7:00	1.6	0.0	Faible	Nuageux	Sec	0.26	Faible	61	travers	U3	T3	Z
30/1/24 8:00	1.9	0.0	Faible	Nuageux	Sec	0.31	Faible	24	peu contraire	U3	T2	-
30/1/24 9:00	2.2	0.0	Faible	Nuageux	Sec	0.33	Faible	17	peu contraire	U3	T2	-
30/1/24 10:00	3.1	0.0	Moyen	Nuageux	Sec	0.22	Faible	53	travers	U3	T2	-
30/1/24 11:00	6.7	0.0	Moyen	Nuageux	Sec	0.56	Faible	133	portant	U3	T2	-
30/1/24 12:00	9.8	0.0	Moyen	Nuageux	Sec	1.79	Moyen	199	peu portant	U4	T2	Z
30/1/24 13:00	10.5	0.0	Moyen	Nuageux	Sec	1.4	Moyen	192	peu portant	U4	T2	Z
30/1/24 14:00	11.1	0.0	Moyen	Nuageux	Sec	1.3	Moyen	194	peu portant	U4	T2	Z
30/1/24 15:00	11.6	0.0	Moyen	Nuageux	Sec	0.86	Faible	183	peu portant	U3	T2	-
30/1/24 16:00	12.1	0.0	Moyen	Nuageux	Sec	0.89	Faible	190	peu portant	U3	T2	-
30/1/24 17:00	11.6	0.0	Moyen	Nuageux	Sec	0.46	Faible	186	peu portant	U3	T3	Z
30/1/24 18:00	9.8	0.0	Faible	Nuageux	Sec	0.37	Faible	331	contraire	U3	T4	+
30/1/24 19:00	6.8	0.0	Faible	Nuageux	Sec	0.35	Faible	331	contraire	U3	T4	+
30/1/24 20:00	5	0.0	Faible	Nuageux	Sec	0.37	Faible	350	contraire	U3	T4	+
30/1/24 21:00	4	0.0	Faible	Nuageux	Sec	0.34	Faible	4	peu contraire	U3	T4	+
30/1/24 22:00	3.1	0.0	Faible	Nuageux	Sec	0.3	Faible	5	peu contraire	U3	T4	+
30/1/24 23:00	2.3	0.0	Faible	Nuageux	Sec	0.3	Faible	3	peu contraire	U3	T4	+
31/1/24 0:00	1.7	0.0	Faible	Nuageux	Sec	0.27	Faible	12	peu contraire	U3	T4	+
31/1/24 1:00	1.2	0.0	Faible	Nuageux	Sec	0.33	Faible	357	contraire	U3	T4	+
31/1/24 2:00	0.8	0.0	Faible	Nuageux	Sec	0.34	Faible	14	peu contraire	U3	T4	+
31/1/24 3:00	0.4	0.0	Faible	Nuageux	Sec	0.29	Faible	33	peu contraire	U3	T4	+
31/1/24 4:00	0	0.0	Faible	Nuageux	Sec	0.31	Faible	20	peu contraire	U3	T4	+
31/1/24 5:00	-0.3	0.0	Faible	Nuageux	Sec	0.25	Faible	19	peu contraire	U3	T4	+
31/1/24 6:00	-0.2	0.0	Faible	Nuageux	Sec	0.25	Faible	50	travers	U3	T4	+
31/1/24 7:00	0	0.0	Faible	Nuageux	Sec	0.23	Faible	55	travers	U3	T3	Z
31/1/24 8:00	-0.1	0.0	Faible	Nuageux	Sec	0.24	Faible	27	peu contraire	U3	T2	-
31/1/24 9:00	0	0.0	Faible	Nuageux	Sec	0.29	Faible	28	peu contraire	U3	T2	-
31/1/24 10:00	1.3	0.0	Moyen	Nuageux	Sec	0.28	Faible	107	peu portant	U3	T2	-
31/1/24 11:00	3.8	0.0	Moyen	Nuageux	Sec	0.42	Faible	133	portant	U3	T2	-
31/1/24 12:00	7.9	0.0	Moyen	Nuageux	Sec	0.68	Faible	194	peu portant	U3	T2	-
31/1/24 13:00	11	0.0	Moyen	Nuageux	Sec	1.22	Moyen	185	peu portant	U4	T2	Z
31/1/24 14:00	12.1	0.0	Moyen	Nuageux	Sec	1.11	Moyen	189	peu portant	U4	T2	Z
31/1/24 15:00	12.8	0.0	Moyen	Nuageux	Sec	0.63	Faible	183	peu portant	U3	T2	-
31/1/24 16:00	13	0.0	Moyen	Nuageux	Sec	0.64	Faible	178	portant	U3	T2	-
31/1/24 17:00	12.3	0.0	Moyen	Nuageux	Sec	0.42	Faible	173	portant	U3	T3	Z
31/1/24 18:00	10.3	0.0	Faible	Nuageux	Sec	0.33	Faible	336	contraire	U3	T4	+
31/1/24 19:00	7.6	0.0	Faible	Nuageux	Sec	0.46	Faible	330	contraire	U3	T4	+
31/1/24 20:00	5.9	0.0	Faible	Nuageux	Sec	0.46	Faible	327	contraire	U3	T4	+
31/1/24 21:00	5.6	0.0	Faible	Nuageux	Sec	0.35	Faible	11	peu contraire	U3	T4	+
31/1/24 22:00	6	0.0	Faible	Nuageux	Sec	0.4	Faible	137	portant	U3	T4	+
31/1/24 23:00	6.7	0.0	Faible	Nuageux	Sec	0.39	Faible	140	portant	U3	T4	+
1/2/24 0:00	7.1	0.0	Faible	Nuageux	Sec	0.27	Faible	203	peu portant	U3	T4	+
1/2/24 1:00	7.3	0.0	Faible	Nuageux	Sec	0.29	Faible	325	contraire	U3	T4	+
1/2/24 2:00	7.5	0.0	Faible	Nuageux	Sec	0.25	Faible	225	travers	U3	T4	+
1/2/24 3:00	7.5	0.0	Faible	Nuageux	Sec	0.3	Faible	195	peu portant	U3	T4	+
1/2/24 4:00	7.4	0.0	Faible	Nuageux	Sec	0.26	Faible	198	peu portant	U3	T4	+
1/2/24 5:00	7.3	0.0	Faible	Nuageux	Sec	0.37	Faible	205	peu portant	U3	T4	+
1/2/24 6:00	6.6	0.0	Faible	Nuageux	Sec	0.4	Faible	305	contraire	U3	T4	+
1/2/24 7:00	6.8	0.0	Faible	Nuageux	Sec	0.36	Faible	258	travers	U3	T3	Z
1/2/24 8:00	7.4	0.0	Faible	Nuageux	Sec	0.54	Faible	194	peu portant	U3	T2	-
1/2/24 9:00	7.8	0.0	Faible	Nuageux	Sec	0.57	Faible	191	peu portant	U3	T2	-
1/2/24 10:00	8	0.0	Faible	Nuageux	Sec	0.62	Faible	189	peu portant	U3	T2	-
1/2/24 11:00	8.1	0.0	Moyen	Nuageux	Sec	0.88	Faible	197	peu portant	U3	T2	-
1/2/24 12:00	8.6	0.0	Moyen	Nuageux	Sec	0.85	Faible	199	peu portant	U3	T2	-
1/2/24 13:00	8.8	0.0	Moyen	Nuageux	Sec	0.67	Faible	194	peu portant	U3	T2	-
1/2/24 14:00	9	0.0	Moyen	Nuageux	Sec	0.62	Faible	188	peu portant	U3	T2	-
1/2/24 15:00	9.2	0.0	Moyen	Nuageux	Sec	0.69	Faible	181	peu portant	U3	T2	-
1/2/24 16:00	9.5	0.0	Moyen	Nuageux	Sec	0.56	Faible	178	portant	U3	T2	-
1/2/24 17:00	9.6	0.0	Faible	Nuageux	Sec	0.56	Faible	180	peu portant	U3	T3	Z
1/2/24 18:00	9.4	0.0	Faible	Nuageux	Sec	0.2	Faible	147	portant	U3	T4	+
1/2/24 19:00	9	0.0	Faible	Nuageux	Sec	0.16	Faible	12	peu contraire	U3	T4	+
1/2/24 20:00	8.7	0.0	Faible	Nuageux	Sec	0.14	Faible	270	peu contraire	U3	T4	+
1/2/24 21:00	8.4	0.0	Faible	Nuageux	Sec	0.2	Faible	89	peu portant	U3	T4	+
1/2/24 22:00	8.4	0.0	Faible	Nuageux	Sec	0.37	Faible	337	contraire	U3	T4	+
1/2/24 23:00	8.2	0.0	Faible	Nuageux	Sec	0.26	Faible	295	peu contraire	U3	T4	+
2/2/24 0:00	7.8	0.0	Faible	Nuageux	Sec	0.33	Faible	262	peu contraire	U3	T4	+
2/2/24 1:00	7.8	0.0	Faible	Nuageux	Sec	0.38	Faible	344	contraire	U3	T4	+
2/2/24 2:00	7.8	0.0	Faible	Nuageux	Sec	0.34	Faible	189	peu portant	U3	T4	+
2/2/24 3:00	7.8	0.0	Faible	Nuageux	Sec	0.4	Faible	255	travers	U3	T4	+
2/2/24 4:00	6.6	0.0	Faible	Nuageux	Sec	0.44	Faible	294	peu contraire	U3	T4	+
2/2/24 5:00	5.1	0.0	Faible	Nuageux	Sec	0.4	Faible	352	contraire	U3	T4	+
2/2/24 6:00	5.7	0.0	Faible	Nuageux	Sec	0.53	Faible	18	peu contraire	U3	T4	+



Date et heure	Température en °C	Pluie en mm	Rayonnement	Couvertures nuageuses	Sol	Vitesse du vent m/s	Force du vent	Direction du vent	Catégorie de vent	Estimation U1	Estimation T1	Conditions pour la propagation sonore
2/2/24 7:00	5.3	0.0	Faible	Nuageux	Sec	0.31	Faible	62	travers	U3	T3	Z
2/2/24 8:00	4	0.0	Faible	Nuageux	Sec	0.35	Faible	348	contraire	U3	T2	-
2/2/24 9:00	3.8	0.0	Faible	Nuageux	Sec	0.3	Faible	166	portant	U3	T2	-
2/2/24 10:00	4.2	0.0	Moyen	Nuageux	Sec	0.33	Faible	142	portant	U3	T2	-
2/2/24 11:00	6.4	0.0	Moyen	Nuageux	Sec	0.48	Faible	122	portant	U3	T2	-
2/2/24 12:00	8.6	0.0	Moyen	Nuageux	Sec	0.62	Faible	180	peu portant	U3	T2	-
2/2/24 13:00	10.1	0.0	Moyen	Nuageux	Sec	0.78	Faible	172	portant	U3	T2	-
2/2/24 14:00	10.3	0.0	Moyen	Nuageux	Sec	0.86	Faible	188	peu portant	U3	T2	-
2/2/24 15:00	10.7	0.0	Moyen	Nuageux	Sec	0.52	Faible	343	contraire	U3	T2	-
2/2/24 16:00	10.8	0.0	Moyen	Nuageux	Sec	0.55	Faible	157	portant	U3	T2	-
2/2/24 17:00	10.7	0.0	Moyen	Nuageux	Sec	0.49	Faible	192	peu portant	U3	T3	Z
2/2/24 18:00	9.1	0.0	Faible	Nuageux	Sec	0.26	Faible	317	contraire	U3	T4	+
2/2/24 19:00	6.8	0.0	Faible	Nuageux	Sec	0.34	Faible	351	contraire	U3	T4	+
2/2/24 20:00	5.8	0.0	Faible	Nuageux	Sec	0.27	Faible	293	peu contraire	U3	T4	+
2/2/24 21:00	4.6	0.0	Faible	Nuageux	Sec	0.35	Faible	348	contraire	U3	T4	+
2/2/24 22:00	3.1	0.0	Faible	Nuageux	Sec	0.32	Faible	342	contraire	U3	T4	+
2/2/24 23:00	2.1	0.0	Faible	Nuageux	Sec	0.28	Faible	358	contraire	U3	T4	+
3/2/24 0:00	1.2	0.0	Faible	Nuageux	Sec	0.3	Faible	12	peu contraire	U3	T4	+
3/2/24 1:00	0.7	0.0	Faible	Nuageux	Sec	0.28	Faible	28	peu contraire	U3	T4	+
3/2/24 2:00	0.3	0.0	Faible	Nuageux	Sec	0.31	Faible	357	contraire	U3	T4	+
3/2/24 3:00	0.1	0.0	Faible	Nuageux	Sec	0.31	Faible	351	contraire	U3	T4	+
3/2/24 4:00	-0.3	0.0	Faible	Nuageux	Sec	0.23	Faible	72	travers	U3	T4	+
3/2/24 5:00	-0.4	0.0	Faible	Nuageux	Sec	0.3	Faible	92	peu portant	U3	T4	+
3/2/24 6:00	0	0.0	Faible	Nuageux	Sec	0.27	Faible	68	travers	U3	T4	+
3/2/24 7:00	0.7	0.0	Faible	Nuageux	Sec	0.36	Faible	66	travers	U3	T3	Z
3/2/24 8:00	1.4	0.0	Faible	Nuageux	Sec	0.3	Faible	110	peu portant	U3	T2	-
3/2/24 9:00	2.2	0.0	Faible	Nuageux	Sec	0.38	Faible	183	peu portant	U3	T2	-
3/2/24 10:00	2.7	0.0	Faible	Nuageux	Sec	0.61	Faible	171	portant	U3	T2	-
3/2/24 11:00	3.1	0.0	Moyen	Nuageux	Sec	0.72	Faible	168	portant	U3	T2	-
3/2/24 12:00	3.5	0.0	Moyen	Nuageux	Sec	0.9	Faible	181	peu portant	U3	T2	-
3/2/24 13:00	3.9	0.0	Moyen	Nuageux	Sec	0.68	Faible	182	peu portant	U3	T2	-
3/2/24 14:00	4.4	0.0	Moyen	Nuageux	Sec	0.72	Faible	177	portant	U3	T2	-
3/2/24 15:00	4.6	0.0	Moyen	Nuageux	Sec	0.63	Faible	160	portant	U3	T2	-
3/2/24 16:00	4.6	0.0	Faible	Nuageux	Sec	0.44	Faible	238	travers	U3	T2	-
3/2/24 17:00	4.5	0.0	Faible	Nuageux	Sec	0.39	Faible	89	peu portant	U3	T3	Z
3/2/24 18:00	4.4	0.0	Faible	Nuageux	Sec	0.64	Faible	158	portant	U3	T4	+
3/2/24 19:00	4.3	0.0	Faible	Nuageux	Sec	0.5	Faible	134	portant	U3	T4	+
3/2/24 20:00	4.3	0.0	Faible	Nuageux	Sec	0.39	Faible	189	peu portant	U3	T4	+
3/2/24 21:00	4.3	0.0	Faible	Nuageux	Sec	0.49	Faible	194	peu portant	U3	T4	+
3/2/24 22:00	4.3	0.0	Faible	Nuageux	Sec	0.8	Faible	187	peu portant	U3	T4	+
3/2/24 23:00	4.3	0.0	Faible	Nuageux	Sec	0.43	Faible	188	peu portant	U3	T4	+
4/2/24 0:00	4.3	0.0	Faible	Nuageux	Sec	0.49	Faible	193	peu portant	U3	T4	+
4/2/24 1:00	4.3	0.0	Faible	Nuageux	Sec	0.39	Faible	180	peu portant	U3	T4	+
4/2/24 2:00	4.3	0.0	Faible	Nuageux	Sec	0.65	Faible	180	peu portant	U3	T4	+
4/2/24 3:00	4.3	0.0	Faible	Nuageux	Sec	0.74	Faible	179	portant	U3	T4	+
4/2/24 4:00	4.3	0.0	Faible	Nuageux	Sec	0.43	Faible	168	portant	U3	T4	+
4/2/24 5:00	4.3	0.0	Faible	Nuageux	Sec	0.52	Faible	175	portant	U3	T4	+
4/2/24 6:00	4.2	0.0	Faible	Nuageux	Sec	0.99	Faible	177	portant	U3	T4	+
4/2/24 7:00	4.2	0.0	Faible	Nuageux	Sec	0.91	Faible	180	peu portant	U3	T3	Z
4/2/24 8:00	4.3	0.0	Faible	Nuageux	Sec	0.53	Faible	182	peu portant	U3	T2	-
4/2/24 9:00	4.4	0.0	Faible	Nuageux	Sec	0.57	Faible	176	portant	U3	T2	-
4/2/24 10:00	4.6	0.0	Faible	Nuageux	Sec	0.77	Faible	185	peu portant	U3	T2	-
4/2/24 11:00	4.8	0.0	Moyen	Nuageux	Sec	0.94	Faible	195	peu portant	U3	T2	-
4/2/24 12:00	5.2	0.0	Moyen	Nuageux	Sec	1.18	Moyen	190	peu portant	U4	T2	Z
4/2/24 13:00	5.6	0.0	Moyen	Nuageux	Sec	1.01	Moyen	187	peu portant	U4	T2	Z
4/2/24 14:00	6	0.0	Moyen	Nuageux	Sec	0.88	Faible	188	peu portant	U3	T2	-
4/2/24 15:00	6.3	0.0	Moyen	Nuageux	Sec	1	Faible	198	peu portant	U3	T2	-
4/2/24 16:00	6.4	0.0	Faible	Nuageux	Sec	0.78	Faible	191	peu portant	U3	T2	-
4/2/24 17:00	6.6	0.0	Faible	Nuageux	Sec	0.67	Faible	180	peu portant	U3	T3	Z
4/2/24 18:00	6.5	0.0	Faible	Nuageux	Sec	0.79	Faible	190	peu portant	U3	T4	+
4/2/24 19:00	6.3	0.0	Faible	Nuageux	Sec	0.73	Faible	192	peu portant	U3	T4	+
4/2/24 20:00	6.1	0.0	Faible	Nuageux	Sec	0.7	Faible	193	peu portant	U3	T4	+
4/2/24 21:00	5.9	0.0	Faible	Nuageux	Sec	0.66	Faible	185	peu portant	U3	T4	+
4/2/24 22:00	5.9	0.0	Faible	Nuageux	Sec	0.85	Faible	188	peu portant	U3	T4	+
4/2/24 23:00	5.8	0.0	Faible	Nuageux	Sec	1.01	Moyen	189	peu portant	U4	T4	++
5/2/24 0:00	5.6	0.0	Faible	Nuageux	Sec	1.01	Moyen	190	peu portant	U4	T4	++
5/2/24 1:00	5.4	0.0	Faible	Nuageux	Sec	0.87	Faible	189	peu portant	U3	T4	+
5/2/24 2:00	5.3	0.0	Faible	Nuageux	Sec	1.03	Moyen	189	peu portant	U4	T4	++
5/2/24 3:00	5.2	0.0	Faible	Nuageux	Sec	1.25	Moyen	182	peu portant	U4	T4	++
5/2/24 4:00	5	0.0	Faible	Nuageux	Sec	1.14	Moyen	182	peu portant	U4	T4	++
5/2/24 5:00	4.8	0.0	Faible	Nuageux	Sec	1.1	Moyen	181	peu portant	U4	T4	++
5/2/24 6:00	4.6	0.0	Faible	Nuageux	Sec	1.08	Moyen	179	portant	U4	T4	++
5/2/24 7:00	4.5	0.0	Faible	Nuageux	Sec	0.72	Faible	153	portant	U3	T3	Z
5/2/24 8:00	4.3	0.0	Faible	Nuageux	Sec	0.63	Faible	137	portant	U3	T2	-
5/2/24 9:00	4.3	0.0	Faible	Nuageux	Sec	0.67	Faible	155	portant	U3	T2	-
5/2/24 10:00	4.4	0.0	Faible	Nuageux	Sec	0.6	Faible	175	portant	U3	T2	-
5/2/24 11:00	4.8	0.0	Moyen	Nuageux	Sec	0.92	Faible	180	peu portant	U3	T2	-
5/2/24 12:00	5.3	0.0	Moyen	Nuageux	Sec	0.67	Faible	165	portant	U3	T2	-
5/2/24 13:00	5.7	0.0	Moyen	Nuageux	Sec	0.67	Faible	168	portant	U3	T2	-
5/2/24 14:00	5.8	0.0	Moyen	Nuageux	Sec	0.82	Faible	189	peu portant	U3	T2	-
5/2/24 15:00	5.8	0.0	Moyen	Nuageux	Sec	0.96	Faible	189	peu portant	U3	T2	-
5/2/24 16:00	5.6	0.0	Moyen	Nuageux	Sec	1.13	Moyen	189	peu portant	U4	T2	Z
5/2/24 17:00	5.4	0.0	Faible	Nuageux	Sec	1.11	Moyen	187	peu portant	U4	T3	+
5/2/24 18:00	4.9	0.0	Faible	Nuageux	Sec	1.28	Moyen	193	peu portant	U4	T4	++
5/2/24 19:00	4.3	0.0	Faible	Nuageux	Sec	1.27	Moyen	189	peu portant	U4	T4	++
5/2/24 20:00	4.2	0.0	Faible	Nuageux	Sec	1.02	Moyen	188	peu portant	U4	T4	++
5/2/24 21:00	4.4	0.0	Faible	Nuageux	Sec	0.85	Faible	190	peu portant	U3	T4	+
5/2/24 22:00	4.2	0.0	Faible	Nuageux	Sec	0.5	Faible	123	portant	U3	T4	+
5/2/24 23:00	3.2	0.0	Faible	Nuageux	Sec	0.19	Faible	190	peu portant	U3	T4	+
6/2/24 0:00	1.8	0.0	Faible	Nuageux	Sec	0.26	Faible	5	peu contraire	U3	T4	+
6/2/24 1:00	1.1	0.0	Faible	Nuageux	Sec	0.34	Faible	117	peu portant	U3	T4	+
6/2/24 2:00	2.2	0.0	Faible	Nuageux	Sec	0.99	Faible	191	peu portant	U3	T4	+
6/2/24 3:00	2.7	0.0	Faible	Nuageux	Sec	1	Faible	189	peu portant	U3	T4	+
6/2/24 4:00	3.3	0.0	Faible	Nuageux	Sec	1.14	Moyen	191	peu portant	U4	T4	++
6/2/24 5:00	3.8	0.0	Faible	Nuageux	Sec	0.97	Faible	192	peu portant	U3	T4	+
6/2/24 6:00	3.8	0.0	Faible	Nuageux	Sec	0.96	Faible	173	portant	U3	T4	+



Date et heure	Température en °C	Pluie en mm	Rayonnement	Couvertures nuageuses	Sol	Vitesse du vent m/s	Force du vent	Direction du vent	Catégorie de vent	Estimation U1	Estimation T1	Conditions pour la propagation sonore
6/2/24 7:00	3.8	0.0	Faible	Nuageux	Sec	0.86	Faible	182	peu portant	U3	T3	Z
6/2/24 8:00	3.6	0.0	Faible	Nuageux	Sec	0.82	Faible	176	portant	U3	T2	-
6/2/24 9:00	3.8	0.0	Faible	Nuageux	Sec	0.71	Faible	175	portant	U3	T2	-
6/2/24 10:00	4.5	0.0	Moyen	Nuageux	Sec	0.74	Faible	183	peu portant	U3	T2	-
6/2/24 11:00	5.3	0.0	Moyen	Nuageux	Sec	1.13	Moyen	193	peu portant	U4	T2	Z
6/2/24 12:00	6.2	0.0	Moyen	Nuageux	Sec	1.48	Moyen	195	peu portant	U4	T2	Z
6/2/24 13:00	6.8	0.0	Moyen	Nuageux	Sec	1.59	Moyen	194	peu portant	U4	T2	Z
6/2/24 14:00	7.4	0.0	Moyen	Nuageux	Sec	1.44	Moyen	193	peu portant	U4	T2	Z
6/2/24 15:00	7.2	0.0	Moyen	Nuageux	Sec	1.45	Moyen	190	peu portant	U4	T2	Z
6/2/24 16:00	7.2	0.0	Moyen	Nuageux	Sec	1.25	Moyen	196	peu portant	U4	T2	Z
6/2/24 17:00	7.1	0.0	Faible	Nuageux	Sec	1.16	Moyen	193	peu portant	U4	T3	+
6/2/24 18:00	6.8	0.0	Faible	Nuageux	Sec	1.01	Moyen	190	peu portant	U4	T4	++
6/2/24 19:00	6.8	0.0	Faible	Nuageux	Sec	1.51	Moyen	186	peu portant	U4	T4	++
6/2/24 20:00	7	0.0	Faible	Nuageux	Sec	1.61	Moyen	184	peu portant	U4	T4	++
6/2/24 21:00	7.2	0.0	Faible	Nuageux	Sec	0.96	Faible	198	peu portant	U3	T4	+
6/2/24 22:00	7.2	0.0	Faible	Nuageux	Sec	1.16	Moyen	199	peu portant	U4	T4	++
6/2/24 23:00	7.2	0.0	Faible	Nuageux	Sec	1.18	Moyen	195	peu portant	U4	T4	++
7/2/24 0:00	6.7	0.0	Faible	Nuageux	Sec	0.86	Faible	202	peu portant	U3	T4	+
7/2/24 1:00	6.3	0.0	Faible	Nuageux	Sec	0.76	Faible	203	peu portant	U3	T4	+
7/2/24 2:00	6.7	0.0	Faible	Nuageux	Sec	1.08	Moyen	200	peu portant	U4	T4	++
7/2/24 3:00	7.1	0.0	Faible	Nuageux	Sec	1.49	Moyen	204	peu portant	U4	T4	++
7/2/24 4:00	7.1	0.0	Faible	Nuageux	Sec	1.28	Moyen	202	peu portant	U4	T4	++
7/2/24 5:00	7.4	0.0	Faible	Nuageux	Sec	1.05	Moyen	205	peu portant	U4	T4	++
7/2/24 6:00	7.4	0.0	Faible	Nuageux	Sec	1.39	Moyen	205	peu portant	U4	T4	++
7/2/24 7:00	7.4	0.0	Faible	Nuageux	Sec	1.55	Moyen	200	peu portant	U4	T3	+
7/2/24 8:00	7.4	0.0	Faible	Nuageux	Sec	1.39	Moyen	201	peu portant	U4	T2	Z
7/2/24 9:00	7.5	0.0	Faible	Nuageux	Sec	1.36	Moyen	198	peu portant	U4	T2	Z
7/2/24 10:00	7.8	0.0	Faible	Nuageux	Sec	1.6	Moyen	202	peu portant	U4	T2	Z
7/2/24 11:00	8.1	0.0	Moyen	Nuageux	Sec	1.55	Moyen	204	peu portant	U4	T2	Z
7/2/24 12:00	8.7	0.0	Moyen	Nuageux	Sec	1.87	Moyen	200	peu portant	U4	T2	Z
7/2/24 13:00	9.5	0.0	Moyen	Nuageux	Sec	2.04	Moyen	200	peu portant	U4	T2	Z
7/2/24 14:00	10.8	0.0	Moyen	Nuageux	Sec	2.34	Moyen	196	peu portant	U4	T2	Z
7/2/24 15:00	11	0.0	Moyen	Nuageux	Sec	2.13	Moyen	197	peu portant	U4	T2	Z
7/2/24 16:00	11	0.0	Moyen	Nuageux	Sec	1.8	Moyen	197	peu portant	U4	T2	Z
7/2/24 17:00	9.9	0.0	Faible	Nuageux	Sec	1.87	Moyen	198	peu portant	U4	T3	+
7/2/24 18:00	9	0.0	Faible	Nuageux	Sec	1.77	Moyen	200	peu portant	U4	T4	++
7/2/24 19:00	8.4	0.0	Faible	Nuageux	Sec	2.08	Moyen	195	peu portant	U4	T4	++
7/2/24 20:00	8.2	0.0	Faible	Nuageux	Sec	2.27	Moyen	199	peu portant	U4	T4	++
7/2/24 21:00	8.4	0.0	Faible	Nuageux	Sec	2.44	Moyen	198	peu portant	U4	T4	++
7/2/24 22:00	8.5	0.0	Faible	Nuageux	Sec	2.38	Moyen	198	peu portant	U4	T4	++
7/2/24 23:00	8.5	0.0	Faible	Nuageux	Sec	2.26	Moyen	196	peu portant	U4	T4	++
8/2/24 0:00	8.4	0.0	Faible	Nuageux	Sec	2.1	Moyen	200	peu portant	U4	T4	++
8/2/24 1:00	8.3	0.0	Faible	Nuageux	Sec	1.97	Moyen	196	peu portant	U4	T4	++
8/2/24 2:00	8.5	0.0	Faible	Nuageux	Sec	1.61	Moyen	197	peu portant	U4	T4	++
8/2/24 3:00	8.7	0.0	Faible	Nuageux	Sec	1.85	Moyen	197	peu portant	U4	T4	++
8/2/24 4:00	8.9	0.0	Faible	Nuageux	Sec	2.43	Moyen	193	peu portant	U4	T4	++
8/2/24 5:00	9	0.0	Faible	Nuageux	Sec	2.47	Moyen	196	peu portant	U4	T4	++
8/2/24 6:00	8.9	0.0	Faible	Nuageux	Sec	2.07	Moyen	201	peu portant	U4	T4	++
8/2/24 7:00	8.9	0.0	Faible	Nuageux	Sec	2.02	Moyen	202	peu portant	U4	T3	+
8/2/24 8:00	9	0.0	Faible	Nuageux	Sec	1.83	Moyen	203	peu portant	U4	T2	Z
8/2/24 9:00	8.8	0.0	Faible	Nuageux	Sec	2.04	Moyen	199	peu portant	U4	T2	Z
8/2/24 10:00	9.1	0.0	Moyen	Nuageux	Sec	1.96	Moyen	196	peu portant	U4	T2	Z
8/2/24 11:00	10	0.0	Moyen	Nuageux	Sec	1.79	Moyen	204	peu portant	U4	T2	Z
8/2/24 12:00	11	0.0	Moyen	Nuageux	Sec	1.81	Moyen	192	peu portant	U4	T2	Z
8/2/24 13:00	12.1	0.0	Moyen	Nuageux	Sec	1.85	Moyen	194	peu portant	U4	T2	Z
8/2/24 14:00	12.8	0.0	Moyen	Nuageux	Sec	2.19	Moyen	192	peu portant	U4	T2	Z
8/2/24 15:00	14	0.0	Moyen	Nuageux	Sec	2.18	Moyen	189	peu portant	U4	T2	Z
8/2/24 16:00	14.5	0.0	Moyen	Nuageux	Sec	1.57	Moyen	199	peu portant	U4	T2	Z
8/2/24 17:00	13.7	0.0	Moyen	Nuageux	Sec	1.08	Moyen	197	peu portant	U4	T3	+
8/2/24 18:00	12.9	0.0	Faible	Nuageux	Sec	0.89	Faible	193	peu portant	U3	T4	+
8/2/24 19:00	12.8	0.0	Faible	Nuageux	Sec	1.24	Moyen	193	peu portant	U4	T4	++
8/2/24 20:00	13.3	0.0	Faible	Nuageux	Sec	2.11	Moyen	199	peu portant	U4	T4	++
8/2/24 21:00	13.1	0.0	Faible	Nuageux	Sec	2.43	Moyen	198	peu portant	U4	T4	++
8/2/24 22:00	12.9	0.0	Faible	Nuageux	Sec	1.93	Moyen	191	peu portant	U4	T4	++
8/2/24 23:00	12.7	0.0	Faible	Nuageux	Sec	1.37	Moyen	194	peu portant	U4	T4	++
9/2/24 0:00	12.4	0.0	Faible	Nuageux	Sec	1.29	Moyen	195	peu portant	U4	T4	++
9/2/24 1:00	12.6	0.0	Faible	Nuageux	Sec	1.9	Moyen	199	peu portant	U4	T4	++
9/2/24 2:00	12.6	0.0	Faible	Nuageux	Sec	2.76	Moyen	197	peu portant	U4	T4	++
9/2/24 3:00	12.3	0.0	Faible	Nuageux	Sec	3.56	Fort	194	peu portant	U4	T4	++
9/2/24 4:00	11.2	0.0	Faible	Nuageux	Sec	3.1	Fort	198	peu portant	U4	T4	++
9/2/24 5:00	11.3	0.0	Faible	Nuageux	Sec	2.84	Moyen	196	peu portant	U4	T4	++
9/2/24 6:00	11.7	0.0	Faible	Nuageux	Sec	3.39	Fort	189	peu portant	U4	T4	++
9/2/24 7:00	12	0.0	Faible	Nuageux	Sec	3.3	Fort	187	peu portant	U4	T3	+
9/2/24 8:00	11.6	0.0	Faible	Nuageux	Sec	2.5	Moyen	190	peu portant	U4	T2	Z
9/2/24 9:00	11.5	0.0	Faible	Nuageux	Sec	2.59	Moyen	192	peu portant	U4	T2	Z
9/2/24 10:00	11.4	0.0	Faible	Nuageux	Sec	2.16	Moyen	188	peu portant	U4	T2	Z
9/2/24 11:00	11	0.0	Faible	Nuageux	Sec	1.29	Moyen	188	peu portant	U4	T2	Z
9/2/24 12:00	11.6	0.0	Moyen	Nuageux	Sec	1.16	Moyen	205	peu portant	U4	T2	Z
9/2/24 13:00	12.3	0.0	Moyen	Nuageux	Sec	1.33	Moyen	198	peu portant	U4	T2	Z
9/2/24 14:00	12.5	0.0	Moyen	Nuageux	Sec	1.71	Moyen	200	peu portant	U4	T2	Z
9/2/24 15:00	11.9	0.0	Moyen	Nuageux	Sec	2.58	Moyen	194	peu portant	U4	T2	Z
9/2/24 16:00	10.6	0.0	Faible	Nuageux	Sec	2.39	Moyen	192	peu portant	U4	T2	Z
9/2/24 17:00	10.2	0.0	Faible	Nuageux	Sec	2.29	Moyen	188	peu portant	U4	T3	+
9/2/24 18:00	10.1	0.0	Faible	Nuageux	Sec	1.84	Moyen	185	peu portant	U4	T4	++
9/2/24 19:00	10	0.0	Faible	Nuageux	Sec	1.67	Moyen	184	peu portant	U4	T4	++
9/2/24 20:00	9.8	0.0	Faible	Nuageux	Sec	0.92	Faible	185	peu portant	U3	T4	+
9/2/24 21:00	9.6	0.0	Faible	Nuageux	Sec	0.38	Faible	201	peu portant	U3	T4	+
9/2/24 22:00	9.5	0.0	Faible	Nuageux	Sec	0.31	Faible	194	peu portant	U3	T4	+
9/2/24 23:00	9.8	0.0	Faible	Nuageux	Sec	0.84	Faible	192	peu portant	U3	T4	+
10/2/24 0:00	10.4	0.0	Faible	Nuageux	Sec	1.49	Moyen	191	peu portant	U4	T4	++
10/2/24 1:00	10.1	0.0	Faible	Nuageux	Sec	0.89	Faible	189	peu portant	U3	T4	+
10/2/24 2:00	10	0.0	Faible	Nuageux	Sec	0.52	Faible	181	peu portant	U3	T4	+
10/2/24 3:00	8.9	0.0	Faible	Nuageux	Sec	0.38	Faible	335	contraire	U3	T4	+
10/2/24 4:00	8	0.0	Faible	Nuageux	Sec	0.35	Faible	55	travers	U3	T4	+
10/2/24 5:00	8.1	0.0	Faible	Nuageux	Sec	0.41	Faible	52	travers	U3	T4	+
10/2/24 6:00	8.1	0.0	Faible	Nuageux	Sec	0.43	Faible	67	travers	U3	T4	+



Date et heure	Température en °C	Pluie en mm	Rayonnement	Couvertures nuageuses	Sol	Vitesse du vent m/s	Force du vent	Direction du vent	Catégorie de vent	Estimation U1	Estimation T1	Conditions pour la propagation sonore
10/2/24 7:00	8.4	0.0	Faible	Nuageux	Sec	0.43	Faible	77	travers	U3	T3	Z
10/2/24 8:00	8.6	0.0	Faible	Nuageux	Sec	0.65	Faible	78	travers	U3	T2	-
10/2/24 9:00	8.4	0.0	Faible	Nuageux	Sec	0.63	Faible	63	travers	U3	T2	-
10/2/24 10:00	8.6	0.0	Faible	Nuageux	Sec	0.65	Faible	64	travers	U3	T2	-
10/2/24 11:00	9.1	0.0	Moyen	Nuageux	Sec	0.68	Faible	82	peu portant	U3	T2	-
10/2/24 12:00	9.9	0.0	Moyen	Nuageux	Sec	1.02	Moyen	101	peu portant	U4	T2	Z
10/2/24 13:00	10.6	0.0	Moyen	Nuageux	Sec	0.71	Faible	69	travers	U3	T2	-
10/2/24 14:00	10.7	0.0	Moyen	Nuageux	Sec	0.55	Faible	77	travers	U3	T2	-
10/2/24 15:00	10.6	0.0	Moyen	Nuageux	Sec	0.33	Faible	154	portant	U3	T2	-
10/2/24 16:00	10.5	0.0	Faible	Nuageux	Sec	0.33	Faible	125	portant	U3	T2	-
10/2/24 17:00	10.3	0.0	Faible	Nuageux	Sec	0.37	Faible	112	peu portant	U3	T2	-
10/2/24 18:00	10.2	0.0	Faible	Nuageux	Sec	0.93	Faible	157	portant	U3	T3	Z
10/2/24 19:00	9.2	0.0	Faible	Nuageux	Sec	1.47	Moyen	196	peu portant	U4	T4	++
10/2/24 20:00	7.8	0.0	Faible	Nuageux	Sec	1.67	Moyen	173	portant	U4	T4	++
10/2/24 21:00	6.6	0.0	Faible	Nuageux	Sec	1.38	Moyen	192	peu portant	U4	T4	++
10/2/24 22:00	5.7	0.0	Faible	Nuageux	Sec	1.64	Moyen	197	peu portant	U4	T4	++
10/2/24 23:00	5.4	0.0	Faible	Nuageux	Sec	1.56	Moyen	194	peu portant	U4	T4	++
11/2/24 0:00	5.3	0.0	Faible	Nuageux	Sec	1.92	Moyen	186	peu portant	U4	T4	++
11/2/24 1:00	5.4	0.0	Faible	Nuageux	Sec	1.59	Moyen	185	peu portant	U4	T4	++
11/2/24 2:00	5.6	0.0	Faible	Nuageux	Sec	1.44	Moyen	192	peu portant	U4	T4	++
11/2/24 3:00	5.8	0.0	Faible	Nuageux	Sec	2.02	Moyen	196	peu portant	U4	T4	++
11/2/24 4:00	6	0.0	Faible	Nuageux	Sec	1.77	Moyen	196	peu portant	U4	T4	++
11/2/24 5:00	6	0.0	Faible	Nuageux	Sec	1.87	Moyen	195	peu portant	U4	T4	++
11/2/24 6:00	5.9	0.0	Faible	Nuageux	Sec	1.77	Moyen	199	peu portant	U4	T4	++
11/2/24 7:00	6	0.0	Faible	Nuageux	Sec	1.64	Moyen	204	peu portant	U4	T3	+
11/2/24 8:00	6	0.0	Faible	Nuageux	Sec	1.8	Moyen	203	peu portant	U4	T2	Z
11/2/24 9:00	6.3	0.0	Faible	Nuageux	Sec	1.39	Moyen	202	peu portant	U4	T2	Z
11/2/24 10:00	6.7	0.0	Moyen	Nuageux	Sec	1.52	Moyen	203	peu portant	U4	T2	Z
11/2/24 11:00	7.5	0.0	Moyen	Nuageux	Sec	1.99	Moyen	197	peu portant	U4	T2	Z
11/2/24 12:00	8.4	0.0	Moyen	Nuageux	Sec	2.53	Moyen	198	peu portant	U4	T2	Z
11/2/24 13:00	9.7	0.0	Moyen	Nuageux	Sec	2.29	Moyen	193	peu portant	U4	T2	Z
11/2/24 14:00	10	0.0	Moyen	Nuageux	Sec	2.09	Moyen	196	peu portant	U4	T2	Z
11/2/24 15:00	10.3	0.0	Moyen	Nuageux	Sec	1.92	Moyen	201	peu portant	U4	T2	Z
11/2/24 16:00	9.8	0.0	Moyen	Nuageux	Sec	2.08	Moyen	194	peu portant	U4	T2	Z
11/2/24 17:00	9.3	0.0	Moyen	Nuageux	Sec	1.61	Moyen	199	peu portant	U4	T2	Z
11/2/24 18:00	9.1	0.0	Faible	Nuageux	Sec	1.58	Moyen	198	peu portant	U4	T3	+
11/2/24 19:00	9	0.0	Faible	Nuageux	Sec	1.33	Moyen	196	peu portant	U4	T4	++
11/2/24 20:00	8.8	0.0	Faible	Nuageux	Sec	1.36	Moyen	200	peu portant	U4	T4	++
11/2/24 21:00	8.5	0.0	Faible	Nuageux	Sec	1.48	Moyen	199	peu portant	U4	T4	++
11/2/24 22:00	8.7	0.0	Faible	Nuageux	Sec	1.72	Moyen	198	peu portant	U4	T4	++
11/2/24 23:00	8.5	0.0	Faible	Nuageux	Sec	1.48	Moyen	197	peu portant	U4	T4	++
12/2/24 0:00	8.2	0.0	Faible	Nuageux	Sec	1.5	Moyen	201	peu portant	U4	T4	++
12/2/24 1:00	7.8	0.0	Faible	Nuageux	Sec	1.56	Moyen	198	peu portant	U4	T4	++
12/2/24 2:00	7.6	0.0	Faible	Nuageux	Sec	1.24	Moyen	200	peu portant	U4	T4	++
12/2/24 3:00	7.3	0.0	Faible	Nuageux	Sec	1.06	Moyen	197	peu portant	U4	T4	++
12/2/24 4:00	7	0.0	Faible	Nuageux	Sec	1.03	Moyen	198	peu portant	U4	T4	++
12/2/24 5:00	6.9	0.0	Faible	Nuageux	Sec	0.87	Faible	193	peu portant	U3	T4	+
12/2/24 6:00	6.7	0.0	Faible	Nuageux	Sec	0.73	Faible	187	peu portant	U3	T4	+
12/2/24 7:00	6.2	0.0	Faible	Nuageux	Sec	0.38	Faible	196	peu portant	U3	T3	Z
12/2/24 8:00	5.4	0.0	Faible	Nuageux	Sec	0.32	Faible	41	travers	U3	T2	-
12/2/24 9:00	5.7	0.0	Faible	Nuageux	Sec	0.33	Faible	15	peu contraire	U3	T2	-
12/2/24 10:00	6.4	0.0	Moyen	Nuageux	Sec	0.28	Faible	103	peu portant	U3	T2	-
12/2/24 11:00	7.3	0.0	Moyen	Nuageux	Sec	0.39	Faible	178	portant	U3	T2	-
12/2/24 12:00	8.5	0.0	Moyen	Nuageux	Sec	0.78	Faible	167	portant	U3	T2	-
12/2/24 13:00	9.9	0.0	Moyen	Nuageux	Sec	0.64	Faible	177	portant	U3	T2	-
12/2/24 14:00	10.2	0.0	Moyen	Nuageux	Sec	0.64	Faible	163	portant	U3	T2	-
12/2/24 15:00	10.9	0.0	Moyen	Nuageux	Sec	0.8	Faible	12	peu contraire	U3	T2	-
12/2/24 16:00	11.4	0.0	Moyen	Nuageux	Sec	0.97	Faible	167	portant	U3	T2	-
12/2/24 17:00	10.7	0.0	Moyen	Nuageux	Sec	0.75	Faible	61	travers	U3	T2	-
12/2/24 18:00	9.9	0.0	Faible	Nuageux	Sec	0.35	Faible	45	travers	U3	T3	Z
12/2/24 19:00	9.2	0.0	Faible	Nuageux	Sec	0.32	Faible	41	travers	U3	T4	+
12/2/24 20:00	8.4	0.0	Faible	Nuageux	Sec	0.42	Faible	15	peu contraire	U3	T4	+
12/2/24 21:00	7.5	0.0	Faible	Nuageux	Sec	0.26	Faible	56	travers	U3	T4	+
12/2/24 22:00	6.4	0.0	Faible	Nuageux	Sec	0.39	Faible	304	contraire	U3	T4	+
12/2/24 23:00	4.5	0.0	Faible	Nuageux	Sec	0.48	Faible	326	contraire	U3	T4	+
13/2/24 0:00	2.9	0.0	Faible	Nuageux	Sec	0.3	Faible	358	contraire	U3	T4	+
13/2/24 1:00	2	0.0	Faible	Nuageux	Sec	0.37	Faible	356	contraire	U3	T4	+
13/2/24 2:00	1.2	0.0	Faible	Nuageux	Sec	0.35	Faible	354	contraire	U3	T4	+
13/2/24 3:00	0.6	0.0	Faible	Nuageux	Sec	0.29	Faible	39	peu contraire	U3	T4	+
13/2/24 4:00	0.2	0.0	Faible	Nuageux	Sec	0.34	Faible	9	peu contraire	U3	T4	+
13/2/24 5:00	0	0.0	Faible	Nuageux	Sec	0.32	Faible	16	peu contraire	U3	T4	+
13/2/24 6:00	-0.5	0.0	Faible	Nuageux	Sec	0.3	Faible	30	peu contraire	U3	T4	+
13/2/24 7:00	-0.9	0.0	Faible	Nuageux	Sec	0.25	Faible	34	peu contraire	U3	T3	Z
13/2/24 8:00	-1.2	0.0	Faible	Nuageux	Sec	0.21	Faible	56	travers	U3	T2	-
13/2/24 9:00	-0.5	0.0	Faible	Nuageux	Sec	0.3	Faible	84	peu portant	U3	T2	-
13/2/24 10:00	0.7	0.0	Moyen	Nuageux	Sec	0.5	Faible	95	peu portant	U3	T2	-
13/2/24 11:00	4	0.0	Moyen	Nuageux	Sec	0.55	Faible	173	portant	U3	T2	-
13/2/24 12:00	7.2	0.0	Moyen	Nuageux	Sec	0.64	Faible	178	portant	U3	T2	-
13/2/24 13:00	10.2	0.0	Fort	Nuageux	Sec	0.73	Faible	172	portant	U3	T1	-
13/2/24 14:00	11.4	0.0	Moyen	Nuageux	Sec	0.83	Faible	199	peu portant	U3	T2	-
13/2/24 15:00	11.4	0.0	Moyen	Nuageux	Sec	0.81	Faible	176	portant	U3	T2	-
13/2/24 16:00	11.6	0.0	Moyen	Nuageux	Sec	1	Faible	190	peu portant	U3	T2	-
13/2/24 17:00	10.6	0.0	Moyen	Nuageux	Sec	0.75	Faible	188	peu portant	U3	T2	-
13/2/24 18:00	8.8	0.0	Faible	Nuageux	Sec	0.35	Faible	327	contraire	U3	T3	Z
13/2/24 19:00	7.1	0.0	Faible	Nuageux	Sec	0.43	Faible	341	contraire	U3	T4	+
13/2/24 20:00	5.3	0.0	Faible	Nuageux	Sec	0.33	Faible	338	contraire	U3	T4	+
13/2/24 21:00	4.6	0.0	Faible	Nuageux	Sec	0.38	Faible	350	contraire	U3	T4	+
13/2/24 22:00	4.5	0.0	Faible	Nuageux	Sec	0.3	Faible	11	peu contraire	U3	T4	+
13/2/24 23:00	4.5	0.0	Faible	Nuageux	Sec	0.29	Faible	36	peu contraire	U3	T4	+
14/2/24 0:00	4.9	0.0	Faible	Nuageux	Sec	0.25	Faible	66	travers	U3	T4	+
14/2/24 1:00	5.2	0.0	Faible	Nuageux	Sec	0.38	Faible	335	contraire	U3	T4	+
14/2/24 2:00	5.6	0.0	Faible	Nuageux	Sec	0.24	Faible	71	travers	U3	T4	+
14/2/24 3:00	7.1	0.0	Faible	Nuageux	Sec	0.44	Faible	190	peu portant	U3	T4	+
14/2/24 4:00	7.4	0.0	Faible	Nuageux	Sec	0.47	Faible	276	peu contraire	U3	T4	+
14/2/24 5:00	8.2	0.0	Faible	Nuageux	Sec	0.77	Faible	203	peu portant	U3	T4	+
14/2/24 6:00	8.3	0.0	Faible	Nuageux	Sec	0.75	Faible	197	peu portant	U3	T4	+



Date et heure	Température en °C	Pluie en mm	Rayonnement	Couvertures nuageuses	Sol	Vitesse du vent m/s	Force du vent	Direction du vent	Catégorie de vent	Estimation U1	Estimation T1	Conditions pour la propagation sonore
14/2/24 7:00	7.5	0.0	Faible	Nuageux	Sec	1.02	Moyen	191	peu portant	U4	T3	+
14/2/24 8:00	7	0.0	Faible	Nuageux	Sec	1.03	Moyen	180	peu portant	U4	T2	Z
14/2/24 9:00	7.1	0.0	Faible	Nuageux	Sec	0.58	Faible	186	peu portant	U3	T2	-
14/2/24 10:00	7.8	0.0	Moyen	Nuageux	Sec	0.66	Faible	196	peu portant	U3	T2	-
14/2/24 11:00	8.4	0.0	Moyen	Nuageux	Sec	0.41	Faible	199	peu portant	U3	T2	-
14/2/24 12:00	9.7	0.0	Moyen	Nuageux	Sec	0.72	Faible	177	portant	U3	T2	-
14/2/24 13:00	11	0.0	Moyen	Nuageux	Sec	0.77	Faible	190	peu portant	U3	T2	-
14/2/24 14:00	12.5	0.0	Moyen	Nuageux	Sec	0.95	Faible	192	peu portant	U3	T2	-
14/2/24 15:00	13.8	0.0	Moyen	Nuageux	Sec	1.28	Moyen	195	peu portant	U4	T2	Z
14/2/24 16:00	14.1	0.0	Moyen	Nuageux	Sec	1.01	Moyen	200	peu portant	U4	T2	Z
14/2/24 17:00	14.5	0.0	Moyen	Nuageux	Sec	1.04	Moyen	193	peu portant	U4	T2	Z
14/2/24 18:00	13.2	0.0	Faible	Nuageux	Sec	0.32	Faible	128	portant	U3	T3	Z
14/2/24 19:00	10.7	0.0	Faible	Nuageux	Sec	0.42	Faible	342	contraire	U3	T4	+
14/2/24 20:00	8.6	0.0	Faible	Nuageux	Sec	0.36	Faible	346	contraire	U3	T4	+
14/2/24 21:00	6.9	0.0	Faible	Nuageux	Sec	0.38	Faible	342	contraire	U3	T4	+
14/2/24 22:00	5.6	0.0	Faible	Nuageux	Sec	0.31	Faible	357	contraire	U3	T4	+
14/2/24 23:00	4.8	0.0	Faible	Nuageux	Sec	0.31	Faible	345	contraire	U3	T4	+
15/2/24 0:00	4.2	0.0	Faible	Nuageux	Sec	0.23	Faible	10	peu contraire	U3	T4	+
15/2/24 1:00	3.8	0.0	Faible	Nuageux	Sec	0.3	Faible	340	contraire	U3	T4	+
15/2/24 2:00	3.4	0.0	Faible	Nuageux	Sec	0.3	Faible	349	contraire	U3	T4	+
15/2/24 3:00	3.3	0.0	Faible	Nuageux	Sec	0.28	Faible	274	peu contraire	U3	T4	+
15/2/24 4:00	3.4	0.0	Faible	Nuageux	Sec	0.28	Faible	50	travers	U3	T4	+
15/2/24 5:00	3.4	0.0	Faible	Nuageux	Sec	0.3	Faible	338	contraire	U3	T4	+
15/2/24 6:00	3.6	0.0	Faible	Nuageux	Sec	0.29	Faible	345	contraire	U3	T4	+



Annexe E – Liste du matériel utilisé



Matériels utilisés					
Identification BV	Désignation	Marque	Type	N° Série	Prochaine vérification périodique
CB836-51	Sonomètre intégrateur	01dB ACOEM	Fusion	14615	18/07/2024
	Préamplificateur	01dB ACOEM	PRE22	2202161	
	Microphone	GRAS	40CD	494045	
CB836-C11	Calibreur	01dB ACOEM	CAL 31	87838	
CB836-52	Sonomètre intégrateur	01dB ACOEM	Fusion	14745	04/11/2024
	Préamplificateur	01dB ACOEM	PRE22	2202046	
	Microphone	GRAS	40CD	504726	
CB792-C6	Calibreur	01dB ACOEM	CAL 21	35242242	
CB836-SM5	Station météo	METER	ATMOS	ATM-410007712	-

